COMMITTENTE:



PROGETTAZIONE:



U.O. INFRASTRUTTURE SUD

PROGETTO DEFINITIVO

LINEA SALERNO – PONTECAGNANO AEROPORTO COMPLETAMENTO METROPOLITANA DI SALERNO TRATTA ARECHI – PONTECAGNANO AEROPORTO

NW NUOVA VIABILITA'

File: NN1X00D78CLNW0100001A.doc

NW01 - PONTE FOSSO FRESTOLA SPALLA A – RELAZIONE DI CALCOLO

SCALA:
-

n. Elab.:

COMMESSA LOTTO FASE ENTE TIPO DOC. OPERA/DISCIPLINA PROGR. REV.

N N 1 X 0 0 D 7 8 C L N W 0 1 0 0 0 1 A

Rev.	Descrizione	Redatto	Data	Verificato	Data	Approvato	Data	Autorizzato Dat
Α	Emissione Esecutiva	A. Polastri	Sett.2020	G. Romano	Sett.2020	M. D'Anno	Sett.2020	D. Tiberti
				<i>I</i>		*		S. S
								2 2 2 4 4 5 5 5 5 5 5 5 5 5 5 5 5 5 5 5
		_						E good a
								rdine d
								5



SPALLA A - RELAZIONE DI CALCOLO

 COMMESSA
 LOTTO
 CODIFICA
 DOCUMENTO
 REV.
 FOGLIO

 NN1X
 00
 D78CL
 NW 01 00 001
 A
 2 di 76

INDICE

1	(GENE	RALITÀ	4
	1.1	P	REMESSA	4
2]	NORM	IATIVA DI RIFERIMENTO	6
	2.1	. D	OCUMENTI DI RIFERIMENTO	6
3]	MATE	RIALI	7
	3.1	. C	ALCESTRUZZO PER FONDAZIONI E PALI	7
	3.2		ALCESTRUZZO PER ELEVAZIONE SOTTOSTRUTTURE	
	3.3		.CCIAIO B450C	
4		AZION	NE SISMICA (E)	10
		4.1.1	Valutazione dei parametri di pericolosità	10
5]	DESC	RIZIONE DELLA STRUTTURA	13
6		ANAL	ISI DEI CARICHI	14
	6.1	. C	'ARICHI DALL'IMPALCATO (SL)	14
	6.2	e P	ERMANTI (G1)	14
	6.3	s s	PINTA DEL SOVRACCARICO ACCIDENTALE IN CONDIZIONI STATICHE (Q1)	15
	(6.3.1	Sovraspinta sismica	16
	(6.3.2	Inerzia terrapieno	18
	(6.3.3	Inerzie strutturali	18
7]	INQU	ADRAMENTO GEOTECNICO	19
8	(CRITE	RI DI VERIFICA	20
	8.1		RITERI DI VERIFICA ALLO STATO LIMITE ULTIMO	20
		8.1.1	Verifica di resistenza a presso-flessione	20
	(8.1.2	Verifica di resistenza a taglio	20
	8.2	. c	RITERI DI VERIFICA ALLO STATO LIMITE D'ESERCIZIO	20
	(8.2.1	Verifica a fessurazione	20
	(8.2.2	Verifica per le tensioni in esercizio	21



SPALLA A - RELAZIONE DI CALCOLO

COMMESSA NN1X

LOTTO 00

CODIFICA D78CL DOCUMENTO NW 01 00 001 REV.

FOGLIO 3 di 76

9	CALC	OLO SPALLA A	22
	9.1.1	Spinte sulla spalla in condizioni statiche	30
	9.1.2	Azioni in condizioni statiche trasmesse dall'impalcato	30
	9.1.3	Spinte sulla spalla in condizioni sismiche	31
	9.1.4	Azioni in condizione sismica trasmesse dall'impalcato	31
Ģ	9.2	COMBINAZIONI	32
Ģ	9.3 S	OLLECITAZIONI	36
	9.3.1	Sollecitazioni base plinto	36
	9.3.2	Sollecitazioni in testa palo	38
	9.3.3	Sollecitazioni muro frontale	43
	9.3.4	Sollecitazioni paraghiaia	45
	9.3.5	Sollecitazioni muro di risvolto	48
ç	9.4 V	FRIFICHE	50
	9.4.1	Verifiche palo di fondazione	50
	9.4.2	Verifiche plinto di fondazione	57
	9.4.3	Verifiche muro frontale	63
	9.4.4	Verifiche paraghiaia	68
	9.4.5	Verifiche muro di risvolto	72
10	INCID	ENZE	76



1 GENERALITÀ

1.1 Premessa

Il presente documento si inserisce nell'ambito della redazione degli elaborati tecnici di progetto definitivo del corpo stradale ferroviario, delle opere d'arte e delle opere interferite relative alla tratta Arechi - Pontecagnano Aeroporto per il completamento della Metropolitana di Salerno Linea Salerno - Pontecagnano Aeroporto.

In particolare ha per oggetto le verifiche secondo il metodo semiprobabilistico agli Stati Limite (S.L.) delle sottostrutture dell'impalcato da ponte di prima categoria del ponte stradale sul fosso Frestola.

Le analisi strutturali e le verifiche di sicurezza sono state effettuate in accordo con le disposizioni vigenti in Italia e con riferimento alla nuova classificazione sismica del territorio nazionale, secondo il DM 17 gennaio 2018.

L'opera in oggetto è progettata per una vita nominale VN pari a 75 anni. Gli si attribuisce inoltre una classe d'uso III ai sensi del D. M. 17/01/2018, da cui scaturisce un coefficiente d'uso CU = 1.5.

La presente relazione riporta i calcoli statici e le verifiche di sicurezza relative alla spalla A (Figura 1) del cavalcaferrovia sul fosso Frestola.

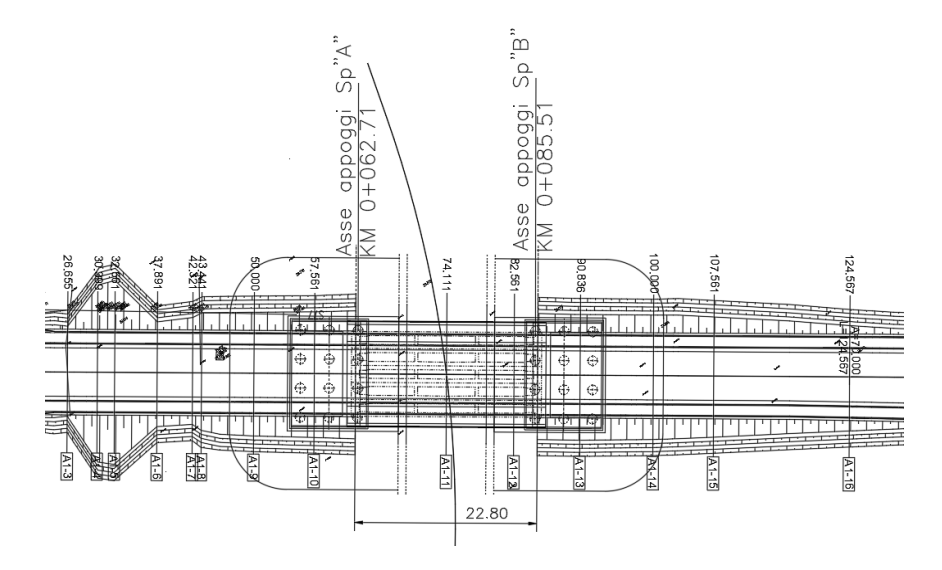


Figura 1: Stralcio planimetrico – ubicazione opera d'arte



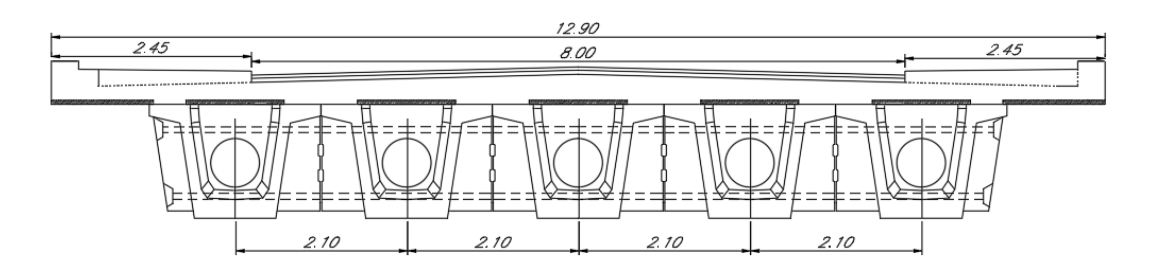


Figura 2: Sezione trasversale impalcato

Al fine di mitigare il rischio di corrosione indotta da cloruri rilevati nelle acque di falda, le sottostrutture (pali e plinti di fondazione) saranno realizzate con una classe di resistenza del calcestruzzo C32/40, coerentemente con l'adozione della classe di esposizione XD2 (cfr UNI-11104-2017).

Si sottolinea che tutte le verifiche sono effettuate, a favore di sicurezza, considerando comunque una classe di resistenza del calcestruzzo C25/30. Infine, si rimanda alle fasi progettuali successive per quanto concerne ulteriori indagini atte ad accertare l'effettiva presenza e concentrazione di cloruri nelle acque di falda.



2 NORMATIVA DI RIFERIMENTO

Le analisi strutturali e le verifiche di sicurezza sono state effettuate in accordo con le prescrizioni contenute nelle seguenti normative.

- 1. Norme Tecniche per le Costruzioni D.M. 17-01-18 (NTC-2018);
- 2. Circolare n. 7 del 21 gennaio 2019 Istruzioni per l'Applicazione dell'aggiornamento delle Norme Tecniche per le Costruzioni di cui al Decreto Ministeriale 17 gennaio 2018;
- 3. Regolamento (UE) N. 1299/2014 della Commissione del 18 novembre 2014 relativo alle specifiche tecniche di interoperabilità per il sottosistema «infrastruttura» del sistema ferroviario dell'Unione europea, modificato dal Regolamento di esecuzione (UE) N° 2019/776 della Commissione del 16 maggio 2019
- 4. Eurocodici EN 1991-2: 2003/AC:2010 Eurocodice 1 Parte 2
- 5. RFI DTC SI MA IFS 001 D Dicembre 2019 Manuale di Progettazione delle Opere Civili

2.1 Documenti di riferimento

I documenti che verranno richiamati nel seguito sono:

- Rif. [1] Relazione geotecnica NN1X00D78RHNW01000010
- Rif. [2] Impalcato Relazione di calcolo NN1X00D78CLNW01000030



3 MATERIALI

3.1 Calcestruzzo per fondazioni e pali

Per le strutture in fondaizone si adotta un calcestruzzo con le seguenti caratteristiche:

Classe d'esposizione: XC2

C25/30: $fck \ge 25 \text{ MPa Rck} \ge 30 \text{ MPa}$

Classe minima di consistenza: S4

In accordo con le norme vigenti, risulta per il materiale in esame:

Resistenza caratteristica cubica a 28 giorni	R_{ck}	30	N/mm^2
Resistenza caratteristica cilindrica a 28 giorni	$f_{ck} = 0.83 \; R_{ck}$	24,90	N/mm ²
Valore medio della resistenza cilindrica	$f_{cm} = f_{ck} + 8$	32,90	N/mm ²
Resistenza di calcolo breve durata	$f_{cd (Breve durata)} = f_{ck} / 1.5$	16,60	N/mm ²
Resistenza di calcolo lunga durata	$f_{\text{cd (Lungo durata)}} = 0.85 \ f_{\text{cd}}$	14,11	N/mm ²
Resistenza media a trazione assiale	$f_{ctm} = 0.3 (f_{ck})^{2/3}$ [Rck<50/60]	2,56	N/mm ²
Resistenza caratteristica a trazione	$f_{ctk\ 0,05} = 0.7\ f_{ctm}$	1,79	N/mm ²
Resistenza media a trazione per flessione	$f_{cfm}\!=1.2\;f_{ctm}$	3,07	N/mm ²
Resistenza di calcolo a trazione	$f_{ctd} = f_{ctk \ 0.05} \ / \ 1.5$	1,19	N/mm ²
Modulo di Young	$E = 22000 \; (f_{cm}/10)^{0.3}$	31447	N/mm ²

Tabella 1: Caratteristiche calcestruzzo fondazione e pali



3.2 Calcestruzzo per elevazione sottostrutture

Per le strutture in elevazione si adotta un calcestruzzo con le caratteristiche riportate di seguito:

Classe d'esposizione: XC4+XS1

C32/40: fck \geq 32 MPa Rck \geq 40 MPa

Classe minima di consistenza: S4

In accordo con le norme vigenti, risulta per il materiale in esame:

Resistenza caratteristica cubica a 28 giorni	R_{ck}	40	N/mm ²
Resistenza caratteristica cilindrica a 28 giorni	$f_{ck}=0.83\;R_{ck}$	33,20	N/mm ²
Valore medio della resistenza cilindrica	$f_{cm} = f_{ck} + 8$	41,20	N/mm ²
Resistenza di calcolo breve durata	$f_{cd \; (Breve \; durata)} = f_{ck} \; / \; 1.5$	22,13	N/mm ²
Resistenza di calcolo lunga durata	$f_{cd\;(Lungo\;durata)} = 0.85\;f_{cd}$	18,81	N/mm ²
Resistenza media a trazione assiale	$f_{ctm} = 0.3 (f_{ck})^{2/3}$ [Rck<50/60]	3,10	N/mm ²
Resistenza caratteristica a trazione	$f_{ctk\;0,05} = 0.7~f_{ctm}$	2,17	N/mm ²
Resistenza media a trazione per flessione	$f_{cfm}\!=1.2\;f_{ctm}$	3,72	N/mm ²
Resistenza di calcolo a trazione	$f_{ctd} = f_{ctk\;0,05} \: / \: 1.5$	1,45	N/mm ²
Modulo di Young	$E = 22000 \; (f_{cm}/10)^{0.3}$	33643	N/mm ²

Tabella 2: Caratteristiche calcestruzzo strutture in elevazione



LINEA SALERNO – PONTECAGNANO AEROPORTO
COMPLETAMENTO METROPOLITANA DI SALERNO
TRATTA ARECHI – PONTECAGNANO AEROPORTO

SPALLA A - RELAZIONE DI CALCOLO

 COMMESSA
 LOTTO
 CODIFICA
 DOCUMENTO
 REV.
 FOGLIO

 NN1X
 00
 D78CL
 NW 01 00 001
 A
 9 di 76

3.3 Acciaio B450C

Si adotta acciaio tipo B450C come previsto al punto 11.3.2.1 delle NTC18 (**Errore. L'origine riferimento non è stata trovata.**), per il quale si possono assumere le seguenti caratteristiche:

Tensione caratteristica di snervamento: $f_{yk} = 450 \text{ MPa};$

Tensione di progetto: $f_{yk} = 450 \text{ MPa};$

Tensione di progetto: $f_{yk} = f_{yd} \, / \, \gamma_m$

 $Modulo \ Elastico \\ E_s = 210'000 \ MPa.$



4 AZIONE SISMICA (E)

Nel seguente paragrafo è riportata la valutazione dei parametri di pericolosità sismica utili alla determinazione delle azioni sismiche di progetto dell'opera cui si riferisce il presente documento, in accordo a quanto specificato a riguardo dal D.M. 17 gennaio 2018 e relativa circolare applicativa.

Si specifica che non è stata fatta un'analisi dinamica di dettaglio ma che si sono assunte le azioni al plateau per le masse dall'impoalcato e si è assunto un fattore di struttura q=1.5.

4.1.1 Valutazione dei parametri di pericolosità

La valutazione dei parametri di pericolosità sismica conduce alla determinazione delle azioni sismiche di progetto da applicare sulla struttura in esame.

A tal fine è necessario definire la localizzazione geografica del sito, la classe d'uso e la vita nominale dell'opera strutturale (VN), quest'ultima intesa come il numero di anni nel quale la struttura, soggetta ad una manutenzione ordinaria, assolva alla funzione per la quale è stata progettata.

Per l'opera in oggetto si considera una vita nominale: VN = 75 anni (categoria 2: "Altre opere nuove a velocità

V<250 Km/h") ed una classe d'uso III a cui è associato un coefficiente d'uso pari a (NTC – Tabella 2.4.II): C_u = 1.5.

I parametri di pericolosità sismica vengono valutati in relazione ad un periodo di riferimento V_R calcolato come il prodotto tra la vita nominale V_R ed il coefficiente d'uso C_U :

$$V_R = V_N \cdot C_U$$

Pertanto, per l'opera in oggetto, il periodo di riferimento è pari a $V_R = 75 \times 1.5 = 112.5$ anni

Altri parametri che concorrono alla valutazione delle azioni sismiche sono riportati di seguito:

- Categoria sottosuolo C
- Categoria topografica T1

Per il sisma in direzione trasversale e longitudinale, si assume per le spalle e per le pile, un fattore di struttura q=1.5, considerando come prescritto la struttura in classe di duttilità alta "CDB".

In accordo a quanto riportato in Allegato A delle Norme Tecniche per le costruzioni DM 17.01.18, si ottiene per il sito in esame:





I valori dei funzionali dello spettro di risposta sismica (a_g, F_0, T^*_C) per gli stati limite di normativa sono riportati in Tabella 3:

SLATO LIMITE	T _R [anni]	a _g [g]	F。 [-]	T _C [s]
SLO	68	0.052	2.450	0.343
SLD	113	0.063	2.518	0.371
SLV	1068	0.131	2.705	0.478
SLC	2193	0.158	2.785	0.520

Tabella 3: valori dei funzionali dello spettro di risposta sismica

In cui:

- ag accelerazione orizzontale massima del terreno al piano campagna, espressa come frazione dell'accelerazione di gravità;
- F₀ valore massimo del fattore di amplificazione dello spettro in accelerazione orizzontale;
- T*_C periodo di inizio del tratto a velocità costante dello spettro in accelerazione orizzontale;
- S coefficiente che contempla l'effetto dell'amplificazione stratigrafica (S_S) e dell'amplificazione topografica (S_T).

In Tabella 4 si riportano i valori dei funzionali e le coordinate dei punti del solo spettro di risposta sismica relativo allo stato limite di salvaguardia della vita (SLV):



	T [s]	Se [g]
	0.000	0.195
T _B ◀	0.214	0.527
Tc◀	0.641	0.527
	0.711	0.475
	0.782	0.432
	0.853	0.396
	0.923	0.366
	0.994	0.340
	1.064	0.317
	1.135	0.298
	1.206	0.280
	1.276	0.265
	1.347	0.251
	1.418	0.238
	1.488	0.227
	1.559	0.217
	1.630	0.207
	1.700	0.199
	1.771	0.191
	1.842	0.183
	1.912	0.177
	1.983	0.170
	2.053	0.164
Tp◀	2.124	0.159
	2.213	0.146
	2.303	0.135
	2.392	0.125
	2.481	0.117

Spettri di risposta (componenti orizz. e vert.) per lo stato li SLV

S_d[g]

0.6

0.5

0.7

0.9

0.9

0.9

0.9

0.1

Parametri dipendenti

Parametri indipendenti STATO LIMITE

Ss

0.131 g 2.705 0.478 s 1.487

1.339

1.000

S	1.487
η	1.000
T _B	0.214 s
Tc	0.641 s
T _D	2.124 s

Tabella 4: Parametri spettro di risposta sismica allo SLV

Il calcolo viene eseguito con il metodo pseudo statico, si eseguirà un calcolo elastico assumendo un fattore di struttura q=1.5. In queste condizioni l'azione sismica è rappresentata da una forza statica equivalente pari al prodotto delle forze di gravità per un opportuno coefficiente sismico.

TALFERR GRUPPO FERROVIE DELLO STATO ITALIANE	LINEA SALERNO – PONTECAGNANO AEROPORTO COMPLETAMENTO METROPOLITANA DI SALERNO TRATTA ARECHI – PONTECAGNANO AEROPORTO						
SPALLA A – RELAZIONE DI CALCOLO	COMMESSA	LOTTO	CODIFICA	DOCUMENTO	REV.	FOGLIO	
	NN1X	00	D78CL	NW 01 00 001	Α	13 di 76	

5 DESCRIZIONE DELLA STRUTTURA

Il cavalcaferrovia è composto da un'unica campata di luce 22.80m formata da n°5 travi in cap, come riportato in Figura 2. L'impalcato è caratterizzato da una parte pavimentata larga 8.00m e da due cordoli laterali da 2.45m, per una larghezza totale di 12.90m. La spalla A poggia su 12 pali di diametro Ø 1200. L'altezza del paramento a tergo del terreno è di circa 4.45 m, spessore del fusto di 2.20 m; la zattera di fondazione ha spessore 2.00 m. La trave paraghiaia che contiene il terreno immediatamente a ridosso dell'impalcato ha uno spessore di 0.40m per un'altezza di circa 2.20 m. Le sezioni più significative e la pianta della spalla in esame sono riportate rispettivamente in Figura 3 e Figura 4; per maggiori dettagli si rimanda agli elaborati grafici.

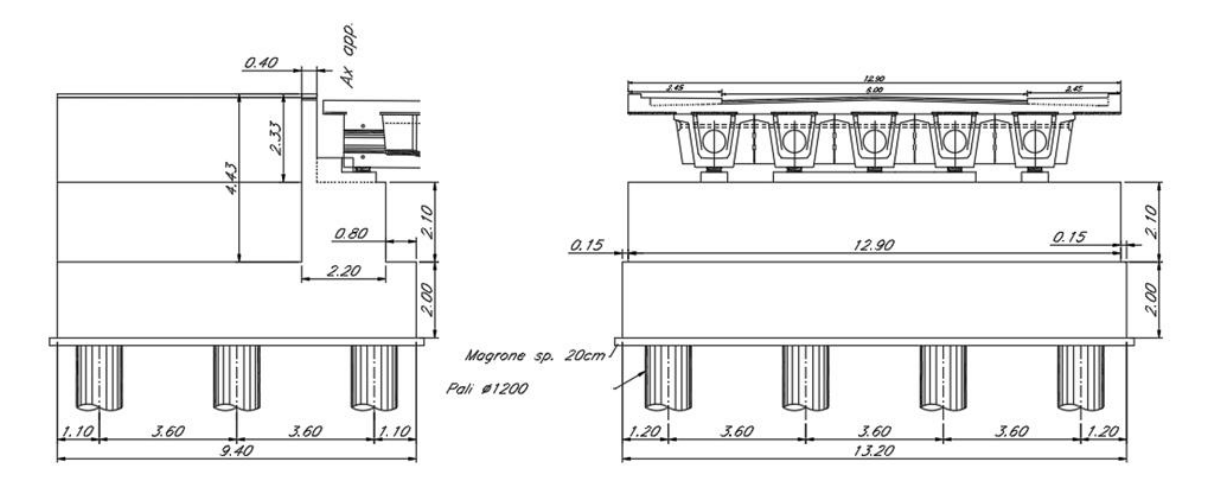


Figura 3: Spalla A – sezioni

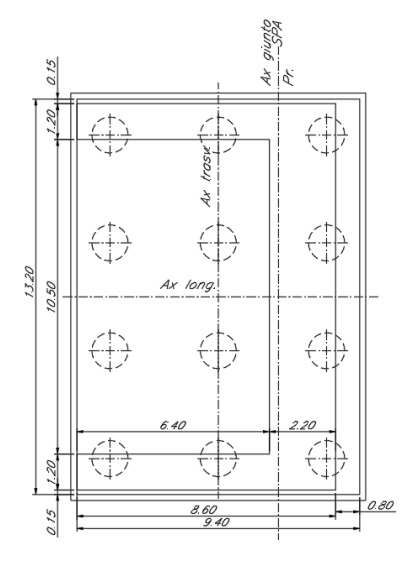


Figura 4: Spalla A – Pianta

I ITALFERR	LINEA SALERNO – PONTECAGNANO AEROPORTO COMPLETAMENTO METROPOLITANA DI SALERNO TRATTA ARECHI – PONTECAGNANO AEROPORTO								
SPALLA A – RELAZIONE DI CALCOLO	COMMESSA	LOTTO	CODIFICA	DOCUMENTO	REV.	FOGLIO			
	NN1X	00	D78CL	NW 01 00 001	Α	14 di 76			

6 ANALISI DEI CARICHI

6.1 Carichi dall'impalcato (SL)

Per una descrizione dettagliata dell'analisi dei carichi dell'impalcato si rimanda alla relazione di calcolo Rif. [2]. I carichi dall'impalcato sono applicati in testa al muro frontale. Le sollecitazioni sono già combinate per i diversi stati limite. Le sollecitaizoni sono riportate in "Tabella 9: Azioni elementari provenienti dal calcolo dell'impalcato".

6.2 Permanti (G1)

I pesi degli elementi strutturali sono dedotti utlizzando un peso di volume del calcestruzzo pari a 25 kN/m³, e a tergo della spalla, applicato sulla zattera posteriore, viene considerato un carico pari al peso del rinterro calcolato con un peso di volume pari a $\gamma = 19$ kN/m³.

La normativa NTC'18 ricorda anche di considerare la spinta a tergo della spalla come azione permanente. L'espressione della spinta esercitata da un terrapieno di peso specifico γ, su una parete di altezza H, risulta:

$$S_o = 1/2 * \gamma * H^2 * K_o$$
 (spinta per metro lineare di spalla)

l'utilizzo di K_o è determinato dall'impossibilità di subire spostamenti da parte della spalla; dove $K_o = 1$ - sen ϕ .

Il punto di applicazione della spinta si trova in corrispondenza del baricentro del diagramma delle pressioni (1/3 H rispetto alla base della parete).

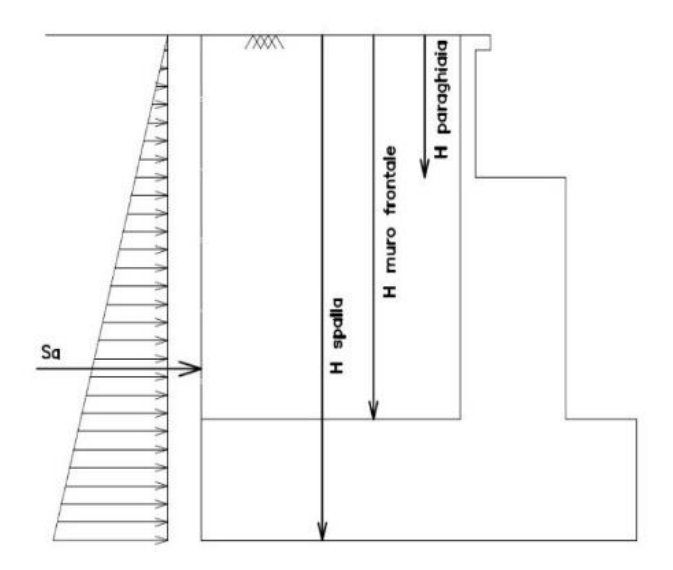


Figura 5: Spinta in quiete del terreno



6.3 Spinta del sovraccarico accidentale in condizioni statiche (Q1)

In aggiunta in condizioni statiche si considera un sovraccarico accidentale pari a Q = 20.0 kN/m2 gravante sulla spalla e sul cuneo di spinta a tergo di essa. La presenza del sovraccarico Q genera una spinta pari a: Sq = Q H ko

Tale spinta è applicata ad una altezza pari a H/2.

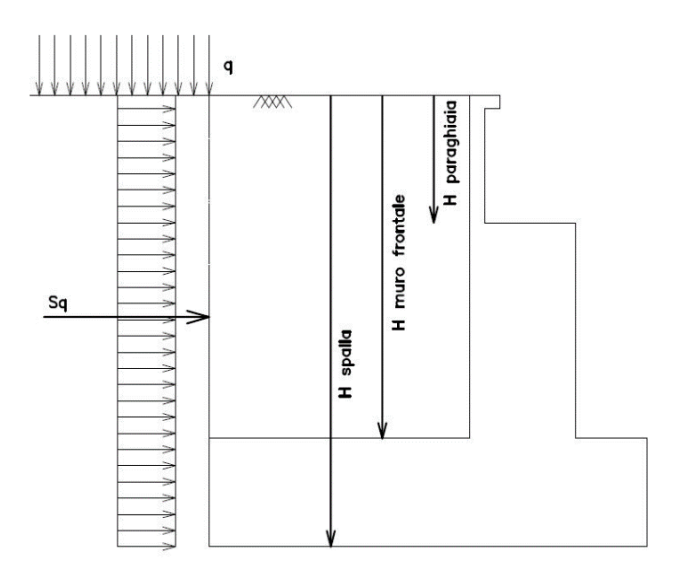


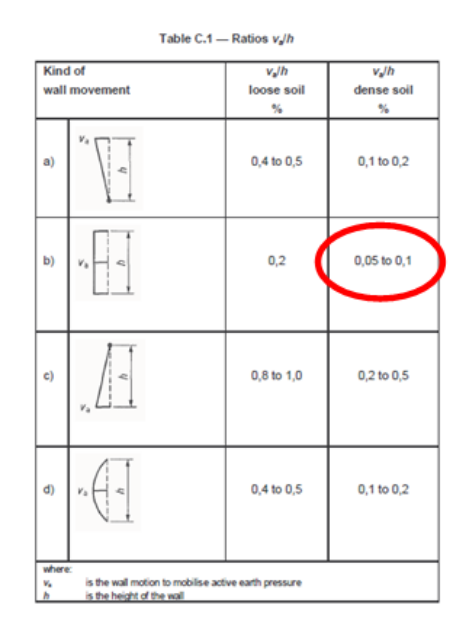
Figura 6: Spinta statica sovraccarico accidentale



6.3.1 Sovraspinta sismica

Per i valori da assumere per il calcolo del coefficiente k_h si rimanda al capitolo 4.

Per il calcolo della spinta del terreno sulle opere di sostegno, occorre tenere presente che la mobilitazione della spinta attiva avviene per spostamenti di entità contenuta, come si evince dalla seguente tabella desunta dall'EC7 - Parte 1 - Annesso C (C.3 "Movements to mobilise limit earth pressures):



In condizioni sismiche, l'entità degli spostamenti è influenzata fortemente dall'entità dell'azione sismica in relazione alla rigidezza del sistema pali-terreno; pertanto, la possibilità di ammettere la mobilitazione della spinta attiva è subordinata alla valutazione degli spostamenti dell'opera e potrà essere valutata caso per caso. Cautelativamente, la valutazione degli spostamenti, da effettuarsi calcolando le spinte come somma della spinta attiva in condizioni statiche e dell'incremento di spinta attiva in condizioni sismiche, sarà riferita alla base dell'opera (i.e. alla sommità della palificata) e il confronto con i valori di riferimento per la mobilitazione della spinta attiva sarà effettuato in accordo con lo schema b) della tabella estratta dall'EC7 per terreni addensati (rilevati stradali e ferroviari). L'altezza *h* rispetto alla quale effettuare la verifica corrisponde all'altezza totale dell'opera su cui agisce la spinta del terreno, comprensiva dello spessore della fondazione.

Qualora, a seguito della verifica dell'entità degli spostamenti, non ricorressero le condizioni di spinta attiva, si procederà al calcolo delle spinte considerando la somma della spinta statica a riposo e dell'incremento di spinta sismica valutata con la teoria di Wood, secondo le indicazioni contenute nell'EC8 – Parte 5 – Annesso E (E.9 "Force due to earth pressure for rigid structures"):

$$\Delta S = k_h \gamma H^2 \qquad \text{con } k_h = a_g S$$



Qualora, a seguito della verifica dell'entità degli spostamenti, ricorressero le condizioni di spinta attiva, si confermerà la correttezza dell'ipotesi di calcolo delle spinte come somma della spinta attiva in condizioni statiche e dell'incremento di spinta attiva in condizioni sismiche.

Per la valutazione del coefficiente di spinta attiva in condizioni statiche si farà in generale riferimento alla formulazione di Muller – Breslau:

$$k_{a} = \frac{\cos^{2}(\alpha + \phi)}{\cos^{2}\alpha \cdot \cos(\alpha - \delta) \left[1 + \sqrt{\frac{\sin(\phi + \delta) \cdot \sin(\phi - \beta)}{\cos(\alpha - \delta) \cdot \cos(\alpha + \beta)}}\right]^{2}}$$

 ϕ = angolo di attrito interno del terreno

 $\alpha = inclinazione del paramento di monte rispetto alla verticale$

 β = inclinazione del pendio di monte rispetto al piano orizzontale

 δ = angolo di attrito terra-muro

Per la valutazione del coefficiente di spinta attiva in condizioni sismiche si farà riferimento alla formulazione di Mononobe-Okabe:

$$k_a = \frac{\cos^2{(\phi - \alpha - \mathcal{Y})}}{\cos{\mathcal{Y}} \cdot \cos^2{\alpha} \cdot \cos(\mathcal{S} + \alpha + \mathcal{Y}) \left[1 + \sqrt{\frac{\sin(\phi + \mathcal{S}) \cdot \sin(\phi - \beta - \mathcal{Y})}{\cos(\mathcal{S} + \alpha + \mathcal{Y}) \cdot \cos(\beta - \alpha)}}\right]^2} \\ \operatorname{se}{\boldsymbol{\beta}} \leq \boldsymbol{\phi} \cdot \boldsymbol{\theta}$$

$$k_a = \frac{\cos^2(\phi - \alpha - \theta)}{\cos\theta \cdot \cos^2\alpha \cdot \cos(\delta + \alpha + \theta)}$$
 se $\beta > \phi - \theta$

dove θ = angolo sismico, definito secondo la seguente espressione (in assenza di falda) in funzione dei coefficienti sismici k_h e k_v :

$$\tan \theta = \frac{k_h}{1 \mp k_v}$$

Nella determinazione dei coefficienti sismici k_h e k_v , per le spalle di ponti e viadotti ferroviari fondate su pali si porrà $\beta_m = 1$ in accordo con l'EC8-5.

A seguito della verifica della entità degli spostamenti, pari a 3.2cm (come desumibile dalla Relazione Geotecnica Rif. [1] alla quale si rimanda per maggiori dettagli) e quindi superiori al limite di cui alla relazione v/h = 3.2/643*100 = 0.49% > 0.05%, si conferma la correttezza dell'ipotesi di calcolo delle spinte come somma della spinta attiva in condizioni statiche e dell'incremento di spinta attiva in condizioni sismiche.



SPALLA A - RELAZIONE DI CALCOLO

COMMESSA	LOTTO	CODIFICA	DOCUMENTO	REV.	FOGLIO
NN1X	00	D78CL	NW 01 00 001	Α	18 di 76

Nel caso delle spalle connesse all'impalcato mediante appoggi scorrevoli, le forze di inerzia agenti sulla massa della struttura e del terreno presente sulla sua fondazione saranno valutate applicando l'accelerazione massima al suolo $a_g S$.

6.3.2 Inerzia terrapieno

Si valutano le inerzie legate alla massa del terrapieno confinato a tergo:

 $F_{i,T} = k_h \cdot W_{terr}$ (si rimanda alle tabelle seguenti "azioni sulla spalla")

6.3.3 Inerzie strutturali

Si valutano le inerzie legate alla massa degli elementi strutturali con la seguente formula:

 $F_i = k_h \cdot W_{str}$



LINEA SALERNO – PONTECAGNANO AEROPORTO
COMPLETAMENTO METROPOLITANA DI SALERNO
TRATTA ARECHI – PONTECAGNANO AEROPORTO

SPALLA A - RELAZIONE DI CALCOLO

 COMMESSA
 LOTTO
 CODIFICA
 DOCUMENTO
 REV.
 FOGLIO

 NN1X
 00
 D78CL
 NW 01 00 001
 A
 19 di 76

7 INQUADRAMENTO GEOTECNICO

Si rimanda alla Relazione geotecnica (Rif. [1]) la trattazione completa dei parametri geologici e geotecnici del terreno di fondazione. Per il terreno di ricoprimento dell'opera sono state assunte le seguenti caratteristiche geotecniche:

 $\gamma = 19 \text{ kN/m}^3$ peso di volume naturale

 $\phi' = 35^{\circ}$ angolo di resistenza al taglio

c' = 0 kPa coesione drenata



8 CRITERI DI VERIFICA

Il metodo di verifica adottato è quello agli Stati Limite Ultimo (SLU-SLV) ed agli Stati Limite di Esercizio (SLE), secondo quanto previsto dal D.M. del 17 gennaio 2018.

8.1 Criteri di verifica allo stato limite ultimo

8.1.1 Verifica di resistenza a presso-flessione

Allo Stato Limite Ultimo le verifiche per tensioni normali vengono condotte confrontando per ogni sezione le resistenze ultime e le sollecitazioni massime agenti, valutando di conseguenza il corrispondente fattore di sicurezza secondo la nota relazione:

$$M_{Rd}(N_{ed}) \ge M_{ed}$$

dove:

- M_{Rd} è il valore di calcolo del momento resistente;
- N_{Ed} è il valore di calcolo della componente assiale (sforzo normale) dell'azione;
- M_{Ed} è il valore di calcolo della componente flettente dell'azione.

8.1.2 Verifica di resistenza a taglio

In assenza di armature trasversali a taglio, la verifica allo Stato Limite Ultimo per taglio è condotta secondo la relazione:

$$V_{Rd} \ge V_{ed}$$

Dove:

- -V_{Rd} è il valore di resistenza a taglio dell'elemento verificato
- V_{Ed} è il valore di calcolo della componente di taglio.

8.2 Criteri di verifica allo stato limite d'esercizio

8.2.1 Verifica a fessurazione

La normativa vigente prevede, per la verifica, in ordine di severità decrescente i seguenti stati limite:



SPALLA A - RELAZIONE DI CALCOLO

COMMESSA	LOTTO	CODIFICA	DOCUMENTO	REV.	FOGLIO
NN1X	00	D78CL	NW 01 00 001	Α	21 di 76

Stato limite di decompressione: la tensione normale è ovunque nella sezione di compressione ed al più uguale a 0.

Stato limite di formazione delle fessure: la tensione normale di trazione nella fibra più sollecitata è pari a

$$\sigma_t = f_{ctm}/1.2$$

Stato limite di apertura delle fessure: il valore della dimensione delle fessure è pari ad uno dei seguenti valori nominali

$$w1 = 0.2mm$$
 $w2 = 0.3mm$ $w3 = 0.4mm$

Lo stato di fessurazione è fissato in funzione delle condizioni ambientali e della sensibilità delle armature alla corrosione.

L'ampiezza caratteristica è calcolata come il prodotto della deformazione media delle barre d'armatura per la distanza media tra le fessure

$$W_k = \varepsilon_{sm} \cdot \Delta_{sm}$$

Per il calcolo si devono essere utilizzati criteri riportati in documenti di comprovata validità. Nel caso specifico si rimanda al punto 7.8-EC2.

Nel Manuale di Progettazione (**Errore. L'origine riferimento non è stata trovata.**) è imposto il limite w1 = 0.2mm per le opere a permanente contatto con il terreno.

8.2.2 Verifica per le tensioni in esercizio

Le verifiche tensionali agli stati limite di esercizio consistono nel controllare che, per le combinazioni caratteristiche (rare) e quasi permanenti delle azioni, le tensioni nel calcestruzzo e nelle armature, valutate adottando una legge costitutiva tensioni-deformazioni di tipo lineare, siano contenute nei limiti di seguito indicati:

Tensione massima di compressione del calcestruzzo nelle condizioni di esercizio

$$\sigma_c = 0.55 \cdot f_{ck}$$
 per combinazione caratteristica (rara)

 $\sigma_c = 0.40 \cdot f_{ck}$ per combinazione quasi permanente

Tensione massima dell'acciaio nelle condizioni di esercizio

 $\sigma_s = 0.75 \cdot f_{vk}$ per combinazione caratteristica (rara)



9 CALCOLO SPALLA A

Le azioni provenienti dal calcolo agli elementi finiti dell'impalcato, vengono proiettate lungo gli assi principali degli elementi costituenti la spalla. Ad esse va opportunamente integrato il contributo in termini di peso e di spinta del terrapieno che interagisce con la spalla. In Tabella 5 si riportano le caratteristiche dei materiali e le geometrie degli elementi raffigurati in Figura 7:

	(CLS	TER	RENO	1								
g [m/sec ²]	γ [KN/m³]	m[KNm/m³]	γ [KN/m³]	m[KNm/m ³]									
9.81	25.00	2.55	19.00	1.94]								
	PLINTO												
					NIO				1 . 5 . 3		2	2- 5-14-1	5.0
l [m]	h [m]		t [m]	θ plinto [°]			f [m]			bh [m]			
9.40	2.00		13.20	0.00		6.40	0.80	4.700	0.00	1.00	0.00 248.1	6 6'204	632
MURO FRONTALE													
li [m]	h [m]	ls [m]	t [m]	e [m]	et [m]			bl [m]	bt [m]	bh [m]	ΔV [m ³] V [m	յ P [KN]	m [t]
2.20	2.10	2.20	12.90	0.60	0.00			1.900	0.00	3.05	0.00 59.6		152
				DADA	GHIAIA								
	h [m]	hi [m]	t [m]	el [m]	et [m]			bl [m]	bt [m]	hh [m]	ΔV [m³] V [m	P [KN]	m [t]
l [m] 0.40	2.17	0.00	12.90	0.00	0.00			2.80	0.00	5.19	ΔV [m ²] V [m 0.00 11.2		m [t] 29
0.40	2.17	0.00	12.90	0.00	0.00			2.00	0.00	5.19	0.00 11.2	J 200	29
	MURO D'ALA												
l [m]	h [m]		t [m]	el [m]		n	pos	bl [m]	bt [m]	bh [m]	$\Delta V [m^3] V [m$] P [KN]	m [t]
0.00	0.00		0.00	0.00		0	sym	0.00	0.00	2.00	0.00 0.00	0	0
				TERRENO DI I	RIEMPII	/ENTC)						
li [m]	h [m]	ls [m]	t [m]		et [m]		_	bl [m]	bt [m]	bh [m]	ΔV [m ³] V [m	P [KN]	m [t]
6.40	4.27	6.40	10.80		0.00		sym		0.00	4.12	0.00 295.1		572
							•						
				IURI LATERAL									
li [m]	h [m]	ls [m]	t [m]		et [m]	n°			bt [m]	bh [m]			
6.40	4.270	6.400	1.200		0.00	2	sym	6.20	0.00	4.12	0.00 65.5	9 1'640	167
				BANI	DIERA								
I [m]	ht [m]	hi [m]	t [m]	eh [m]	et [m]	n°	pos	bl [m]	bt [m]	bh [m]	ΔV [m ³] V [m	³] P [KN]	m [t]
0.00	0.000	0.000	0.00	0.00	0.00	2	sym		0.00	0.00	0.00 0.00		0
151	1.5.1			TERRENO DI R	RICOPRI	MENT		115.3		11.5.3	3, , , ,	B D ((4.2)	- 513
l [m]	h [m]		t [m]					bl [m]		bh [m]		-	
0.80	2.10		13.20					0.40		3.05	0.00 22.1	3 421	43

Tabella 5: Geometrie degli elementi



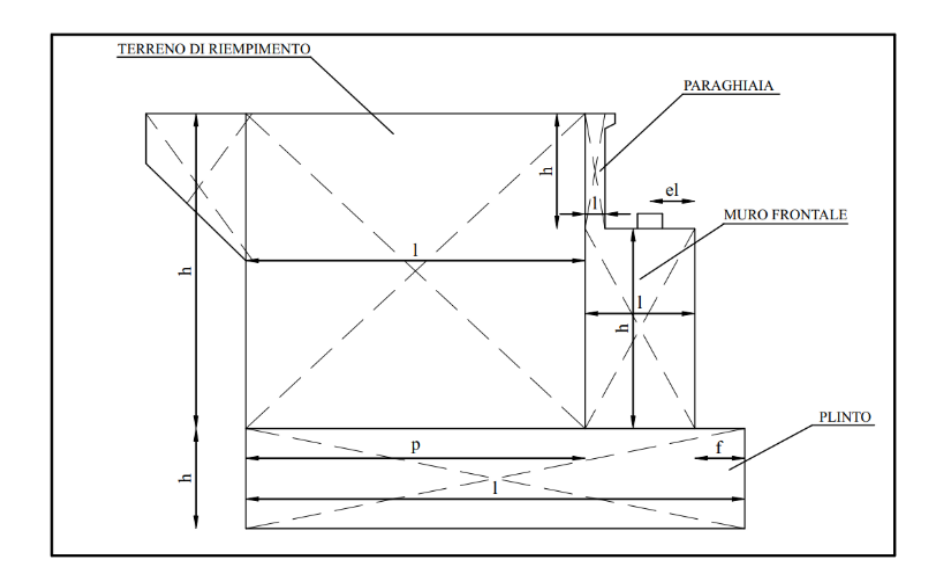


Figura 7: Sezione tipo spalla

In Tabella 6 vengono riportati i parametri dei materiali unitamente al calcolo dei sovraccarichi permanenti, dovuti al peso del terrapieno, ed accidentali, dovuti all'azione da traffico:

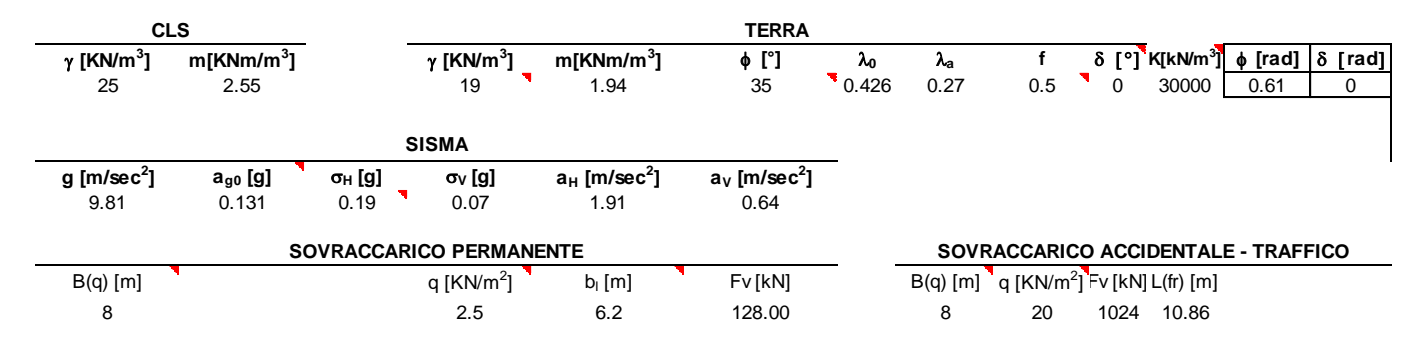


Tabella 6: Parametri dei materiali e calcolo sovraccarichi

In Tabella 7 vengono riportati i parametri caratteristici e i valori della spinta sia in condizioni di riposo che in condizioni attiva di rottura, entrambi connessi al relativo calcolo della sovraspinta in condizioni sismiche, agente lungo le direzioni principali degli elementi costituenti la spalla.



SPALLA A – RELAZIONE DI CALCOLO

 COMMESSA
 LOTTO
 CODIFICA
 DOCUMENTO
 REV.
 FOGLIO

 NN1X
 00
 D78CL
 NW 01 00 001
 A
 24 di 76

Direzione Longitudinale

H [m]	H1 [m]	Hma [m]	t [m]	tma [m]
6.27	4.27	0	12.9	0

	SPINTA RIPOSO										
	λ_0	F _{0h} [kN]	F_{0v} [kN]	F_0 [kN]	bh [m]						
TERRENO	0.4	2054	0	2054	2.09						
PERM	0.4	53	0	53	3.14						
ACC	0.4	428	0	428	3.14						

		SPINTA A	ATTIVA		SOVRASPINTA SISMICA GLOBALE - dir longitudinale							
					vers	o il basso S'	V(+)	VE	erso l'alto S'	V(-)		
	λ_{a}	F _{ah} [kN]	F _a [kN]	bh [m]	λ_{s}	F [kN]	ΔF [kN]	λς	F [kN]	∆F [kN]		
TERRENO	0.27	1306	1306	2.09	0.447	2155	849	0.342	1649	344		
PERM	0.27	34	34	3.14	0.447	56	22	0.342	43	9		
ACC	0.27	272	272	3.14	0.447	449	177	0.342	343	72		

Direzione Tras	versale			SPINTA RIPOSO						
	n°	λ_0	F _{0h} [kN]	F_{0v} [kN]	F_0 [kN]	bh [m]				
risvolti	2	sym	0	4.27	6.4	0.426	0	0	0	3.42
bandiere	2	sym	0	0	0	0.426	0	0	0	6.27
risvolti_sovr.						0.426	0	0	0	4.14
bandiere_sovr.						0.426	0	0	0	6.27

		SPINTA	ATTIVA	SOVRASPINTA SISMICA GLOBALE - dir trasversale						
		vers	o il basso S'	V(+)	verso l'alto SV(-)					
	$\lambda_{\mathbf{a}}$	F _{ah} [kN]	F _a [kN]	bh [m]	λ_{s}	F [kN]	ΔF [kN]	λ_{s}	F [kN]	∆F [kN]
risvolti	0.271	0	0	3.423333	0.447	0	0	0.342	0	0
bandiere	0.271	0	0	6.27	0.447	0	0	0.342	0	0
risvolti_sovr.	0.271	0	0	4.135	0.447	0	0	0.342	0	0
bandiere_sovr.	0.271	0	0	6.27	0.447	0	0	0.342	0	0

Tabella 7: Parametri caratteristici delle azioni



Il calcolo dei coefficienti di spinta, in condizioni attive/passive di rottura, viene riportato all'interno della Tabella 8:

spostamenti del muro ammessi coefficiente sismico orizzontale coefficiente sismico verticale Verso dell'azione sismica (kh/(I Angolo di attrito del terreno Coefficiente parziale per l'angolo di attrito Angolo di attrito di progetto del terreno inclinazione della parete del muro rivolta a monte inclinazione della superficie del terrapieno Angolo di attrito tra muro e terreno Angolo di attrito di progetto tra muro e terreno Coefficiente di spinta attiva Coefficiente di spinta passiva Coefficiente di spinta (statico + dinamico), per stati attivi		С	
accelerazione orizzontale massima al suolo attesa su sito di riferimento rigido accelerazione orizzontale massima attesa spostamenti del muro ammessi coefficiente sismico orizzontale coefficiente sismico verticale Verso dell'azione sismica Angolo di attrito del terreno Coefficiente parziale per l'angolo di attrito Angolo di attrito di progetto del terreno inclinazione della parete del muro rivolta a monte inclinazione della superficie del terrapieno Angolo di attrito tra muro e terreno Angolo di attrito di progetto tra muro e terreno Coefficiente di spinta attiva Coefficiente di spinta (statico + dinamico), per stati attivi Coefficiente di spinta in condizioni sismiche, per stati attivi		1	•
accelerazione orizzontale massima attesa spostamenti del muro ammessi coefficiente sismico orizzontale coefficiente sismico verticale Verso dell'azione sismica Angolo di attrito del terreno Coefficiente parziale per l'angolo di attrito Angolo di attrito di progetto del terreno inclinazione della parete del muro rivolta a monte inclinazione della superficie del terrapieno Angolo di attrito tra muro e terreno Angolo di attrito di progetto tra muro e terreno Coefficiente di spinta attiva Coefficiente di spinta attiva Coefficiente di spinta (statico + dinamico), per stati attivi Coefficiente di spinta in condizioni sismiche, per stati attivi	F_0	2.705	
spostamenti del muro ammessi coefficiente sismico orizzontale kh=β _m * coefficiente sismico verticale kv=(Verso dell'azione sismica (Angolo di attrito del terreno Coefficiente parziale per l'angolo di attrito Angolo di attrito di progetto del terreno inclinazione della parete del muro rivolta a monte inclinazione della superficie del terrapieno Angolo di attrito tra muro e terreno Angolo di attrito di progetto tra muro e terreno Coefficiente di spinta attiva Coefficiente di spinta passiva Coefficiente di spinta (statico + dinamico), per stati attivi Coefficiente di spinta in condizioni sismiche, per stati attivi	a_g	0.131	g
spostamenti del muro ammessi coefficiente sismico orizzontale kh=βm* coefficiente sismico verticale kv=(Verso dell'azione sismica (kh/(l) Angolo di attrito del terreno Coefficiente parziale per l'angolo di attrito Angolo di attrito di progetto del terreno inclinazione della parete del muro rivolta a monte inclinazione della superficie del terrapieno Angolo di attrito tra muro e terreno Angolo di attrito di progetto tra muro e terreno Coefficiente di spinta attiva Coefficiente di spinta passiva Coefficiente di spinta (statico + dinamico), per stati attivi Coefficiente di spinta in condizioni sismiche, per stati attivi	S_S	1.487	
spostamenti del muro ammessi coefficiente sismico orizzontale kh=βm* coefficiente sismico verticale kv=(Verso dell'azione sismica (kh/(l) Angolo di attrito del terreno Coefficiente parziale per l'angolo di attrito Angolo di attrito di progetto del terreno inclinazione della parete del muro rivolta a monte inclinazione della superficie del terrapieno Angolo di attrito tra muro e terreno Angolo di attrito di progetto tra muro e terreno Coefficiente di spinta attiva Coefficiente di spinta passiva Coefficiente di spinta (statico + dinamico), per stati attivi Coefficiente di spinta in condizioni sismiche, per stati attivi	S_{T}	1	
spostamenti del muro ammessi coefficiente sismico orizzontale kh=βm* coefficiente sismico verticale kv=(Verso dell'azione sismica (kh/(l) Angolo di attrito del terreno Coefficiente parziale per l'angolo di attrito Angolo di attrito di progetto del terreno inclinazione della parete del muro rivolta a monte inclinazione della superficie del terrapieno Angolo di attrito tra muro e terreno Angolo di attrito di progetto tra muro e terreno Coefficiente di spinta attiva Coefficiente di spinta passiva Coefficiente di spinta (statico + dinamico), per stati attivi Coefficiente di spinta in condizioni sismiche, per stati attivi	S	1.48738	7
spostamenti del muro ammessi coefficiente sismico orizzontale kh=βm* coefficiente sismico verticale kv=(Verso dell'azione sismica (kh/(l) Angolo di attrito del terreno Coefficiente parziale per l'angolo di attrito Angolo di attrito di progetto del terreno inclinazione della parete del muro rivolta a monte inclinazione della superficie del terrapieno Angolo di attrito tra muro e terreno Angolo di attrito di progetto tra muro e terreno Coefficiente di spinta attiva Coefficiente di spinta passiva Coefficiente di spinta (statico + dinamico), per stati attivi Coefficiente di spinta in condizioni sismiche, per stati attivi	x=S*aa	0.19484	8
Verso dell'azione sismica (kh/(l Angolo di attrito del terreno Coefficiente parziale per l'angolo di attrito Angolo di attrito di progetto del terreno inclinazione della parete del muro rivolta a monte inclinazione della superficie del terrapieno Angolo di attrito tra muro e terreno Angolo di attrito di progetto tra muro e terreno (φ _d Coefficiente di spinta attiva Coefficiente di spinta passiva (1 ± kv) (1 ± kv)	9	no	•
Verso dell'azione sismica (kh/(l Angolo di attrito del terreno Coefficiente parziale per l'angolo di attrito Angolo di attrito di progetto del terreno inclinazione della parete del muro rivolta a monte inclinazione della superficie del terrapieno Angolo di attrito tra muro e terreno Angolo di attrito di progetto tra muro e terreno (φd Coefficiente di spinta attiva Coefficiente di spinta passiva (1 ± kv)	β_{m}	1	
Verso dell'azione sismica (kh/(l Angolo di attrito del terreno Coefficiente parziale per l'angolo di attrito Angolo di attrito di progetto del terreno inclinazione della parete del muro rivolta a monte inclinazione della superficie del terrapieno Angolo di attrito tra muro e terreno Angolo di attrito di progetto tra muro e terreno Coefficiente di spinta attiva Coefficiente di spinta passiva Coefficiente di spinta (statico + dinamico), per stati attivi Coefficiente di spinta in condizioni sismiche, per stati attivi	*a_max	0.195	
kh/(l Angolo di attrito del terreno Coefficiente parziale per l'angolo di attrito Angolo di attrito di progetto del terreno inclinazione della parete del muro rivolta a monte inclinazione della superficie del terrapieno Angolo di attrito tra muro e terreno Angolo di attrito di progetto tra muro e terreno Coefficiente di spinta attiva Coefficiente di spinta passiva Coefficiente di spinta (statico + dinamico), per stati attivi Coefficiente di spinta in condizioni sismiche, per stati attivi	=0.5*kh	0.097	
kh/(l Angolo di attrito del terreno Coefficiente parziale per l'angolo di attrito Angolo di attrito di progetto del terreno inclinazione della parete del muro rivolta a monte inclinazione della superficie del terrapieno Angolo di attrito tra muro e terreno Angolo di attrito di progetto tra muro e terreno Coefficiente di spinta attiva Coefficiente di spinta passiva Coefficiente di spinta (statico + dinamico), per stati attivi Coefficiente di spinta in condizioni sismiche, per stati attivi			so verso l'alto
Angolo di attrito del terreno Coefficiente parziale per l'angolo di attrito Angolo di attrito di progetto del terreno inclinazione della parete del muro rivolta a monte inclinazione della superficie del terrapieno Angolo di attrito tra muro e terreno Angolo di attrito di progetto tra muro e terreno Coefficiente di spinta attiva Coefficiente di spinta passiva Coefficiente di spinta (statico + dinamico), per stati attivi Coefficiente di spinta in condizioni sismiche, per stati attivi	(-1/+1)	1	-1
Coefficiente parziale per l'angolo di attrito Angolo di attrito di progetto del terreno inclinazione della parete del muro rivolta a monte inclinazione della superficie del terrapieno Angolo di attrito tra muro e terreno Angolo di attrito di progetto tra muro e terreno	(1 ± kv)	0.216	0.178
Angolo di attrito di progetto del terreno inclinazione della parete del muro rivolta a monte inclinazione della superficie del terrapieno Angolo di attrito tra muro e terreno Angolo di attrito di progetto tra muro e terreno	φ	35	0
inclinazione della parete del muro rivolta a monte inclinazione della superficie del terrapieno Angolo di attrito tra muro e terreno Angolo di attrito di progetto tra muro e terreno	$\gamma_{\phi'}$	1	
inclinazione della superficie del terrapieno Angolo di attrito tra muro e terreno Angolo di attrito di progetto tra muro e terreno	ϕ_{d}	35	0
Angolo di attrito tra muro e terreno Angolo di attrito di progetto tra muro e terreno ϕ_d Coefficiente di spinta attiva Coefficiente di spinta passiva Coefficiente di spinta (statico + dinamico), per stati attivi Coefficiente di spinta in condizioni sismiche, per stati attivi	ψ=α	90	•
Angolo di attrito di progetto tra muro e terreno ϕ_d Coefficiente di spinta attiva Coefficiente di spinta passiva $ \text{Coefficiente di spinta (statico + dinamico), per stati attivi } $	β	0	0
Coefficiente di spinta attiva Coefficiente di spinta passiva	δ	-	0
Coefficiente di spinta attiva Coefficiente di spinta passiva	$\delta_{\! extsf{d}}$	0	o
Coefficiente di spinta attiva Coefficiente di spinta passiva Coefficiente di spinta (statico + dinamico), per stati attivi Coefficiente di spinta in condizioni sismiche, per stati attivi $(1 \pm kv)$	θ (°)	12.18	10.07
Coefficiente di spinta passiva Coefficiente di spinta (statico + dinamico), per stati attivi Coefficiente di spinta in condizioni sismiche, per stati attivi $(1 \pm kv)$	_d - θ (°)	22.82	24.93
Coefficiente di spinta (statico + dinamico), per stati attivi $ (1 \pm kv) $	Ka	0.271	
Coefficiente di spinta in condizioni sismiche, per stati attivi $(1 \pm kv)$	Kp	3.690	
	K_{AE}	0.408	0.379
Coefficiente di spinta (statico + dinamico), per stati passivi	v)*K _{AE}	0.447	0.342
	K_{PE}	3.251	3.333
	v)*K _{PE}	3.568	3.009

Tabella 8: Coefficienti di spinta



Si riportano in Tabella 9 gli scarichi non fattorizzati provenienti dall'impalcato, in accordo con le seguenti convenzioni:

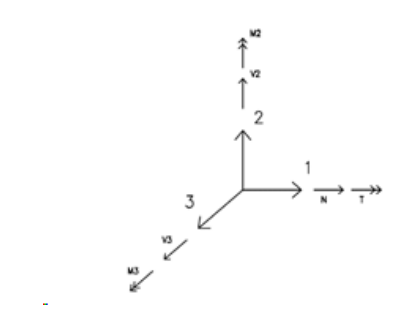


Figura 8: Sistema di riferimento convenzionale

P, azione normale

V2, forza longitudinale

V3, forza trasversale

T, momento torcente

M2, momento lungo l'asse trasversale

M3, momento lungo l'asse longitudinale

		orces - Frames										
Frame	Station	OutputCase	CaseType	StepType	P	V2	V3	Т	M2	М3	FrameElem	ElemStation
Text	m	Text	Text	Text	KN	KN	KN	KN-m	KN-m	KN-m	Text	m
SA	0.00	SLU	Combination	Max	-6395	569	94	0	0	0	SA-1	0.00
SA	0.00	SLU	Combination	Max	-6395	569	94	0	0	0	SA-1	0.05
SA	0.00	SLU	Combination	Min	-4343	0	0	0	0	0	SA-1	0.00
SA	0.00	SLU	Combination	MIn	-4343	0	0	0	0	0	SA-1	0.05
SA	0.00	Ex	LinRespSpec	Max	0	3529	0	0	0	0	SA-1	0.00
SA	0.05	Ex	LinRespSpec	Max	0	3529	0	0	0	0	SA-1	0.05
SA	0.00	Ey	LinRespSpec	Max	0	0	1812	0	0	0	SA-1	0.00
SA	0.05	Ey	LinRespSpec	Max	0	0	1812	0	0	0	SA-1	0.05
SA	0.00	Ez	LinRespSpec	Max	897	0	0	0	0	0	SA-1	0.00
SA	0.05	Ez	LinRespSpec	Max	897	0	0	0	0	0	SA-1	0.05
SA	0.00	G1+G2	Linstatic		-3151	0	0	0	0	0	SA-1	0.00
SA	0.05	G1+G2	Linstatic		-3151	0	0	0	0	0	SA-1	0.05
SA	0.00	SLE-R	Linstatic		-4671	0	0	0	0	0	SA-1	0.00
SA	0.05	SLE-R	Linstatic		-4671	0	0	0	0	0	SA-1	0.05
SA	0.00	SLE-FR	Linstatic		-4101	0	0	0	0	0	SA-1	0.00
SA	0.05	SLE-FR	Linstatic		-4101	0	0	0	0	0	SA-1	0.05
SA	0.00	SLE-QP	Linstatic		-3151	0	0	0	0	0	SA-1	0.00
SA	0.05	SLE-QP	Linstatic		-3151	0	0	0	0	0	SA-1	0.05

Tabella 9: Azioni elementari provenienti dal calcolo dell'impalcato



SPALLA A - RELAZIONE DI CALCOLO

COMMESSA	LOTTO	CODIFICA	DOCUMENTO	REV.	FOGLIO
NN1X	00	D78CL	NW 01 00 001	Α	27 di 76

In generale per gli elementi modellati come monodimensionali, salvo ove diversamente specificato, l'asse 1 coincide con la direzione di prevalente sviluppo dell'elemento stesso, gli assi 2 e 3 con le direzioni ad esso ortogonali. Per il plinto di fondazione, l'asse 2 è quello coincidente con la direzione di sviluppo longitudinale del viadotto, l'asse 3 è quello relativo alla direzione ad esso trasversale.

In Tabella 10 vengono illustrati i pesi del terreno e della spalla unitamente ai valori di spinta in condizioni di riposo e attiva agenti su entrambe le direzioni principali, con il seguente significato:

- Fv, forza verticale;
- Fl, forza longitudinale;
- Ft, forza trasversale;
- bl, braccio delle forze verticali, rispetto al piede anteriore della fondazione;
- bh, braccio delle forze orizzontali, rispetto alla quota intradosso fondazione;
- Msl, momento stabilizzante, rispetto al piede anteriore della fondazione;
- Mrl, momento ribaltante, rispetto al piede anteriore della fondazione;
- et, braccio trasversale delle forze verticali, rispetto al baricentro della fondazione;
- Mt, momento trasversale, rispetto al baricentro della fondazione, riportato alla quota intradosso plinto;



Tabella 10: Calcolo delle spinte del terrapieno

AZIONI NON FATTORIZZATE (rispetto allo spigolo all'INTRADOSSO a valle anteriore plinto)

			PES	SO PROF	RIO SPA	LLA					
elemento	FV [kN]	FI [kN]	Ft [kN]	bl [m]	bh [m]	Msl [kNm]	Mrl [kNm]	bt [m]	Mt [kNm]	MI [kNm]	T [kNm]
PLINTO	6'204			4.70	1.00	29'159			0	0	
MURO FRONTALE	1'490			1.90	3.05	2'831		0.00	0	4'172	
PARAGHIAIA	280			2.80	5.19	784		0.00	0	532	
MURO D'ALA	0			0.00	2.00	0		0.00	0	0	
MURI LATERALI DI RISVOLTO	1'640			6.20	4.12	10'166		0.00	0	-2'460	
BANDIERA	0			0.00	0.00	0		0.00	0	0	
TOTALE	9'614					42'940			0	2'244	
				PESO T	ERRENC)					
elemento	FV [kN]	FI [kN]	Ft [kN]	bl [m]	bh [m]	MsI [kNm]	Mrl [kNm]	et [m]	Mt [kNm]	MI [kNm]	T [kNm]
RIEMPIMENTO	5608			6.20	4.12	34'768		0.00	0	-8'412	
RICOPRIMENTO	421			0.40	-3.05	169		0.00		1'812	
TOTALE	6'029					34'936			0	-6'600	
		CDIN	TA LONG	NTUDINI A		DENO AT	TIV/A				
condizione	E) / (L.N.D.					RENO - AT			NA FI-NI1	NAL FLANISSA	T (I.Nima)
SPINTA ATTIVA	FV [kN]	FI [kN] 1'306	Ft [kN]	bl [m]	bh [m] 2.09	MsI [kNm]	2'729		Mt [kNm]	MI [kNm] 2'729	T [kNm]
SOVRACCARICO PERMANENTE	128	34		6.20	3.14	793.60	107			-85	
FRENATURA	120	0		0.20	3.14	793.00	0			0	
SOVRACCARICO ACC	1024.00	272		6.20	3.14		852			5'665	
COVINACIANTO ACC	1024.00	2,2		0.20	0.14		002			0 000	
		SPINT	TA LONG	ITUDINA	LE TERF	RENO - RIF	oso				
condizione	FV [kN]	FI [kN]	Ft [kN]	bl [m]	bh [m]	MsI [kNm]	Mrl [kNm]		Mt [kNm]	MI [kNm]	T [kNm]
SPINTA RIPOSO	0	2'054		6.20	2.09	0	4'294			4'294	
SOVRACCARICO PERMANENTE	128	53		6.20	3.14	794	168			-24	
FRENATURA	•	0			3.14		0			0	
SOVRACCARICO ACC	1024.00	428			3.14		1'341			6'154	
- г	E) / [] ND					ENO - ATT			N 4: F1 N 1 3	N 41 F1 N 1 3	T (1 h) 1
condizione	FV [kN]	FI [kN]	Ft [kN]	bl [m]	bh [m]	Msl [kNm]	Mri [kNm]		Mt [kNm]	MI [kNm]	T [kNm]
RISVOLTI			0		3.42				0	0	
BANDIERE			0		6.27				0	0	
TOTALE			0						0	0	
						ENO - RIP					
condizione	FV [kN]	FI [kN]	Ft [kN]	bl [m]	bh [m]	Msl [kNm]	Mrl [kNm]		Mt [kNm]	MI [kNm]	T [kNm]
RISVOLTI	0		0	3.50	3.42				0	0	
BANDIERE	0		0	4.70	6.27				0	0	
TOTALE			0						0	0	
	SP	INTA TR	ASVERS	ALE TER	RRENO -	ATTIVA so	vraccaric	0			
condizione	FV [kN]	FI [kN]	Ft [kN]	bl [m]	bh [m]	Msl [kNm]	Mrl [kNm]	-	Mt [kNm]	MI [kNm]	T [kNm]
RISVOLTI			0		4.14				0	0	
BANDIERE			0		6.27				0	0	
TOTALE			0						0	0	
	SPI	NTA TRA	ASVERSA	ALE TER	RENO - I	RIPOSO so	ovraccario	:o			
condizione	FV [kN]	FI [kN]	Ft [kN]	bl [m]	bh [m]	Msl [kNm]	Mrl [kNm]		Mt [kNm]	MI [kNm]	T [kNm]
RISVOLTI	0		0	3.50	4.14				0	0	
BANDIERE	0		0	4.70	6.27				0	0	
TOTALE			0						0	0	



SPALLA A – RELAZIONE DI CALCOLO

 COMMESSA
 LOTTO
 CODIFICA
 DOCUMENTO
 REV.
 FOGLIO

 NN1X
 00
 D78CL
 NW 01 00 001
 A
 29 di 76

Sementro			s	ISMA LO	NGITUD	INALE SI	PALLA (+/-	-)			
MFRONTALE	elemento	FV [kN]	FI [kN]						Mt [kNm]	MI [kNm]	T [kNm]
PARACHIAN	PLINTO		1'209			1.00		1'209		1'209	
NUMBER 19 19 19 19 19 19 19 1	M FRONTALE		290			3.05		885		885	
SAPPOLITY 1873	PARAGHIAIA		55			5.19		283		283	
PAROPHICA Parish Parish	MURO LATERALE DI CHIUSURA		0			2.00		0		0	
	RISVOLTI		319			4.12		1'315		1'315	
STATE STAT	BANDIERE		0			0.00		0		0	
	TOTALE		1'873					3'693		3'693	
			;	SISMA T	RASVER	SALE SP	ALLA (+/-))			
MERONTALE	elemento	FV [kN]	FI [kN]	Ft [kN]	bl [m]	bh [m]	Msl [kNm]	Mrl [kNm]	Mt [kNm]	MI [kNm]	T [kNm]
PARCHIANE 155 5.19 2.83 0 0 0 0 0 0 0 0 0											
NURS ATTERNALE DI CHIUSURA S19											
RISVOLT SANDIERE 1315 0 0.00 0.	PARAGHIAIA			55		5.19			283	0	
Part	MURO LATERALE DI CHIUSURA			0		2.00			0	0	
	RISVOLTI			319		4.12			1'315	0	
SISMA VERTICALE SPALLA (+/-)	BANDIERE			0		0.00			0	0	
Elemento	TOTALE			1'873					3'693	0	
Elemento				SISMA	VERTICA	ALE SPA	LLA (+/-)				
PLINTO	elemento	FV [kN]	FI [kN]					Mrl [kNm]	Mt [kNm]	MI [kNm]	T [kNm]
MERONTALE 98											
RARGHAIAM 18											
NURSUATE NAME NURSUATE NAM											
Note											
BANDIERE 0											
TOTALE											
SOVRASPINTA SISMICA TERRENO Image: Normal Image: Normal		-			0.00		-				
FI KN FI KN FI KN FI KN BI DI DI DI DI DI DI DI	TOTALE		OVRASE	INTA SI	SMICA TI	ERRENO		nale SV(+)		147	
SOVRASPINTA SISMICA TERRENO In In In In In In In I		FV [kN]		Ft [kN]	bl [m]		Msl [kNm]		Mt [kNm]		T [kNm]
Elemento FV [kN] FI [kN] SISMICA TERRENO trasversale SV(+)	TERRENO		872			3.14		2'732		2'732	
SOVRASPINTA SISMICA TERRENO trasversale SV(+)											
SOVRASPINTA SISMICA TERRENO trasversale SV(+)		FV [kN]		Ft [kN]	bl [m]		Msl [kNm]		Mt [kNm]		T [kNm]
Elemento	TERRENO		352			3.14		1'105		1'105	
RISVOLTI											
BANDIERE 0 6.27 0 0 0 0 0 0 0 0 0		FV [kN]	FI [kN]		bl [m]		Msl [kNm]	Mrl [kNm]			T [kNm]
SOVRASPINTA SISMICA TERRENO trasversale SV(-) elemento											
SOVRASPINTA SISMICA TERRENO trasversale SV(-) elemento						6.27					
Elemento	TOTALE			0					0	0	
RISVOLTI			SOVRAS	PINTA S	ISMICA	TERREN					
BANDIERE 0 6.27 0 0 0 0 0 0 0 0 0		FV [kN]	FI [kN]		bl [m]		Msl [kNm]	Mrl [kNm]			T [kNm]
TOTALE	RISVOLTI			0		4.14			0	0	
SISMA LONGITUDINALE RIEMPIMENTO (+/-) elemento FV [kN] FI [kN] Ft [kN] bl [m] bh [m] Msl [kNm] Mrl [kNm] 4/499 Mt [kNm] Mt [kNm] 4/499 Mt [kNm] Mt [kNm	BANDIERE			0		6.27			0	0	
Elemento FV [kN] FI [kN] FI [kN] bl [m] bh [m] Msl [kNm] Mrl [kNm] Mt	TOTALE			0					0	0	
Elemento FV [kN] FI [kN] FI [kN] bl [m] bh [m] Msl [kNm] Mrl [kNm] Mt			SISN	//A LONG	SITUDINA	LE RIEM	PIMENTO	(+/-)			
RIEMPIMENTO	elemento	FV [kN]							Mt [kNm]	MI [kNm]	T [kNm]
Elemento	RIEMPIMENTO										
Elemento	SISMATPASVEDSALE DIEMDIMENTO (1/1)										
RIEMPIMENTO	elemento	FV [kN]							Mt [kNm]	MI [kNm1	T [kNm]
elemento FV [kN] FI [kN] Ft [kN] bl [m] bh [m] Msl [kNm] Mrl [kNm] Mt [kNm] Mt [kNm] T [kNm]			[[····]		[111]	F			r
elemento FV [kN] FI [kN] Ft [kN] bl [m] bh [m] Msl [kNm] Mrl [kNm] Mt [kNm] Mt [kNm] T [kNm]				ISMA VE	DTIC AL E	DIEMPI	MENTO (·	(.)			
	elemento	FV [kN]							Mt [kNm]	MI [kNm]	T [kNml



9.1.1 Spinte sulla spalla in condizioni statiche

Nome azione	SPALLA	FI	МІ	Ft	Mt	т	FV	MsI	MrI	Load Type	φ/ψ	Note	comb	Codice Azione
G1 p.p. CLS spalla	PP_spalla	0	2244	0	0	0	9614	42940	0		1.0			1
Peso terreno spalla	PP_terreno	0	-6600	0	0	0	6029	34936	0		1.0			2_2
Spinta a riposo long.	SR-L	2054	4294	0	0	0	0	0	4294		1.0			9a
Spinta a riposo sovraccarico long.	SR-L_sovraccarico PERM	53	-24	0	0	0	128	794	168		1.0			10a
Spinta attiva trasv.	SA-T	0	0	0	0	0	0	0	0		1.0			19
Spinta a riposo trasv.	SR-T	0	0	0	0	0	0	0	0		1.0			19a
Spinta attiva sovraccarico trasv.	SA-T_sovraccarico	0	0	0	0	0	0	0	0		1.0			20
Spinta a riposo sovraccarico trasv.	SR-T_sovraccarico	0	0	0	0	0	0	0	0		1.0			20a
Spinta a riposo sovraccarico long.	SR-L_sovraccarico ACC	428	6154	0	0	0	1024	0	1341		1.0			24a

NN1X

00

D78CL

REV.

Α

NW 01 00 001

1.0

FOGLIO

30 di 76

Azioni in condizioni statiche trasmesse dall'impalcato 9.1.2

0

10400

0

0

0

3151

4412

0

SLE-QP

Azioni Impalcato SLE-QP

					1						
Nome azione	IMPALCATO	FI	МІ	Ft	Mt	т	FV	MsI	Mrl	Load Type	φ/ψ
Combinazione SLU	SLU	569	23437	94	385	0	6395	8953	2333	env	1.0
			•								
Nome azione	IMPALCATO	FI	МІ	Ft	Mt	т	FV	MsI	MrI	Load Type	φ/ψ
Azioni dall'impalcato SLE- R	SLE-R	0	15416	0	0	0	4671	6540	0		1.0
Nome azione	IMPALCATO	FI	МІ	Ft	Mt	Т	FV	MsI	MrI	Load Type	φ/ψ
Azioni dall'impalcato SLE- FR	SLE-FR	0	13532	0	0	0	4101	5741	0		1.0
Nome azione	IMPALCATO	FI	МІ	Ft	Mt	Т	FV	MsI	MrI	Load Type	φ/w



9.1.3 Spinte sulla spalla in condizioni sismiche

Nome azione	SPALLA	FI	МІ	Ft	Mt	т	FV	MsI	Mrl	Load Type	φ/ψ	Note	comb	Codice Azione
G1 p.p. CLS spalla	PP_spalla	0	2244	0	0	0	9614	42940	0		1.0			1
Peso terreno spalla	PP_terreno	0	-6600	0	0	0	6029	34936	0		1.0			2_2
Spinta attiva long.	SA-L	1306	2729	0	0	0	0	0	2729		1.0			9
Spinta attiva sovraccarico long.	SA-L_sovraccarico PERM	34	-85	0	0	0	128	794	107		1.0			10
Spinta attiva trasv.	SA-T	0	0	0	0	0	0	0	0		1.0			19
Spinta a riposo trasv.	SR-T	0	0	0	0	0	0	0	0		1.0			19a
Inerzia long. cls spalla	SIS-L_SPALLA	1873	3693	0	0	0	0	0	3693		1.0			12
Inerzia trasv. cls spalla	SIS-T_SPALLA	0	0	1873	3693	0	0	0	0		1.0			13
Inerzia vert. cls spalla	SIS-V_SPALLA	0	147	0	0	0	630	2813	0		1.0			14
Sovraspinta sismica long. con sisma verticale +	S-SIS-L_SV(+)	872	2732	0	0	0	0	0	2732		1.0			15
Sovraspinta sismica long. con sisma verticale -	S-SIS-L_SV(-)	0	0	0	0	0	0	0	0		0.0			15_1
sovraspinta sismica trasv. con sisma	S-SIS-T_SV(+)	0	0	0	0	0	0	0	0		1.0			21
Soviaspinta sismica trasv. con sisma	S-SIS-T_SV(-)	0	0	0	0	0	0	0	0		0.0			22
Inerzia long. riempimento	SIS-L_RIEMPIMENTO	1093	4499	0	0	0	0	0	4499		1.0			16
Inerzia trasv. riempimento	SIS-T_RIEMPIMENTO	0	0	1093	4499	0	0	0	0		1.0			17
Inerzia vert. riempimento	SIS-V_RIEMPIMENTO	0	-551	0	0	0	367	2277	0		1.0			18

9.1.4 Azioni in condizione sismica trasmesse dall'impalcato

Nome azione	IMPALCATO	FI	МІ	Ft	Mt	т	FV	MsI	MrI	Load Type	φ/ψ
Permanenti strutturali e portati	G1+G2	0	10400	0	0	0	3151	4412	0		1.0
Azione Sismica Longitudinale	EX	2353	9646	0	0	0	0	0	9646	max	0.7
Azione Sismica Trasversale	EY	0	0	1208	4953	0	0	0	0	max	0.7
Azione Sismica Verticale	EZ	0	2959	0	0	0	897	1255	0	max	1.0



SPALLA A - RELAZIONE DI CALCOLO

COMMESSA	LOTTO	CODIFICA	DOCUMENTO	REV.	FOGLIO
NN1X	00	D78CL	NW 01 00 001	Α	32 di 76

9.2 Combinazioni

Le combinazioni di carico, considerate ai fini delle verifiche, sono stabilite in modo da garantire la sicurezza in conformità a quanto prescritto al cap. 2 delle NTC.

Gli stati limite ultimi delle opere interrate si riferiscono allo sviluppo di meccanismi di collasso, determinati dalla mobilitazione della resistenza del terreno, e al raggiungimento della resistenza degli elementi strutturali che compongono l'opera.

Le verifiche agli stati limite ultimi devono essere eseguiti in riferimento ai seguenti stati limite:

SLU di tipo strutturale (STR): raggiungimento della resistenza negli elementi strutturali.

Le verifiche possono essere condotte secondo l'approccio progettuale "Approccio 2", utilizzando i coefficienti parziali riportati nelle Tabelle 6.2.I e 5.1.V delle NTC per i parametri geotecnici e le azioni.

combinazione (A1+M1+R3) generalmente dimensionante per STR

Ai fini delle verifiche degli stati limite ultimi si definiscono le seguenti combinazioni:

STR)
$$\gamma_{G1} G1 + \gamma_{G2} G2 + \gamma_{O1} Qk1 + \Sigma i \psi_{0i} Q_{ki} \quad (\varphi_d' = \varphi_k')$$

Ai fini delle verifiche degli stati limite di esercizio (tensioni e fessurazione) si definiscono le seguenti combinazioni:

Rara)
$$G1+G2+Qk1+\Sigma i \psi_{0i} Q_{ki}$$

Ai fini delle verifiche degli stati limite di esercizio (tensioni e fessurazione) si definiscono le seguenti combinazioni:

Frequente)
$$G1+G2 + \Sigma i \psi_{1i} Q_{ki}$$

Ai fini delle verifiche degli stati limite di esercizio (tensioni fessurazione) si definiscono le seguenti combinazioni:

Quasi permanente)
$$G1+G2 + \psi_{21} Q_{k1} + \Sigma i \psi_{2i} Q_{ki}$$

Per la condizione sismica, le combinazioni per gli stati limite da prendere in considerazione sono le seguenti:

STR)
$$E+G1+G2+\Sigma i \psi_{0i} Q_{ki} \qquad (\varphi_d'=\varphi_k')$$

Gli effetti dell'azione sismica saranno valutati tenendo conto delle masse associate ai seguenti carichi gravitazionali:

G1+G2



 $\textbf{Tab.}\ \textbf{5.1.V} - \textit{Coefficienti parziali di sicurezza per le combinazioni di carico agli SLU}$

, , , , , , , , , , , , , , , , , , ,					
		Coefficiente	EQU ⁽¹⁾	A1	A2
Azioni permanenti g ₁ e g ₃	favorevoli sfavorevoli	γ _{G1} e γ _{G3}	0,90 1,10	1,00 1,35	1,00 1,00
Azioni permanenti non strutturali ⁽²⁾ g ₂	favorevoli sfavorevoli	Υ _{G2}	0,00 1,50	0,00 1,50	0,00 1,30
Azioni variabili da traffico	favorevoli sfavorevoli	ΥQ	0,00 1,35	0,00 1,35	0,00 1,15
Azioni variabili	favorevoli sfavorevoli	ΥQi	0,00 1,50	0,00 1,50	0,00 1,30
Distorsioni e presollecita- zioni di progetto	favorevoli sfavorevoli	$\gamma_{\epsilon 1}$	0,90 1,00 ⁽³⁾	1,00 1,00 ⁽⁴⁾	1,00 1,00
Ritiro e viscosità, Cedimenti vincolari	favorevoli sfavorevoli	Υε2, Υε3, Υε4	0,00 1,20	0,00 1,20	0,00 1,00

Tabella 11: Coefficienti parziali di sicurezza per le combinazioni di carico agli SLU

 $\textbf{Tab. 5.1.VI -} \textit{Coefficienti } \psi \textit{ per le azioni variabili per ponti stradali e pedonali }$

Azioni	Gruppo di azioni (Tab. 5.1.IV)	Coefficiente Ψ ₀ di combi-	Coefficiente Ψ ₁ (valori	Coefficiente ψ_2
	(140. 5.1.17)	nazione	ψ ₁ (valori frequenti)	(valori quasi permanenti)
	Schema 1 (carichi tandem)	0,75	0,75	0,0
	Schemi 1, 5 e 6 (carichi distribuiti	0,40	0,40	0,0
Azioni da traffico	Schemi 3 e 4 (carichi concentrati)	0,40	0,40	0,0
(Tab. 5.1.IV)	Schema 2	0,0	0,75	0,0
	2	0,0	0,0	0,0
	3	0,0	0,0	0,0
	4 (folla)		0,75	0,0
	5	0,0	0,0	0,0
	a ponte scarico SLU e SLE	0,6	0,2	0,0
Vento	in esecuzione	0,8	0,0	0,0
	a ponte carico SLU e SLE	0,6	0,0	0,0
Neve	SLU e SLE	0,0	0,0	0,0
1/6/6	in esecuzione	0,8	0,6	0,5
Temperatura	SLU e SLE	0,6	0,6	0,5
	1		I	

Tabella 12: Coefficienti y per le azioni variabili per ponti stradali e pedonali

Si riportano le tabelle delle combinazioni effettuate per ogni stato limite. Ogni combinazione è stata ripetuta 12 volte per tener conto di tutte le sollecitazione principali dirette dall'impalcato (Pmax, Pmin, V2max, V2min, V3max, V3min, M2max, M2min, M3max, M3min, Tmax, Tmin).

SLE-RARA= 12 combinazioni

SLE-FREQ= 12 combinazioni

SLE-QP= 12 combinazioni

SLU= 24 combinazioni

SLV= 288 combinazioni

Sigla	SLER1
G1	1
G2	1
SLE-R	1
Q1	1

Tabella 13: Combinazione SLE-RARA

Sigla	SLEFR1
G1	1
G2	1
SLE-FR	1
Q1	1

Tabella 14: Combinazione SLE-FREQ

Sigla	SLEQP1
G1	1
G2	1
SLF-OP	1

Tabella 15: Combinazione SLE-QP

Sigla	SLU1	SLU2		
G1	1.35	1		
G2	1.5	0		
Q1	1.35	1.35		
SLU	1	1		

Tabella 16: Combinazione - SLU

Sigla	SIS1	SIS2	SIS3	SIS4	SIS5	SIS6	SIS7	SIS8	SIS9	SIS10	SIS11	SIS12
G1	1	1	1	1	1	1	1	1	1	1	1	1
G2	1	1	1	1	1	1	1	1	1	1	1	1
SX	1	1	-1	-1	1	1	-1	-1	0.3	0.3	-0.3	-0.3
SY	0.3	-0.3	0.3	-0.3	0.3	0.3	-0.3	-0.3	1	-1	1	-1
SZ	0.3	-0.3	0.3	-0.3	0.3	-0.3	0.3	-0.3	0.3	-0.3	0.3	-0.3
-	0	0	0	0	0	0	0	0	0	0	0	0



SIS13	SIS14	SIS15	SIS16	SIS17	SIS18	SIS19	SIS20	SIS21	SIS22	SIS23	SIS24
1	1	1	1	1	1	1	1	1	1	1	1
1	1	1	1	1	1	1	1	1	1	1	1
0.3	0.3	-0.3	-0.3	0.3	0.3	-0.3	-0.3	0.3	0.3	-0.3	-0.3
1	1	-1	-1	0.3	-0.3	0.3	-0.3	0.3	0.3	-0.3	-0.3
0.3	-0.3	0.3	-0.3	1	-1	1	-1	1	-1	1	-1
0	0	0	0	0	0	0	0	0	0	0	0

Tabella 17: Combinazione SLV



9.3 Sollecitazioni

9.3.1 Sollecitazioni base plinto

Nelle seguenti tabelle si riportano i valori delle sollecitazioni a base plinto per ogni condizione massima e minima studiata:

	COMB. SLU												
Cond.	FV	MI	Mt	FI	Pt	Т	MsI	Mrl	lmp	Comb	Ind		
-	[kN]	[kNm]	[kNm]	[kN]	[kN]	[kNm]	[kNm]	[kNm]	-	-	-		
Fvmax	29086.9	31624.5	384.544	4000.3	93.78	0.0131	115276	10191.9	FVmax	SLU1	1		
Fvmin	21367.9	22577.5	0.0457	2631.94	0	0.0131	83955.9	6104.25	FV min	SLU2	14		
Flmax	29086.9	31624.5	384.544	4000.3	93.78	0.0131	115276	10191.9	FVmax	SLU1	1		
Flmin	21367.9	22577.5	0.0457	2631.94	0	0.0131	83955.9	6104.25	FV min	SLU2	14		
Mlmax	23420	31682.7	384.544	3201.05	93.78	0.0131	86828.8	8437.6	FVmax	SLU2	2		
Mlmin	27034.8	22519.3	0.0457	3431.19	0	0.0131	112403	7858.52	FV min	SLU1	13		
Ftmax	29086.9	31624.5	384.544	4000.3	93.78	0.0131	115276	10191.9	FVmax	SLU1	1		
Ftmin	27034.8	22519.3	0.0457	3431.19	0	0.0131	112403	7858.52	FV min	SLU1	13		
Mtmax	29086.9	31624.5	384.544	4000.3	93.78	0.0131	115276	10191.9	FVmax	SLU1	1		
Mtmin	27034.8	22519.3	0.0457	3431.19	0	0.0131	112403	7858.52	FVmin	SLU1	13		
Np max	29086.9	31624.5	384.544	4000.3	93.78	0.0131	115276	10191.9	FVmax	SLU1	1		
Np min	23420	31682.7	384.544	3201.05	93.78	0.0131	86828.8	8437.6	FVmax	SLU2	2		

COMB. SISMICA												
Cond.	FV	MI	Mt	FI	Pt	Т	MsI	Mrl	lmp	Comb	Ind	
-	[kN]	[kNm]	[kNm]	[kN]	[kN]	[kNm]	[kNm]	[kNm]	-	-	- }	
Fvmax	20516.7	16426.7	3943.46	3196.55	1252.18	0.00262	89008	9006.1	FVmax	SIS17	17	
Fvmin	17327.4	12801.5	-3943.4	3040.82	-1252.2	0.00262	77154.8	8517.79	FVmax	SIS18	18	
Flmax	19400.4	29727.4	3943.48	7529.52	1252.18	0.00873	84859.4	23404.8	FVmax	SIS1	1	
Flmin	19400.4	-8679.4	3943.42	-3978.9	1252.18	-0.0087	84859.4	-15002	FVmax	SIS3	3	
Mlmax	19400.4	29727.4	3943.48	7529.52	1252.18	0.00873	84859.4	23404.8	FVmax	SIS1	1	
Mlmin	18443.6	-9620.6	-3943.5	-3978.9	-1252.2	-0.0087	81303.5	-15002	FVmax	SIS4	4	
Ftmax	19400.4	15328.9	13144.8	3196.55	4173.94	0.00262	84859.4	9006.25	FVmax	SIS9	9	
Ftmin	18443.6	13899.3	-13145	3040.82	-4173.9	0.00262	81303.5	8517.64	FVmax	SIS10	10	
Mtmax	19400.4	15328.9	13144.8	3196.55	4173.94	0.00262	84859.4	9006.25	FVmax	SIS9	9	
Mtmin	18443.6	2865.41	-13145	-255.98	-4173.9	-0.0026	81303.5	-2516.2	FVmax	SIS12	12	
Np max	19400.4	29727.4	3943.48	7529.52	1252.18	0.00873	84859.4	23404.8	FVmax	SIS1	1	
Np min	19400.4	29727.4	3943.48	7529.52	1252.18	0.00873	84859.4	23404.8	FVmax	SIS1	1	



SPALLA A – RELAZIONE DI CALCOLO

COMMESSA LOTTO CODIFICA DOCUMENTO REV. NN1X

00 D78CL NW 01 00 001 Α 37 di 76

FOGLIO

				CC	MB.	SLE-	CAR				
Cond.	FV	MI	Mt	FI	Pt	Т	MsI	Mrl	lmp	Comb	Ind
-	[kN]	[kNm]	[kNm]	[kN]	[kN]	[kNm]	[kNm]	[kNm]	-	-	-
Fvmax	21338.1	21507.9	0	2482.21	0	0	84415.9	5634.86	FVmax	SLER1	1
Fvmin	21338.1	21507.9	0	2482.21	0	0	84415.9	5634.86	FVmax	SLER1	1
Flmax	21338.1	21507.9	0	2482.21	0	0	84415.9	5634.86	FVmax	SLER1	1
Flmin	21338.1	21507.9	0	2482.21	0	0	84415.9	5634.86	FVmax	SLER1	1
Mlmax	21338.1	21507.9	0	2482.21	0	0	84415.9	5634.86	FVmax	SLER1	1
Mlmin	21338.1	21507.9	0	2482.21	0	0	84415.9	5634.86	FVmax	SLER1	1
Ftmax	21338.1	21507.9	0	2482.21	0	0	84415.9	5634.86	FVmax	SLER1	1
Ftmin	21338.1	21507.9	0	2482.21	0	0	84415.9	5634.86	FVmax	SLER1	1
Mtmax	21338.1	21507.9	0	2482.21	0	0	84415.9	5634.86	FVmax	SLER1	1
Mtmin	21338.1	21507.9	0	2482.21	0	0	84415.9	5634.86	FVmax	SLER1	1
Np max	21338.1	21507.9	0	2482.21	0	0	84415.9	5634.86	FVmax	SLER1	1
Np min	21338.1	21507.9	0	2482.21	0	0	84415.9	5634.86	FVmax	SLER1	1

			С	OMB.	SLE	-FRE	QUEN	TE			
Cond.	FV	MI	Mt	FI	Pt	Т	MsI	Mrl	lmp	Comb	Ind
-	[kN]	[kNm]	[kNm]	[kN]	[kN]	[kNm]	[kNm]	[kNm]	-	-	-
Fvmax	20767.1	19623.9	0	2482.21	0	0	83616.6	5634.86	FVmax	SLEFR1	1
Fvmin	20767.1	19623.9	0	2482.21	0	0	83616.6	5634.86	FVmax	SLEFR1	1
Flmax	20767.1	19623.9	0	2482.21	0	0	83616.6	5634.86	FVmax	SLEFR1	1
Flmin	20767.1	19623.9	0	2482.21	0	0	83616.6	5634.86	FVmax	SLEFR1	1
Mlmax	20767.1	19623.9	0	2482.21	0	0	83616.6	5634.86	FVmax	SLEFR1	1
Mlmin	20767.1	19623.9	0	2482.21	0	0	83616.6	5634.86	FVmax	SLEFR1	1
Ftmax	20767.1	19623.9	0	2482.21	0	0	83616.6	5634.86	FVmax	SLEFR1	1
Ftmin	20767.1	19623.9	0	2482.21	0	0	83616.6	5634.86	FVmax	SLEFR1	1
Mtmax	20767.1	19623.9	0	2482.21	0	0	83616.6	5634.86	FVmax	SLEFR1	1
Mtmin	20767.1	19623.9	0	2482.21	0	0	83616.6	5634.86	FVmax	SLEFR1	1
Np max	20767.1	19623.9	0	2482.21	0	0	83616.6	5634.86	FVmax	SLEFR1	1
Np min	20767.1	19623.9	0	2482.21	0	0	83616.6	5634.86	FVmax	SLEFR1	1

		C	ОМЕ	B. SLE	-QUA	SI PE	ERMA	NENT	Έ		
Cond.	FV	MI	Mt	FI	Pt	Т	MsI	Mrl	lmp	Comb	Ind
-	[kN]	[kNm]	[kNm]	[kN]	[kN]	[kNm]	[kNm]	[kNm]	-	-	-
Fvmax	18794	10337.9	0	2054.42	0	0	82287.8	4293.74	FVmax	SLEQP1	1
Fvmin	18794	10337.9	0	2054.42	0	0	82287.8	4293.74	FVmax	SLEQP1	1
Flmax	18794	10337.9	0	2054.42	0	0	82287.8	4293.74	FVmax	SLEQP1	1
Flmin	18794	10337.9	0	2054.42	0	0	82287.8	4293.74	FVmax	SLEQP1	1
Mlmax	18794	10337.9	0	2054.42	0	0	82287.8	4293.74	FVmax	SLEQP1	1
Mlmin	18794	10337.9	0	2054.42	0	0	82287.8	4293.74	FVmax	SLEQP1	1
Ftmax	18794	10337.9	0	2054.42	0	0	82287.8	4293.74	FVmax	SLEQP1	1
Ftmin	18794	10337.9	0	2054.42	0	0	82287.8	4293.74	FVmax	SLEQP1	1
Mtmax	18794	10337.9	0	2054.42	0	0	82287.8	4293.74	FVmax	SLEQP1	1
Mtmin	18794	10337.9	0	2054.42	0	0	82287.8	4293.74	FVmax	SLEQP1	1
Np max	18794	10337.9	0	2054.42	0	0	82287.8	4293.74	FVmax	SLEQP1	1
Np min	18794	10337.9	0	2054.42	0	0	82287.8	4293.74	FVmax	SLEQP1	1



9.3.2 Sollecitazioni in testa palo

Le sollecitazioni agenti in testa palo vengono calcolate nell'ipotesi di platea di fondazione infinitamente rigida, attraverso la relazione

$$R(x,y) = \frac{N}{n} + \frac{M_l}{J_l} \cdot y + \frac{M_t}{J_t} \cdot x$$

Dove:

 N, M_1, M_t sono lo sforzo normale e i momenti flettenti longitudinale e trasversale agenti al baricentro della palificata, n è il numero di pali e Jl, Jt sono le inerzie longitudinale e trasversale della palificata

$$J_l = \sum y_i^2 \qquad \qquad J_t = \sum x_i^2$$

Per quanto riguarda le sollecitazioni orizzontali in testa palo, si assume che le azioni di taglio di ripartiscano uniformemente tra i pali, risultando

$$T(x,y) = \frac{\sqrt{H_l^2 + H_t^2}}{n}$$

dove H_1, H_2

sono le forze orizzontali longitudinale e trasversale agenti al baricentro della palificata.

Il valore del momento in testa al palo viene calcolato secondo l'ipotesi di palo impedito di ruotare in sommità per il quale vale la seguente relazione:

Mmax=H Lo /2

Dove:

Hè il taglio massimo in testa al palo

Lo = $(4EJ / Es)^{1/4}$ è detta "lunghezza elastica del palo"

EJ è la rigidezza flessionale del palo

Es= KB = modulo di elasticità del suolo

B = 1.5 D

In prima approssimazione K e quindi Es, si ammettono costanti con la profondità del terreno.



K = 1.67 E / D coefficiente di sottofondo

E = Modulo di rigidezza secante del terreno.

Plinto di fondazione

Altezza plinto	2.00	m	
Dimensione long.fondazione	9.40	m	
Dimensione trasv. fondazione	13.20	_ m	
Inclinazione plinto	0.00	0	
Sbalzo anteriore	0.80	m	
Sbalzo posteriore	6.40	m	
Altezza terreno ricoprimento	2.10	m	
Altezza terreno riempimento	4.27		

Palificata

Diametro dei pali	1200.00	mm
Modulo di Elasticità del suolo	145.29	N/mm ²
Area palo	1.13	m2
W flessione palo elastico	0.17	m3
L0	6.13	m
Numero di pali totale	12.00	
Modulo long.minimo palo	28.80	m
Modulo trasv.minimo palo	36.00	_ m
elong	0.00	m
etrasv	0.00	m
Inclinazione palificata	0.00	0

Inerzia Palo	1.63E+12	mm⁴
Modulo Rigidezza Cls E	31447	N/mm ²
Modulo Rigidezza Terreno E	58	N/mm ²
Coefficiente di sottofondo Kh	80717	kN/m ³
Larghezza B	1800.00	mm



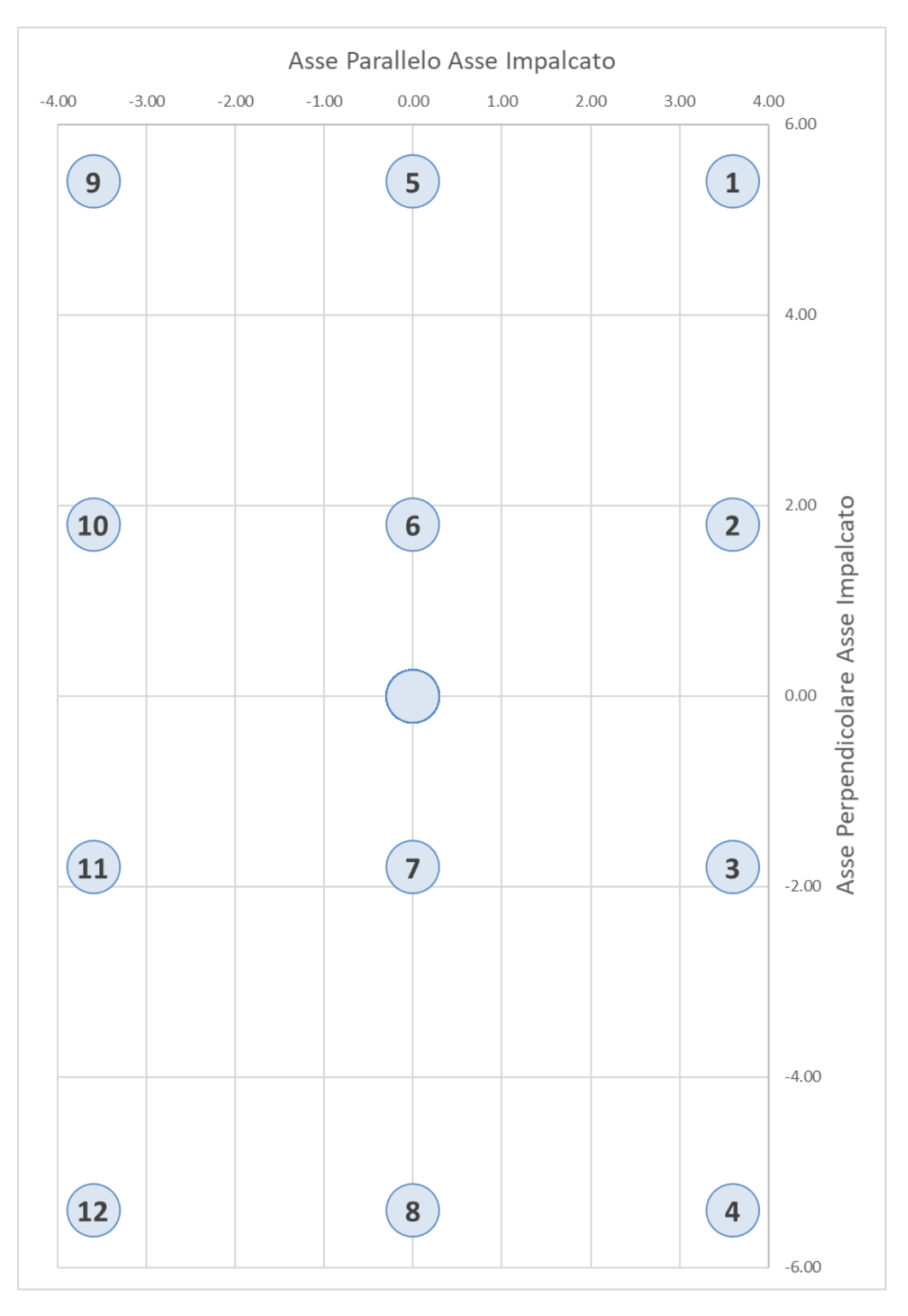


Figura 9: Disposizione Pali



SPALLA A - RELAZIONE DI CALCOLO

SLU

 COMMESSA
 LOTTO
 CODIFICA
 DOCUMENTO
 REV.
 FOGLIO

 NN1X
 00
 D78CL
 NW 01 00 001
 A
 41 di 76

Cond.	Comb	1	2	3	4	5	6	7	8	9	10	11	12
-	-	kN	kN	kN	kN	kN	kN	kN	kN	kN	kN	kN	kN
Fvmax	SLU1	3533	3526	3518	3511	2435	2427	2420	2413	1337	1329	1322	1315
Fvmin	SLU2	2565	2565	2565	2565	1781	1781	1781	1781	997	997	997	997
Flmax	SLU1	3533	3526	3518	3511	2435	2427	2420	2413	1337	1329	1322	1315
Flmin	SLU2	2565	2565	2565	2565	1781	1781	1781	1781	997	997	997	997
Mlmax	SLU2	3062	3055	3048	3041	1962	1955	1948	1941	862	855	848	841
Mlmin	SLU1	3035	3035	3035	3035	2253	2253	2253	2253	1471	1471	1471	1471
Ftmax	SLU1	3533	3526	3518	3511	2435	2427	2420	2413	1337	1329	1322	1315
Ptmin	SLU1	3035	3035	3035	3035	2253	2253	2253	2253	1471	1471	1471	1471
Mtmax	SLU1	3533	3526	3518	3511	2435	2427	2420	2413	1337	1329	1322	1315
Mtmin	SLU1	3035	3035	3035	3035	2253	2253	2253	2253	1471	1471	1471	1471
Np max	SLU1	3533	3526	3518	3511	2435	2427	2420	2413	1337	1329	1322	1315
Np min	SLU2	3062	3055	3048	3041	1962	1955	1948	1941	862	855	848	841
SIS													
SIS Cond.	Comb	1	2	3	4	5	6	7	8	9	10	11	12
	Comb -	1 kN	2 kN	3 kN	4 kN	5 kN	6 kN	7 kN	8 kN	9 kN	10 kN	11 kN	12 kN
Cond.	-	kN	kN	kN	kN	kN	kN	kN	kN	kN	kN	kN	kN
Cond. - Fvmax	- SIS17	kN 2390	kN 2317	kN 2244	kN 2171	kN 1819	kN 1746	kN 1673	kN 1600	kN 1249	kN 1176	kN 1103	kN 1030
Cond. - Fvmax Fvmin	- SIS17 SIS18	kN 2390 1779	kN 2317 1852	kN 2244 1925	kN 2171 1998	kN 1819 1334	kN 1746 1407	kN 1673 1480	kN 1600 1553	kN 1249 890	kN 1176 963	kN 1103 1036	kN 1030 1109
Cond Fvmax Fvmin Flmax	- SIS17 SIS18 SIS1	kN 2390 1779 2758	kN 2317 1852 2685	kN 2244 1925 2612	kN 2171 1998 2539	kN 1819 1334 1726	kN 1746 1407 1653	kN 1673 1480 1580	kN 1600 1553 1507	kN 1249 890 694	kN 1176 963 621	kN 1103 1036 548	kN 1030 1109 475
Cond Fvmax Fvmin Flmax Flmin	- SIS17 SIS18 SIS1 SIS3	kN 2390 1779 2758 1425	kN 2317 1852 2685 1352	kN 2244 1925 2612 1279	kN 2171 1998 2539 1206	kN 1819 1334 1726 1726	kN 1746 1407 1653 1653	kN 1673 1480 1580 1580	kN 1600 1553 1507 1507	kN 1249 890 694 2028	kN 1176 963 621 1955	kN 1103 1036 548 1882	kN 1030 1109 475 1809
Cond Fvmax Fvmin Flmax Flmin Mlmax	- SIS17 SIS18 SIS1 SIS3 SIS1	2390 1779 2758 1425 2758	kN 2317 1852 2685 1352 2685	2244 1925 2612 1279 2612	kN 2171 1998 2539 1206 2539	kN 1819 1334 1726 1726 1726	kN 1746 1407 1653 1653	kN 1673 1480 1580 1580	kN 1600 1553 1507 1507	kN 1249 890 694 2028 694	kN 1176 963 621 1955 621	kN 1103 1036 548 1882 548	kN 1030 1109 475 1809 475
Cond Fvmax Fvmin Flmax Flmin Mlmax Mlmin	- SIS17 SIS18 SIS1 SIS3 SIS1 SIS4	2390 1779 2758 1425 2758 1093	2317 1852 2685 1352 2685 1166	2244 1925 2612 1279 2612 1239	kN 2171 1998 2539 1206 2539 1312	kN 1819 1334 1726 1726 1726 1427	kN 1746 1407 1653 1653 1653	kN 1673 1480 1580 1580 1580 1573	kN 1600 1553 1507 1507 1507 1647	kN 1249 890 694 2028 694 1761	kN 1176 963 621 1955 621 1835	kN 1103 1036 548 1882 548 1908	kN 1030 1109 475 1809 475 1981
Cond Fvmax Fvmin Flmax Flmin Mlmax Mlmin Ftmax	- SIS17 SIS18 SIS1 SIS3 SIS1 SIS4 SIS9	2390 1779 2758 1425 2758 1093 2514	2317 1852 2685 1352 2685 1166 2271	2244 1925 2612 1279 2612 1239 2027	kN 2171 1998 2539 1206 2539 1312 1784	kN 1819 1334 1726 1726 1726 1427 1982	kN 1746 1407 1653 1653 1653 1500 1738	kN 1673 1480 1580 1580 1580 1573 1495	kN 1600 1553 1507 1507 1507 1647 1252	890 694 2028 694 1761 1450	kN 1176 963 621 1955 621 1835 1206	kN 1103 1036 548 1882 548 1908 963	kN 1030 1109 475 1809 475 1981 719
Cond Fvmax Fvmin Flmax Flmin Mlmax Mlmin Ftmax Rmin	- SIS17 SIS18 SIS1 SIS3 SIS1 SIS4 SIS9 SIS10	2390 1779 2758 1425 2758 1093 2514 1654	2317 1852 2685 1352 2685 1166 2271 1898	2244 1925 2612 1279 2612 1239 2027 2141	2171 1998 2539 1206 2539 1312 1784 2385	1819 1334 1726 1726 1726 1427 1982 1172	1746 1407 1653 1653 1653 1500 1738 1415	kN 1673 1480 1580 1580 1573 1495 1659	1600 1553 1507 1507 1507 1507 1647 1252 1902	kN 1249 890 694 2028 694 1761 1450 689	kN 1176 963 621 1955 621 1835 1206 933	1103 1036 548 1882 548 1908 963 1176	1030 1109 475 1809 475 1981 719 1419
Cond Fvmax Fvmin Flmax Flmin Mlmax Mlmin Ftmax Ftmin Mtmax	- SIS17 SIS18 SIS1 SIS3 SIS1 SIS4 SIS9 SIS10 SIS9	2390 1779 2758 1425 2758 1093 2514 1654 2514	2317 1852 2685 1352 2685 1166 2271 1898 2271	2244 1925 2612 1279 2612 1239 2027 2141 2027	2171 1998 2539 1206 2539 1312 1784 2385 1784	1819 1334 1726 1726 1726 1427 1982 1172 1982	kN 1746 1407 1653 1653 1653 1500 1738 1415 1738	1673 1480 1580 1580 1580 1573 1495 1659 1495	kN 1600 1553 1507 1507 1507 1647 1252 1902 1252	890 694 2028 694 1761 1450 689 1450	kN 1176 963 621 1955 621 1835 1206 933 1206	1103 1036 548 1882 548 1908 963 1176 963	1030 1109 475 1809 475 1981 719 1419 719

SLU		
N _{max}	N _{min}	H _{max}
kN	kN	kN
3533	841	333

313		
N _{max}	N _{min}	H _{max}
kN	kN	kN
2758	475	636

Tabella 18: Scarichi dei pali in condizioni di esercizio e in sismica

Le condizioni Np max e Np min sono le condizioni che massimizzano e minimizzano il carico assiale sul palo.



LINEA SALERNO – PONTECAGNANO AEROPORTO

COMPLETAMENTO METROPOLITANA DI SALERNO TRATTA ARECHI – PONTECAGNANO AEROPORTO

SPALLA A - RELAZIONE DI CALCOLO

COMMESSA L

LOTTO CODIFICA

00 D78CL

DOCUMENTO NW 01 00 001 REV. FOGLIO

Α

42 di 76

SLE-R													
Cond.	Comb	1	2	3	4	5	6	7	8	9	10	11	12
-	•	kN											
Fvmax	SLER1	2525	2525	2525	2525	1778	1778	1778	1778	1031	1031	1031	1031
Fvmin	SLER1	2525	2525	2525	2525	1778	1778	1778	1778	1031	1031	1031	1031
Flmax	SLER1	2525	2525	2525	2525	1778	1778	1778	1778	1031	1031	1031	1031
Flmin	SLER1	2525	2525	2525	2525	1778	1778	1778	1778	1031	1031	1031	1031
Mlmax	SLER1	2525	2525	2525	2525	1778	1778	1778	1778	1031	1031	1031	1031
Mlmin	SLER1	2525	2525	2525	2525	1778	1778	1778	1778	1031	1031	1031	1031
Ftmax	SLER1	2525	2525	2525	2525	1778	1778	1778	1778	1031	1031	1031	1031
Ftmin	SLER1	2525	2525	2525	2525	1778	1778	1778	1778	1031	1031	1031	1031
Mtmax	SLER1	2525	2525	2525	2525	1778	1778	1778	1778	1031	1031	1031	1031
Mtmin	SLER1	2525	2525	2525	2525	1778	1778	1778	1778	1031	1031	1031	1031
Np max	SLER1	2525	2525	2525	2525	1778	1778	1778	1778	1031	1031	1031	1031
Np min	SLER1	2525	2525	2525	2525	1778	1778	1778	1778	1031	1031	1031	1031

SLE-FR

Cond.	Comb	1	2	3	4	5	6	7	8	9	10	11	12
-	-	kN											
Fvmax	SLEFR1	2412	2412	2412	2412	1731	1731	1731	1731	1049	1049	1049	1049
Fvmin	SLEFR1	2412	2412	2412	2412	1731	1731	1731	1731	1049	1049	1049	1049
Flmax	SLEFR1	2412	2412	2412	2412	1731	1731	1731	1731	1049	1049	1049	1049
Flmin	SLEFR1	2412	2412	2412	2412	1731	1731	1731	1731	1049	1049	1049	1049
Mlmax	SLEFR1	2412	2412	2412	2412	1731	1731	1731	1731	1049	1049	1049	1049
Mlmin	SLEFR1	2412	2412	2412	2412	1731	1731	1731	1731	1049	1049	1049	1049
Ftmax	SLEFR1	2412	2412	2412	2412	1731	1731	1731	1731	1049	1049	1049	1049
Ptmin	SLEFR1	2412	2412	2412	2412	1731	1731	1731	1731	1049	1049	1049	1049
Mtmax	SLEFR1	2412	2412	2412	2412	1731	1731	1731	1731	1049	1049	1049	1049
Mtmin	SLEFR1	2412	2412	2412	2412	1731	1731	1731	1731	1049	1049	1049	1049
Np max	SLEFR1	2412	2412	2412	2412	1731	1731	1731	1731	1049	1049	1049	1049
Np min	SLEFR1	2412	2412	2412	2412	1731	1731	1731	1731	1049	1049	1049	1049

SLE-QP

Cond.	Comb	1	2	3	4	5	6	7	8	9	10	11	12
-		kN											
Fvmax	SLEQP1	1925	1925	1925	1925	1566	1566	1566	1566	1207	1207	1207	1207
Fvmin	SLEQP1	1925	1925	1925	1925	1566	1566	1566	1566	1207	1207	1207	1207
Flmax	SLEQP1	1925	1925	1925	1925	1566	1566	1566	1566	1207	1207	1207	1207
Flmin	SLEQP1	1925	1925	1925	1925	1566	1566	1566	1566	1207	1207	1207	1207
Mlmax	SLEQP1	1925	1925	1925	1925	1566	1566	1566	1566	1207	1207	1207	1207
Mlmin	SLEQP1	1925	1925	1925	1925	1566	1566	1566	1566	1207	1207	1207	1207
Ftmax	SLEQP1	1925	1925	1925	1925	1566	1566	1566	1566	1207	1207	1207	1207
Ftmin	SLEQP1	1925	1925	1925	1925	1566	1566	1566	1566	1207	1207	1207	1207
Mtmax	SLEQP1	1925	1925	1925	1925	1566	1566	1566	1566	1207	1207	1207	1207
Mtmin	SLEQP1	1925	1925	1925	1925	1566	1566	1566	1566	1207	1207	1207	1207
Np max	SLEQP1	1925	1925	1925	1925	1566	1566	1566	1566	1207	1207	1207	1207
Np min	SLEQP1	1925	1925	1925	1925	1566	1566	1566	1566	1207	1207	1207	1207

Tabella 19: Scarichi dei pali in condizioni degli Stati Limite di Esercizio



9.3.3 Sollecitazioni muro frontale

Si riportano di seguito le sollecitazioni alla base del muro frontale, calcolate con gli stessi criteri delle forze a intradosso plinto, solo che ora l'altezza di riferimento è a intradosso muro frontale e si considera solo una striscia di metro di sezione su cui si eseguiranno le verifiche:

				(COME	B. SLI
Cond.	FV	MI	Mt	FI	Ft	Т
-	[kN]	[kNm]	[kNm]	[kN]	[kN]	[kNm]
Fvmax	680.95	521.17	15.27	174.32	7.27	0.00
Fvmin	473.86	319.02	0.00	104.35	0.00	0.00
Flmax	680.95	521.17	15.27	174.32	7.27	0.00
Flmin	473.86	319.02	0.00	104.35	0.00	0.00
Mlmax	680.95	521.17	15.27	174.32	7.27	0.00
Mlmin	473.86	319.02	0.00	104.35	0.00	0.00
Ftmax	680.95	521.17	15.27	174.32	7.27	0.00
Ftmin	521.88	348.98	0.00	130.20	0.00	0.00
Mtmax	680.95	521.17	15.27	174.32	7.27	0.00
Mtmin	521.88	348.98	0.00	130.20	0.00	0.00
Tmax	680.95	521.17	15.27	174.32	7.27	0.00
Tmin	680.95	521.17	15.27	174.32	7.27	0.00

				СО	MB.	SISM
Cond.	FV	MI	Mt	FI	Pt	Т
-	[kN]	[kNm]	[kNm]	[kN]	[kN]	[kNm]
Fvmax	215.69	471.48	99.63	219.48	50.16	0.00
Fvmin	58.71	404.53	-99.63	219.48	-50.16	0.00
Flmax	160.75	1270.33	99.63	559.26	50.16	0.00
Flmin	160.75	-835.41	99.63	-400.69	50.16	0.00
Mlmax	160.75	1270.33	99.63	559.26	50.16	0.00
Mlmin	113.65	-855.50	-99.63	-400.69	-50.16	0.00
Ftmax	160.75	448.07	332.10	219.48	167.21	0.00
Ftmin	113.65	427.94	-332.10	219.48	-167.21	0.00
Mtmax	160.75	448.07	332.10	219.48	167.21	0.00
Mtmin	113.65	-277.37	-332.10	-120.21	-167.21	0.00
Tmax	160.75	1270.33	99.63	559.26	50.16	0.00
Tmin	160.75	-835.41	99.63	-400.69	50.16	0.00

Tabella 20: Sollecitazioni muro frontale allo SLU e SLV



SPALLA A - RELAZIONE DI CALCOLO

 COMMESSA
 LOTTO
 CODIFICA
 DOCUMENTO
 REV.
 FOGLIO

 NN1X
 00
 D78CL
 NW 01 00 001
 A
 44 di 76

	COMB. SLE-CAR								
Cond.	FV	MI	Mt	FI	Pt	Т		lmp	Comb
-	[kN]	[kNm]	[kNm]	[kN]	[kN]	[kNm]		-	-
Fvmax	499.33	314.88	0.00	96.45	0.00	0.00		FVmax	SLER1
Fvmin	499.33	314.88	0.00	96.45	0.00	0.00		FVmax	SLER1
Flmax	499.33	314.88	0.00	96.45	0.00	0.00		FVmax	SLER1
Flmin	499.33	314.88	0.00	96.45	0.00	0.00		FVmax	SLER1
Mlmax	499.33	314.88	0.00	96.45	0.00	0.00		FVmax	SLER1
Mlmin	499.33	314.88	0.00	96.45	0.00	0.00		FVmax	SLER1
Ftmax	499.33	314.88	0.00	96.45	0.00	0.00		FVmax	SLER1
Ftmin	499.33	314.88	0.00	96.45	0.00	0.00		FVmax	SLER1
Mtmax	499.33	314.88	0.00	96.45	0.00	0.00		FVmax	SLER1
Mtmin	499.33	314.88	0.00	96.45	0.00	0.00		FVmax	SLER1
Tmax	499.33	314.88	0.00	96.45	0.00	0.00		FVmax	SLER1
Tmin	499.33	314.88	0.00	96.45	0.00	0.00		FVmax	SLER1
	·								
				OMP	SI E	EDE/	QUENTE		
Cond.	FV	MI	Mt	OIVID.	SLE.	T	XUENIE	lmn	Comb
Jonu.	[kN]	[kNm]	[kNm]	[kN]	[kN]	[kNm]		Imp	COIIID
- Fumou	455.07	268.64	0.00	85.15	0.00	0.00		- D/mov	SLEFR1
Fvmax Fvmin		268.64						FV max FV max	.
	455.07		0.00	85.15	0.00	0.00			SLEFR1
Flmax Flmin	455.07 455.07	268.64 268.64	0.00	85.15 85.15	0.00	0.00		FV max FV max	SLEFR1
			0.00						SLEFR1
Mmax	455.07	268.64	0.00	85.15	0.00	0.00		FV max	
Mimin	455.07 455.07	268.64 268.64	0.00	85.15	0.00	0.00		FV max FV max	SLEFR1
Ftmax			0.00	85.15					SLEFR1
Ftmin	455.07	268.64	0.00	85.15	0.00	0.00		FV max	SLEFR1
Mtmax	455.07	268.64	0.00	85.15	0.00	0.00		FVmax	SLEFR1
Mtmin	455.07	268.64	0.00	85.15	0.00	0.00		FVmax	SLEFR1
Tmax	455.07	268.64	0.00	85.15	0.00	0.00		FV max	SLEFR1
Tmin	455.07	268.64	0.00	85.15	0.00	0.00		FVmax	SLEFR1
							DM ANEN		
		C	OME	B. SLE	-QUA	ISI PE	ERMANEN'	ΓE	
Cond.	FV	MI	OME Mt	S. SLE	-QUA	SI PE	RIVIAINEIN	I E	Comb
Cond.	FV [kN]						RIVIANEN	_	Comb
Cond. - Fvmax		MI	Mt	Fl	Ft	Т	RIVIANEN	_	Comb - SLEQP1
-	[kN]	MI [kNm]	Mt [kNm]	FI [kN]	Ft [kN]	T [kNm]	RIVIANEN	lmp -	-
- Fvmax	[kN] 381.50	MI [kNm] 207.75	Mt [kNm] 0.00	FI [kN] 73.86	Ft [kN] 0.00	T [kNm] 0.00	<u>-RWANEN</u>	Imp - FVmax	- SLEQP1
- Fvmax Fvmin	[kN] 381.50 381.50	MI [kNm] 207.75 207.75	Mt [kNm] 0.00 0.00	FI [kN] 73.86 73.86	Ft [kN] 0.00 0.00	T [kNm] 0.00 0.00	<u>ERWANEN</u>	Imp - FVmax FVmax	- SLEQP1 SLEQP1
- Fvmax Fvmin Flmax	[kN] 381.50 381.50 381.50	MI [kNm] 207.75 207.75 207.75	Mt [kNm] 0.00 0.00 0.00	FI [kN] 73.86 73.86	Pt [kN] 0.00 0.00 0.00	T [kNm] 0.00 0.00 0.00	ERWANEN	Imp - FVmax FVmax FVmax	SLEQP1 SLEQP1 SLEQP1
Fvmax Fvmin Flmax Flmin Mlmax	[kN] 381.50 381.50 381.50 381.50 381.50	MI [kNm] 207.75 207.75 207.75 207.75 207.75	Mt [kNm] 0.00 0.00 0.00 0.00 0.00	FI [kN] 73.86 73.86 73.86 73.86 73.86	Ft [kN] 0.00 0.00 0.00 0.00 0.00	T [kNm] 0.00 0.00 0.00 0.00 0.00	ERWANEN	Imp - FVmax FVmax FVmax FVmax FVmax FVmax	SLEQP1 SLEQP1 SLEQP1 SLEQP1 SLEQP1
Fvmax Fvmin Flmax Flmin Mlmax Mlmin	[kN] 381.50 381.50 381.50 381.50 381.50	MI [kNm] 207.75 207.75 207.75 207.75 207.75	Mt [kNm] 0.00 0.00 0.00 0.00 0.00 0.00	FI [kN] 73.86 73.86 73.86 73.86 73.86 73.86	Ft [kN] 0.00 0.00 0.00 0.00 0.00 0.00	T [kNm] 0.00 0.00 0.00 0.00 0.00 0.00	EKWANEN	FVmax FVmax FVmax FVmax FVmax FVmax FVmax	SLEQPI SLEQPI SLEQPI SLEQPI SLEQPI SLEQPI
Fvmax Fvmin Flmax Flmin Mlmax Mlmin Ftmax	[kN] 381.50 381.50 381.50 381.50 381.50 381.50	MI [kNm] 207.75 207.75 207.75 207.75 207.75 207.75 207.75	Mt [kNm] 0.00 0.00 0.00 0.00 0.00 0.00 0.00 0.	FI [kN] 73.86 73.86 73.86 73.86 73.86 73.86 73.86 73.86	Ft [kN] 0.00 0.00 0.00 0.00 0.00 0.00 0.00 0.	T [kNm] 0.00 0.00 0.00 0.00 0.00 0.00	EKWANEN	Imp - FVmax FVmax FVmax FVmax FVmax FVmax FVmax FVmax	SLEQP1 SLEQP1 SLEQP1 SLEQP1 SLEQP1 SLEQP1 SLEQP1
Fvmax Fvmin Flmax Flmin Mlmax Mlmin Ftmax Ftmin	[kN] 381.50 381.50 381.50 381.50 381.50 381.50 381.50 381.50	MI [kNm] 207.75 207.75 207.75 207.75 207.75 207.75 207.75	Mt [kNm] 0.00 0.00 0.00 0.00 0.00 0.00 0.00 0.	FI [kN] 73.86 73.86 73.86 73.86 73.86 73.86 73.86 73.86 73.86 73.86	Ft [kN] 0.00 0.00 0.00 0.00 0.00 0.00 0.00 0.	T [kNm] 0.00 0.00 0.00 0.00 0.00 0.00 0.00 0.	EKWANEN	Imp - FVmax FVmax FVmax FVmax FVmax FVmax FVmax FVmax FVmax	SLEQPI SLEQPI SLEQPI SLEQPI SLEQPI SLEQPI SLEQPI SLEQPI
Fvmax Fvmin Flmax Flmin Mlmax Mlmin Ftmax Ftmin Mtmax	[kN] 381.50 381.50 381.50 381.50 381.50 381.50 381.50 381.50 381.50	MI [kNm] 207.75 207.75 207.75 207.75 207.75 207.75 207.75 207.75 207.75	Mt [kNm] 0.00 0.00 0.00 0.00 0.00 0.00 0.00 0.	[kN] 73.86 73.86 73.86 73.86 73.86 73.86 73.86 73.86 73.86 73.86	Ft [kN] 0.00 0.00 0.00 0.00 0.00 0.00 0.00 0.	T [kNm] 0.00 0.00 0.00 0.00 0.00 0.00 0.00 0.	EKWANEN	Imp - FVmax	SLEQPI SLEQPI SLEQPI SLEQPI SLEQPI SLEQPI SLEQPI SLEQPI SLEQPI
Fvmax Fvmin Flmax Flmin Mlmax Mlmin Ftmax Ftmin	[kN] 381.50 381.50 381.50 381.50 381.50 381.50 381.50 381.50	MI [kNm] 207.75 207.75 207.75 207.75 207.75 207.75 207.75	Mt [kNm] 0.00 0.00 0.00 0.00 0.00 0.00 0.00 0.	FI [kN] 73.86 73.86 73.86 73.86 73.86 73.86 73.86 73.86 73.86 73.86	Ft [kN] 0.00 0.00 0.00 0.00 0.00 0.00 0.00 0.	T [kNm] 0.00 0.00 0.00 0.00 0.00 0.00 0.00 0.	EKWANEN	Imp - FVmax FVmax FVmax FVmax FVmax FVmax FVmax FVmax FVmax	SLEQPI SLEQPI SLEQPI SLEQPI SLEQPI SLEQPI SLEQPI SLEQPI

Tabella 21: Sollecitazioni del muro frontale per gli stati limite di esercizio



LINEA SALERNO – PONTECAGNANO AEROPORTO

COMPLETAMENTO METROPOLITANA DI SALERNO TRATTA ARECHI – PONTECAGNANO AEROPORTO

SPALLA A - RELAZIONE DI CALCOLO

COMMESSA LOTTO CODIFICA

NN1X 00 D78CL

DOCUMENTO NW 01 00 001 REV. FOGLIO
A 45 di 76

9.3.4 Sollecitazioni paraghiaia

Verifica della parete paraghiaia

Calcolo a mensola di una striscia unitaria			
Larghezza muro frontale	B_MF	12.90	m
peso di volume terreno di riempimento	γ	19	kN/m3
angolo di attrito rilevato	ф	35	0
coefficiente di spinta attiva	λΟ	0.271	
terreno tipo	CAT. TERR.	С	
categoria topografica	CAT. TOP.	1	•
S_{T}		1.00	
valore max del fattore di ampl. dello spettro in acc. orizz.	F0	2.705	
acc. orizz. max al suolo attesa su sito di rif. rigido	ag	0.131	g
coefficiente di spinta (in condizioni sismiche)	λs	0.531	
ordinata dello spettro orizzontale	ag*S	0.195	g
altezza paraghiaia	Н	2.170	m
spessore paraghiaia - quota testa spalla	s1	0.40	m
spessore paraghiaia - quota testa pavimentazione	s2	0.70	m

- AZIONI

1) SOVRACCARICO (SCHEMA DI CARICO 1) SUL RILEVATO

C5.1.3.3.7.1 Carichi verticali da traffico su rilevati e su terrapieni adiacenti al ponte

Ai fini del calcolo delle spalle, dei muri d'ala e delle altre parti del ponte a contatto con il terreno, sul rilevato o sul terrapieno si può considerare applicato lo schema di carico 1, in cui per semplicità, i carichi tandem possono essere sostituiti da carichi uniformemente distribuiti equivalenti, applicati su una superficie rettangolare larga 3,0 m e lunga 2,20 m.

In un rilevato correttamente consolidato, si può assumere una diffusione del carico con angolo di 30°.

b_l	2.2 m	larghezza di diffusione longitudinale al piano strada
b_t	3.0 m	larghezza di diffusione trasversale al piano strada
а	6.6 m2	area di diffusione trasversale al piano strada
q0_1_2assi tandem	90.91 KN/m2	sovraccarico a m2 a livello strada - assi tandem
q0_1_distribuito	9.00 KN/m2	sovraccarico a m2 a livello strada - carico distribuito
q0_1	99.91 KN/m2	sovraccarico a m2 a livello strada
σ0_1	42.60 KN/m2	spinta sovraccarico a livello strada

facendo una diffusione a 30° fino all'intradosso paraghiaia si ha

		1 0
B_I	3.45 m	larghezza di diffusione longitudinale all'intradosso paraghiaia
B_t	5.51 m	larghezza di diffusione trasversale all'intradosso paraghiaia
Α	19.01 m2	area di diffusione trasversale all'intradosso paraghiaia
q0_2	34.69 KN/m2	sovraccarico a m2 all'intradosso paraghiaia
σ0_2	14.79 KN/m2	spinta sovraccarico all'intradosso paraghiaia
S0	252 kN	Spinta totale
		•
M0	324 kNm	Momento totale all'intradosso paraghiaia

Se si suppone collaborante una larghezza di muro pari alla media tra B_t e b_t+2*h

B_coll **6.42** m S0 39.3 kN/m M0 50.4 kNm/m



SPALLA A - RELAZIONE DI CALCOLO

 COMMESSA
 LOTTO
 CODIFICA
 DOCUMENTO
 REV.
 FOGLIO

 NN1X
 00
 D78CL
 NW 01 00 001
 A
 46 di 76

2) FRENATURA IN TESTA AL MURO PARAGHIAIA

C5.1.3.3.7.2 Carichi orizzontali da traffico su rilevati e su terrapieni adiacenti al ponte

Ai fini del calcolo delle spalle, dei muri d'ala e dei muri laterali, i carichi orizzontali da traffico sui rilevati o sui terrapieni possono essere considerati assenti.

Per il calcolo dei muri paraghiaia si deve, invece, considerare un'azione orizzontale longitudinale di frenamento, applicata alla testa del muro paraghiaia (vedi Figura C5.1.1), di valore caratteristico pari al 60% del carico asse Q_{1k}. Pertanto, in ponti di 1^a categoria si considererà un carico orizzontale di 180 kN, concomitante con un carico verticale di 300 kN, mentre in ponti di 2^a categoria si considererà un carico orizzontale di 144 kN, concomitante con un carico verticale di 240 kN.

lpotesi di un solo asse frenante, su una ruota di impronta 40x40

Categoria ponte 1 Q1k 300 kN

FI=0.6*Q1k 180 kN frenatura longitudinale applicata in testa alla paraghiaia

Accettando l'ipotesi di ripartizione degli sforzi a 45°, le sollecitazioni a metro lineare valgono:

Partendo dalla dimensione trasversale dell'impronta di 40cm, si ha

B_t 4.74 m larghezza di diffusione trasversale all'intradosso paraghiaia

FI/B_t 38.0 kN/m forza di frenatura a metro lineare

M=FI*H/B_t 82.4 kNm/m momento flettente allo spiccato a metro lineare

Considerando una eccentricità longitudinale dell'asse della ruota frenante rispetto al baricentro della sezione della paraghiaia, si ha:

e 0.30 0.00 m

MI=Q1k*e 90.0 0.0 kNm

MI=MI/B_t 19.0 0.0 kNm/m

Sommando i due contributi si ottiene quindi il momento sollecitante caratteristico

101.4 82.4 kNm/m

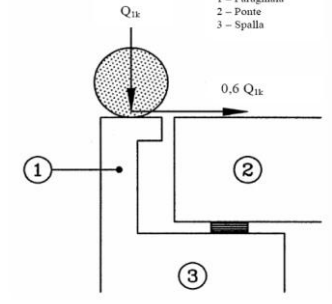


Figura C5.1.1 Carichi da traffico su muri paraghiaia



LINEA SALERNO – PONTECAGNANO AEROPORTO COMPLETAMENTO METROPOLITANA DI SALERNO

TRATTA ARECHI – PONTECAGNANO AEROPORTO

SPALLA A - RELAZIONE DI CALCOLO

COMMESSA NN1X

LOTTO 00 CODIFICA D78CL DOCUMENTO NW 01 00 001 REV.

FOGLIO 47 di 76

VERIFICA IN FASE ESERCIZIO (SLU.1-gr2a) PARAGHIAIA			
AZIONI	FATTOR	t [kN/ml]	m [kNm/ml]
SPINTA RIPOSO	1.35	26	19
SOVRACCARICO SU RILEVATO	1.0125	40	51
FRENATURA IN TESTA AL MURO	1.35	51	137
	TOTALE	117	207

VERIFICA IN FASE ESERCIZIO (SLU.1-gr.1) PARAGHIAIA			
AZIONI	FATTOR	t [kN/ml]	m [kNm/ml]
SPINTA RIPOSO	1.35	26	19
SOVRACCARICO SU RILEVATO	1.35	53	68
FRENATURA IN TESTA AL MURO	0.00	0	0
	TOTALE	79	87

VERIFICA IN FASE SISMICA (SIS) PARAGHIAIA			
AZIONI	FATTOR	t [kN/ml]	m [kNm/ml]
SPINTA ATTIVA	1.00	12	9
SOVRASPINTA SISMICA	1.00	3	3
MASSA PARAGHIAIA	1.00	4	5
	TOTALE	19	17

VERIFICA IN FASE ESERCIZIO (SLE-rara.1-gr2a) PARAGHIAIA						
AZIONI	FATTOR	t [kN/ml]	m [kNm/ml]			
SPINTA RIPOSO	1.00	19	14			
SOVRACCARICO SU RILEVATO	0.75	29	38			
FRENATURA IN TESTA AL MURO	1.00	38	101			
	TOTALE	87	153			

VERIFICA IN FASE ESERCIZIO (SLE-rara.2-gr.1) PARAGHIAIA						
AZIONI	FATTOR	t [kN/ml]	m [kNm/ml]			
SPINTA RIPOSO	1.00	19	14			
SOVRACCARICO SU RILEVATO	1.00	39	50			
FRENATURA IN TESTA AL MURO	0.00	0	0			
	TOTALE	58	64			

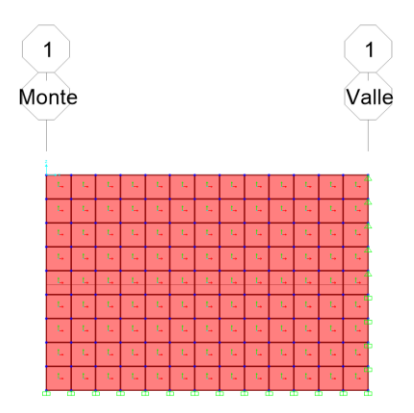
VERIFICA IN FASE ESERCIZIO (SLE-frequente.1-gr2a) PARAGHIAIA						
AZIONI	FATTOR	t [kN/ml]	m [kNm/ml]			
SPINTA RIPOSO	1.00	19	14			
SOVRACCARICO SU RILEVATO	0.00	0	0			
FRENATURA IN TESTA AL MURO	0.00	0	0			
	TOTALE	19	14			

VERIFICA IN FASE ESERCIZIO (SLE-frequente.2-gr.1) PARAGHIAIA					
AZIONI	FATTOR	t [kN/ml]	m [kNm/ml]		
SPINTA RIPOSO	1.00	19	14		
SOVRACCARICO SU RILEVATO	0.75	29	38		
FRENATURA IN TESTA AL MURO	0.00	0	0		
	TOTALE	49	52		

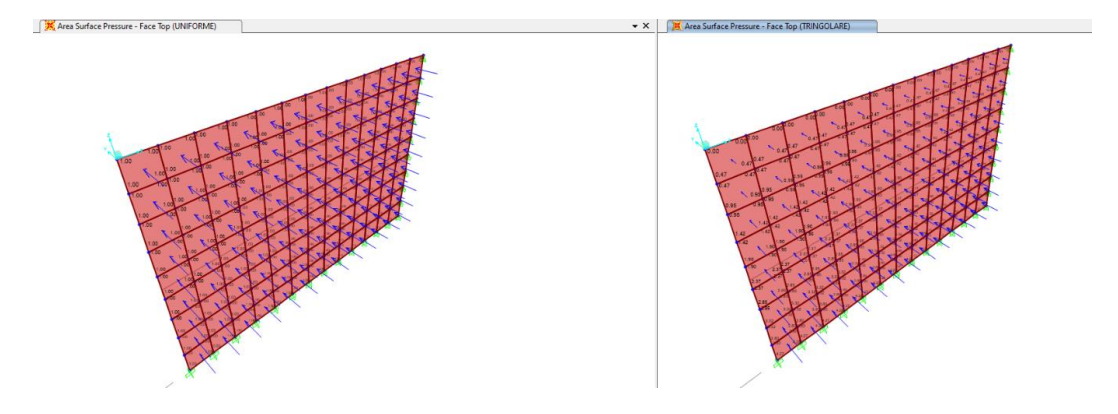


9.3.5 Sollecitazioni muro di risvolto

Per il calcolo delle sollecitazioni sul muro di risvolto, si è modellata la piastra sul programma agli elementi finiti SAP2000. La piastra è vincolata con un incastro perfetto alla fondazione e al muro frontale, mentre con una cerniera nella zona a contatto con il paraghiaia.



Sulla piastra sono applicati i carichi distirbuiti indotti dalle spinte del terreno in esercizio e in fase sismica. I load pattern unitari delle distribuzioni principali sono quella uniforme e quella triangolare [applicata con la funzione joint pattern p(z) = -z] riportate nella figura sotto:



I valori dei load case sono descritti nella tabella seguente:

			C				
TABLE: Case - Static 1 - Load Assignments							
Case	LoadType	LoadName	LoadSF				
Text	Text	Text	Unitless				
DEAD	Load pattern	DEAD	1.000				
So	Load pattern	TRINGOLARE	8.102				
Sa	Load pattern	TRINGOLARE	5.149				
Sq	Load pattern	UNIFORME	8.528				
Sa,e	Load pattern	UNIFORME	7.152				
Fh	Load pattern	UNIFORME	5.850				



LINEA SALERNO – PONTECAGNANO AEROPORTO COMPLETAMENTO METROPOLITANA DI SALERNO

TRATTA ARECHI - PONTECAGNANO AEROPORTO

SPALLA A - RELAZIONE DI CALCOLO

 COMMESSA
 LOTTO
 CODIFICA
 DOCUMENTO
 REV.
 FOGLIO

 NN1X
 00
 D78CL
 NW 01 00 001
 A
 49 di 76

DEAD= peso proprio

So = Spinta del terreno in quiete

Sa = Spinta del terreno attiva

Sq = Spinta del terreno dovuta al sovraccarico accidentale

Sa,e= Sovraspinta sismica

Fh= Forza inerziale del muro

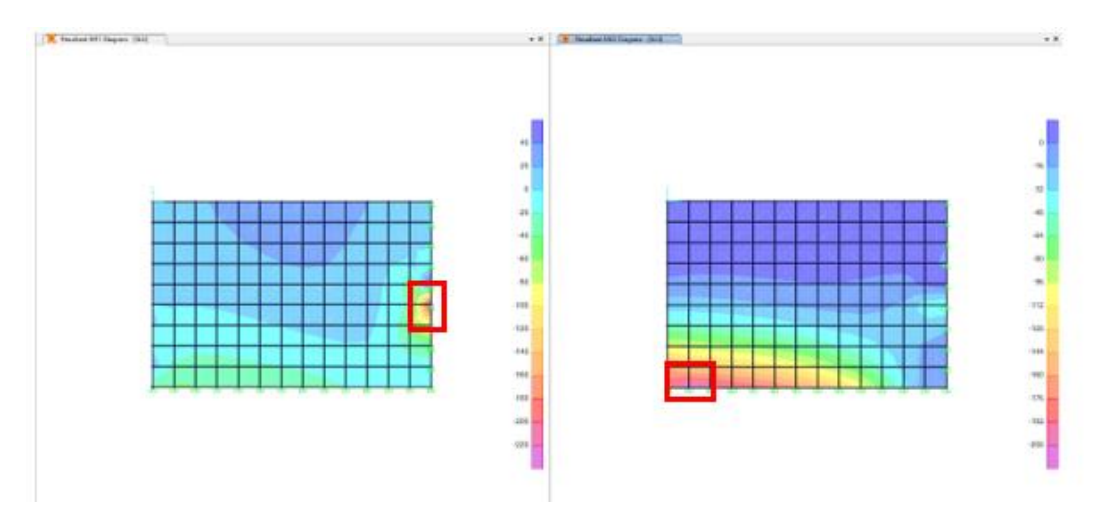
Le combinazioni sono le seguenti:

SLU: 1.35 DEAD + 1.35 So + 1.35 Sq

SLV: 1 DEAD + 1 Sa + 1 Sa,e

SLE-R: 1 DEAD + 1 So + 1 Sq

Si riporta graficamente la mappa delle solecitazioni per la combinazione SLU (in rosso le sezioni più sollecitate):



Si riportano di seguito i valori delle sollecitazioni per tutte le combinazioni, M1 in direzione orizzontale M2 in direzione verticale:

	M1 [kNm]	M2[kNm]	Vmax[kN]
SLU	110	206	169
SLV	84	156	127
SLE-R	83	156	0



9.4 Verifiche

9.4.1 Verifiche palo di fondazione

Il palo viene armato con un area di acciaio pari a $\rho = 2.25\%$ Ac

L'armatura a taglio consiste in una spirale Φ 10/15. Si prescrive che tale spirale sia fissata, ad ogni spira, a tutte le armature longitudinali intersecate.

CARATTERISTICHE DI RESISTENZA DEI MATERIALI IMPIEGATI

CALCESTRUZZO -	Classe:	C25/30	
	Resis. compr. di progetto fcd:	14.160	MPa
	Def.unit. max resistenza ec2:	0.0020	
	Def.unit. ultima ecu:	0.0035	
	Diagramma tensione-deformaz.:	Parabola-Rettangolo	
	Modulo Elastico Normale Ec:	31475.0	MPa
	Resis. media a trazione fctm:	2.560	MPa
	Coeff. Omogen. S.L.E.:	15.00	
	Coeff. Omogen. S.L.E.:	15.00	
	Sc limite S.L.E. comb. Frequenti:	150.00	daN/cm ²
	Ap.Fessure limite S.L.E. comb. Freque	nti: 0.200	mm
	Sc limite S.L.E. comb. Q.Permanenti:	0.00	Мра
	Ap.Fess.limite S.L.E. comb. Q.Perm.:	0.200	mm
ACCIAIO -	Tipo:	B450C	
	Resist. caratt. snervam. fyk:	450.00	MPa
	Resist. caratt. rottura ftk:	450.00	MPa
	Resist. snerv. di progetto fyd:	391.30	MPa
	Resist. ultima di progetto ftd:	391.30	MPa
	Deform. ultima di progetto Epu:	0.068	
	Modulo Elastico Ef	2000000	daN/cm ²
	Diagramma tensione-deformaz.:	Bilineare finito	
	Coeff. Aderenza istantaneo ß1*ß2:	1.00	
	Coeff. Aderenza differito ß1*ß2:	0.50	
	Sf limite S.L.E. Comb. Rare:	360.00	MPa

CARATTERISTICHE DOMINIO CONGLOMERATO

Forma del Do Classe Conglo	Poligonale C25/30	
N°vertice:	X [cm]	Y [cm]
1	15.6	58.0
2	30.0	52.0
3	42.5	42.5
4	52.0	30.0
5	58.0	15.6
6	60.1	0.0
7	58.0	-15.6
8	52.0	-30.0
9	42.5	-42.5



SPALLA A – RELAZIONE DI CALCOLO	COMMESSA	LOTTO	CODIFICA	DOCUMENTO	REV.	FOGLIO
	NN1X	00	D78CL	NW 01 00 001	Α	51 di 76

10	30.0	-52.0
11	15.6	-58.0
12	0.0	-60.1
13	-15.6	-58.0
14	-30.0	-52.0
15	-42.5	-42.5
16	-52.0	-30.0
17	-58.0	-15.6
18	-60.1	0.0
19	-58.0	15.6
20	-52.0	30.0
21	-42.5	42.5
22	-30.0	52.0
23	-15.6	58.0

DATI BARRE ISOLATE

N°Barra	X [cm]	Y [cm]	DiamØ[mm]
1	17.2	41.6	26
2	31.8	31.8	26
3	41.6	17.2	26
4	45.0	0.0	26
5	41.6	-17.2	26
6	31.8	-31.8	26
7	17.2	-41.6	26
8	0.0	-45.0	26
9	-17.2	-41.6	26
10	-31.8	-31.8	26
11	-41.6	-17.2	26
12	-45.0	0.0	26
13	-41.6	17.2	26
14	-31.8	31.8	26
15	-17.2	41.6	26
16	0.0	45.0	26
17	9.9	50.0	26
18	19.5	47.1	26
19	28.3	42.4	26
20	36.1	36.1	26
21	42.4	28.3	26
22	47.1	19.5	26
23	50.0	9.9	26
24	51.0	0.0	26
25	50.0	-9.9	26
26	47.1	-19.5	26
27	42.4	-28.3	26
28	36.1	-36.1	26
29	28.3	-42.4	26
30	19.5	-47.1	26
31	9.9	-50.0	26
32	0.0	-51.0	26
33	-9.9	-50.0	26
34	-19.5	-47.1	26
35	-28.3	-42.4	26
36	-36.1	-36.1	26
37	-42.4	-28.3	26
38	-47.1	-19.5	26



LINEA SALERNO – PONTECAGNANO AEROPORTO COMPLETAMENTO METROPOLITANA DI SALERNO

TRATTA ARECHI - PONTECAGNANO AEROPORTO

SPALLA A – RELAZIONE DI CALCOLO	COMMESSA	LOTTO	CODIFICA	DOCUMENTO	REV.	FOGLIO
	NN1X	00	D78CL	NW 01 00 001	Α	52 di 76

39	-50.0	-9.9	26
40	-51.0	0.0	26
41	-50.0	9.9	26
42	-47.1	19.5	26
43	-42.4	28.3	26
44	-36.1	36.1	26
45	-28.3	42.4	26
46	-19.5	47.1	26
47	-9.9	50.0	26
48	0.0	51.0	26

CALCOLO DI RESISTENZA - SFORZI PER OGNI COMBINAZIONE ASSEGNATA

N Mx		Sforzo normale [kN] applicato nel Baric. (+ se di compressione) Momento flettente [kNm] intorno all'asse x princ. d'inerzia con verso positivo se tale da comprimere il lembo sup. della sez.				
Му		Momento flettente [kNm] intorno all'asse y princ. d'inerzia con verso positivo se tale da comprimere il lembo destro della sez.				
Vy						
Vx		Componente del Taglio [kN] parallela all'asse princ.d'inerzia y Componente del Taglio [kN] parallela all'asse princ.d'inerzia x Mx My Vy				
N°Comb.	N					
1	3382.18	1021.66	0.00	333.45	0.00	
2	991.37	1021.66	0.00	333.45	0.00	
3	2776.19	1948.88	0.00	636.08	0.00	
4	472.16	1948.88	0.00	636.08	0.00	

COMB. RARE (S.L.E.) - SFORZI PER OGNI COMBINAZIONE ASSEGNATA

N Sforzo normale [kN] applicato nel Baricentro (+ se di compressione)

Mx Momento flettente [kNm] intorno all'asse x princ. d'inerzia (tra parentesi Mom.Fessurazione)

con verso positivo se tale da comprimere il lembo superiore della sezione

My Momento flettente [kNm] intorno all'asse y princ. d'inerzia (tra parentesi Mom.Fessurazione)

con verso positivo se tale da comprimere il lembo destro della sezione

N°Comb.	N	Mx	Му
1	2421.21	642.45	0.00
2	1156.47	642.45	0.00

COMB. FREQUENTI (S.L.E.) - SFORZI PER OGNI COMBINAZIONE ASSEGNATA

N Sforzo normale [kN] applicato nel Baricentro (+ se di compressione)

Mx Momento flettente [kNm] intorno all'asse x princ. d'inerzia (tra parentesi Mom.Fessurazione)

con verso positivo se tale da comprimere il lembo superiore della sezione

My Momento flettente [kNm] intorno all'asse y princ. d'inerzia (tra parentesi Mom.Fessurazione)

con verso positivo se tale da comprimere il lembo destro della sezione

N°Comb.	N	Mx	Му
1	2300.51 1160.68	633.77 (1497.60) 633.77 (879.30)	0.00 (0.00) 0.00 (0.00)
2	1100.00	033.77 (079.30)	0.00 (0.00)

COMB. QUASI PERMANENTI (S.L.E.) - SFORZI PER OGNI COMBINAZIONE ASSEGNATA



SPALLA A - RELAZIONE DI CALCOLO

 COMMESSA
 LOTTO
 CODIFICA
 DOCUMENTO
 REV.
 FOGLIO

 NN1X
 00
 D78CL
 NW 01 00 001
 A
 53 di 76

N Sforzo normale [kN] applicato nel Baricentro (+ se di compressione)

Mx Momento flettente [kNm] intorno all'asse x princ. d'inerzia (tra parentesi Mom.Fessurazione)

con verso positivo se tale da comprimere il lembo superiore della sezione

My Momento flettente [kNm] intorno all'asse y princ. d'inerzia (tra parentesi Mom.Fessurazione)

con verso positivo se tale da comprimere il lembo destro della sezione

 N°Comb.
 N
 Mx
 My

 1
 1925.12
 524.55 (1521.51)
 0.00 (0.00)

 2
 1207.22
 524.55 (985.66)
 0.00 (0.00)

RISULTATI DEL CALCOLO

Sezione verificata per tutte le combinazioni assegnate

Copriferro netto minimo barre longitudinali: 5.7 cm Interferro netto minimo barre longitudinali: 3.4 cm

VERIFICHE DI RESISTENZA IN PRESSO-TENSO FLESSIONE ALLO STATO LIMITE ULTIMO

Ver S = combinazione verificata / N = combin. non verificata

N Sforzo normale assegnato [kN] nel baricentro B sezione cls.(positivo se di compressione)

Mx Componente del momento assegnato [kNm] riferito all'asse x princ. d'inerzia
My Componente del momento assegnato [kNm] riferito all'asse y princ. d'inerzia
N Res Sforzo normale resistente [kNl] nel baricentro B sezione cls. (positivo se di comp

MX Res Momento flettente resistente [kNm] riferito all'asse y princ. d'inerzia
My Res Momento flettente resistente [kNm] riferito all'asse x princ. d'inerzia
My Res Momento flettente resistente [kNm] riferito all'asse y princ. d'inerzia
Mis.Sic. Misura sicurezza = rapporto vettoriale tra (N r,Mx Res,My Res) e (N,Mx,My)

Verifica positiva se tale rapporto risulta >=1.000

As Tesa Area armature trave [cm²] in zona tesa. [Tra parentesi l'area minima ex (4.1.15)NTC]

N°Comb	Ver	N	Mx	My	N Res	Mx Res	My Res	Mis.Sic.	As Tesa
1	S	3382.18	1021.66	0.00	3382.36	4538.14	0.00	4.45 1	38.0(16.5)
2	S	991.37	1021.66	0.00	991.47	4145.86	0.00	4.06 1	48.7(16.5)
3	S	2776.19	1948.88	0.00	2776.45	4452.08	0.00	2.29 1	38.0(16.5)
4	S	472.16	1948.88	0.00	472.02	4046.60	0.00	2.08 1	48.7(16.5)

METODO AGLI STATI LIMITE ULTIMI - DEFORMAZIONI UNITARIE ALLO STATO ULTIMO

ec max	Deform. unit. massima del conglomerato a compressione
x/d	Rapporto di duttilità [§ 4.1.2.1.2.1 NTC] deve essere < 0.45
Xc max	Ascissa in cm della fibra corrisp. a ec max (sistema rif. X,Y,O sez.)
Yc max	Ordinata in cm della fibra corrisp. a ec max (sistema rif. X,Y,O sez.)
es min	Deform. unit. minima nell'acciaio (negativa se di trazione)
Xs min	Ascissa in cm della barra corrisp. a es min (sistema rif. X,Y,O sez.)
Ys min	Ordinata in cm della barra corrisp. a es min (sistema rif. X,Y,O sez.)
es max	Deform. unit. massima nell'acciaio (positiva se di compress.)
Xs max	Ascissa in cm della barra corrisp. a es max (sistema rif. X,Y,O sez.)
Ys max	Ordinata in cm della barra corrisp. a es max (sistema rif. X,Y,O sez.)

N°Comb	ec max	x/d	Xc max	Yc max	es min	Xs min	Ys min	es max	Xs max	Ys max
1	0.00350	0.443	15.6	58.0	0.00299	0.0	51.0	-0.00440	0.0	-51.0
2	0.00350	0.360	15.6	58.0	0.00287	0.0	51.0	-0.00622	0.0	-51.0
3	0.00350	0.421	15.6	58.0	0.00296	0.0	51.0	-0.00481	0.0	-51.0
4	0.00350	0.343	15.6	58.0	0.00284	0.0	51.0	-0.00669	0.0	-51.0



LINEA SALERNO – PONTECAGNANO AEROPORTO

COMPLETAMENTO METROPOLITANA DI SALERNO TRATTA ARECHI – PONTECAGNANO AEROPORTO

SPALLA A - RELAZIONE DI CALCOLO

 COMMESSA
 LOTTO
 CODIFICA
 DOCUMENTO
 REV.
 FOGLIO

 NN1X
 00
 D78CL
 NW 01 00 001
 A
 54 di 76

POSIZIONE ASSE NEUTRO PER OGNI COMB. DI RESISTENZA

a, b, c Coeff. a, b, c nell'eq. dell'asse neutro aX+bY+c=0 nel rif. X,Y,O gen. x/d Rapp. di duttilità (travi e solette)[§ 4.1.2.1.2.1 NTC]: deve essere < 0.45

C.Rid. Coeff. di riduz. momenti per sola flessione in travi continue

N°Comb	a	b	С	x/d	C.Rid.
1	0.000000000	0.000072491	-0.000707255	0.443	0.993
2	0.000000000	0.000089125	-0.001672678	0.360	0.890
3	0.000000000	0.000076171	-0.000920815	0.421	0.967
4	0.000000000	0.000093469	-0.001924767	0.343	0.869

METODO SLU - VERIFICHE A TAGLIO SENZA ARMATURE TRASVERSALI (\$ 4.1.2.1.3.1 NTC)

Ver S = comb.verificata a taglio/ N = comb. non verificata

Ved Taglio agente [daN] uguale al taglio Vy di comb. (sollecit. retta)

Vwct Taglio trazione resistente [kN] in assenza di staffe [formula (4.1.23)NTC]

d Altezza utile sezione [cm] bw Larghezza minima sezione [cm]

Ro Rapporto geometrico di armatura longitudinale [<0.02] Scp Tensione media di compressione nella sezione [Mpa]

N°Comb Ver Ved Vwct d bw Ro Scp

1 S 333.45 1027.14 94.2 110.4 0.0133 2.83

746.49 2 S 333.45 94.9 108.5 0.0155 0.89 3 S 636.08 984.01 94.5 109.6 0.0144 2.48 S 636.08 684.42 95.3 107.3 0.0166 0.42

COMBINAZIONI RARE IN ESERCIZIO - MASSIME TENSIONI NORMALI ED APERTURA FESSURE (NTC/EC2)

Ver S = comb. verificata/ N = comb. non verificata

Sc max

Massima tensione (positiva se di compressione) nel conglomerato [Mpa]
Xc max, Yc max
Ascissa, Ordinata [cm] del punto corrisp. a Sc max (sistema rif. X,Y,O)
Minima tensione (negativa se di trazione) nell'acciaio [Mpa]
Xs min, Ys min
Ascissa, Ordinata [cm] della barra corrisp. a Sf min (sistema rif. X,Y,O)

Ac eff.

Area di calcestruzzo [cm²] in zona tesa considerata aderente alle barre

As eff.

Area barre [cm²] in zona tesa considerate efficaci per l'apertura delle fessure

N°Comb Ver Sc max Xc max Yc max Sf min Xs min Ys min Ac eff. As eff. 58.0 -13.1 0.0 -51.0 278 5.3 S 4 31 156 2 S 3.95 15.6 58.0 -44.3 0.0 -51.0 1077 53.1

COMBINAZIONI RARE IN ESERCIZIO - APERTURA FESSURE [§ 7.3.4 EC2]

La sezione viene assunta sempre fessurata anche nel caso in cui la trazione minima del calcestruzzo sia inferiore a fctm

Ver. Esito della verifica e1 Massima deformaz

e1 Massima deformazione unitaria di trazione nel calcestruzzo (trazione -) valutata in sezione fessurata e2 Minima deformazione unitaria di trazione nel calcestruzzo (trazione -) valutata in sezione fessurata

k1 = 0.8 per barre ad aderenza migliorata [eq.(7.11)EC2]

kt = 0.4 per comb. quasi permanenti / = 0.6 per comb.frequenti [cfr. eq.(7.9)EC2] k2 = 0.5 per flessione; =(e1 + e2)/(2*e1) per trazione eccentrica [eq.(7.13)EC2]

k3 = 3.400 Coeff. in eq.(7.11) come da annessi nazionali k4 = 0.425 Coeff. in eq.(7.11) come da annessi nazionali

Ø Diametro [mm] equivalente delle barre tese comprese nell'area efficace Ac eff [eq.(7.11)EC2]

Cf Copriferro [mm] netto calcolato con riferimento alla barra più tesa

e sm - e cm Differenza tra le deformazioni medie di acciaio e calcestruzzo [(7.8)EC2 e (C4.1.7)NTC]

Tra parentesi: valore minimo = 0.6 Smax / Es [(7.9)EC2 e (C4.1.8)NTC]



LINEA SALERNO – PONTECAGNANO AEROPORTO COMPLETAMENTO METROPOLITANA DI SALERNO

TRATTA ARECHI – PONTECAGNANO AEROPORTO

SPALLA A - RELAZIONE DI CALCOLO

 COMMESSA
 LOTTO
 CODIFICA
 DOCUMENTO
 REV.
 FOGLIO

 NN1X
 00
 D78CL
 NW 01 00 001
 A
 55 di 76

sr max Massima distanza tra le fessure [mm]

wk Apertura fessure in mm calcolata = sr max*(e_sm - e_cm) [(7.8)EC2 e (C4.1.7)NTC]. Valore limite tra parentesi

Mx fess. Componente momento di prima fessurazione intorno all'asse X [kNm] My fess. Componente momento di prima fessurazione intorno all'asse Y [kNm]

Comb.	Ver	e1	e2	k2	Ø	Cf	e sm - e cm s	sr max	wk	Mx fess	My fess
1	S	-0.00010	0	0.500	26.0	77	0.00004 (0.00004)	494	0.019 (0.20)	1583.56	0.00
2	S	-0.00026	0	0.500	26.0	77	0.00013 (0.00013)	352	0.047 (0.20)	873.03	0.00

COMBINAZIONI FREQUENTI IN ESERCIZIO - MASSIME TENSIONI NORMALI ED APERTURA FESSURE (NTC/EC2)

N°Comb	Ver	Sc max	Xc max	Yc max	Sf min	Xs min	Ys min	Ac eff.	As eff.
1	S	4.22	15.6	58.0	-14.5	0.0	-51.0	315	5.3
2	S	3.90	15.6	58.0	-43.1	0.0	-51.0	1077	42.5

COMBINAZIONI FREQUENTI IN ESERCIZIO - APERTURA FESSURE [§ 7.3.4 EC2]

Comb.	Ver	e1	e2	k2	Ø	Cf	e sm - e cm s	r max	wk	Mx fess	My fess
1	S	-0.00010	0	0.500	26.0	77	0.00004 (0.00004)	524	0.023 (0.20)	1497.60	0.00
2	S	-0.00026	0	0.500	26.0	77	0.00013 (0.00013)	374	0.048 (0.20)	879.30	0.00

COMBINAZIONI QUASI PERMANENTI IN ESERCIZIO - MASSIME TENSIONI NORMALI ED APERTURA FESSURE (NTC/EC2)

N°Comb	Ver	Sc max	Xc max	Yc max	Sf min	Xs min	Ys min	Ac eff.	As eff.
1	S	3.50	15.6	58.0	-11.6	0.0	-51.0	296	5.3
2	S	3.28	15.6	58.0	-28.0	0.0	-51.0	861	31.9

COMBINAZIONI QUASI PERMANENTI IN ESERCIZIO - APERTURA FESSURE [§ 7.3.4 EC2]

Comb.	Ver	e1	e2	k2	Ø	Cf	e sm - e cm s	sr max	wk	Mx fess	My fess
1	S	-0.00008	0	0.500	26.0	77	0.00003 (0.00003)	509	0.018 (0.20)	1521.51	0.00
2	S	-0.00017	0	0.500	26.0	77	0.00008 (0.00008)	382	0.032 (0.20)	985.66	0.00

Viene di seguito riportato il calcolo del taglio resistente per il palo circolare.

In assenza di calcoli più accurati, per sezioni circolari di calcestruzzo di raggio r in cui l'armatura sia distribuita su una circonferenza di raggio rs, l'altezza utile della sezione ai fini del calcolo della resistenza a taglio può essere calcolata come:

$$d = r + \frac{2r}{\pi} \tag{7.9.11}$$

Il braccio delle forze interne può essere assunto pari a z=0,9d.

Nel caso più sfavorevole di 2 strati di armatura longitudinale, si ha:

$$d = 60 + 2*53/\pi = 94$$
cm

In favore di sicurezza, anche la larghezza della sezione viene posta pari a d.



Verifica a Taglio - NTC'18 \$4.1.2.3.5			
Resistenza Caratteristica Calcestruzzo	R_{ck}	30	M Pa
Resistenza Caratteristica Acciaio	f_{vk}	450	M Pa
Taglio di progetto	V _{Ed}	1.00	kN
Caratteristiche Sezione			
Base Sezione	b	94	cm
Altezza Sezione	h	120	cm
Copriferro	С	7	cm
Altezza utile	d	94	cm
Diametro Staffe	Ø	10	mm
Passo Staffe	S	15	cm
Bracci	n	2	-
<u>Caratteristiche Materiali</u>			
Armatura Longitudinale Superiore	$A_{sl,sup}$	127.42	cm^2
Armatura Longitudinale Inferiore	$A_{sl,inf}$	127.42	cm^2
Coefficiente sicurezza	γ c	1.5	-
Resistenza caratteristica	f_{ck}	24.90	M Pa
Resistenza di progetto	f_{cd}	14.11	M Pa
Resistenza a compressione ridotta	f' _{cd}	7.06	M Pa
Carico Assiale	N _{Ed}	0	kN
Tensione di Compressione	$\sigma_{\sf cp}$	0	M Pa
Resistenza di progetto acciaio	f_{ywd}	391.3	M Pa
Elemento non armato	•		
Coefficiente Maggiorativo	$lpha_{C}$	1	-
Area staffe	A_{sw}	1.6	cm^2
Area staffe	A_{st}	10	cm ² /m
Coefficiente di altezza	k	1.46	-
Rapporto armatura tesa	ρ_{l}	0.011	-
Resistenza a taglio senza Armatura	V _{Rd1}	468.4	kN
Elemento Armato			
Angolo inclinazione puntone di calcolo	$ctg(\theta)$	3.89	-
Angolo inclinazione puntone assunto	$ctg(\theta)$	2.50	-
Resistenza a taglio dell'acciaio	V_{Rsd}	864.3	kN
Resistenza a taglio del calcestruzzo	V_{Rcd}	1924.0	kN
Resistneza della sezione a taglio	V_{Rd}	864.3	kN
Coefficiente di sicurezza	V_{Rd}/V_{Ed}	864.3	-

Il taglio massimo sul palo, risulta in condizioni sismiche Vsd = 636 kN

Vsd = 636 kN < Vrd = 864 kN verifica soddisfatta.



LINEA SALERNO – PONTECAGNANO AEROPORTO COMPLETAMENTO METROPOLITANA DI SALERNO

TRATTA ARECHI - PONTECAGNANO AEROPORTO

SPALLA A - RELAZIONE DI CALCOLO

COMMESSA	LOTTO	CODIFICA	DOCUMENTO	REV.	FOGLIO
NN1X	00	D78CL	NW 01 00 001	Α	57 di 76

9.4.2 Verifiche plinto di fondazione

9.4.2.1 Sbalzo anteriore

L'elemento, date le dimensioni, è un elemento tozzo. Data la distanza ridotta del palo dalla sezione di verifica, la biella compressa di calcestruzzo è praticamente verticale, quindi si omette la verifica e si utilizza la stessa armatura della mensola posteriore.

9.4.2.2 Sbalzo posteriore

Il calcolo dell'armatura viene svolto, in favore di sicurezza, con lo schema di calcolo a trave.

Si riporta qui sotto la tabella riassuntiva delle sollecitazioni che minimizzano il coefficiente di sicurezza per ogni verifica eseguita ad ogni stato limite analizzato:

	N	Mx	Vy
	kN	kNm	kN
SLU	0	-312	297
SLV	0	-940	232
SLE-R	0	-113	0
SLE-FR	0	-109	0
SLEQP	0	60	0

Questi valori si ottengono dalla differenza dei momenti indotti dal peso proprio del rinterro più il peso proprio della mensola (M1) e le reazioni dei pali che si posso vedere nelle Tabella 18 e Tabella 19 (M2); opportunatamente coefficientati per ogni combinazione:

$$M1 = pp 1^2/2 + pr 1^2/2$$

Dove:

 $pp = peso specifico del cls = 25 kN/m^3$

pr = peso specifico del rinterro = 19 kN/m³

1 = lunghezza mensola = 6.4m

 $M2 = \sum N_i B_i$



Dove:

Ni = reazione i-esimo palo

Bi = distanza dell'i-esimo palo dalla sezione di verifica (vedi Figura 9: Disposizione Pali)

Si riporta di seguito la verifica eseguita per il plinto di fondazione, armato con \$\phi 24/20\$ superiormente e ϕ 24/20 inferiormente.

360.00 MPa

1.00 0.50

Bilineare finito

CARATTERISTICHE DI RESISTENZA DEI MATERIALI IMPIEGATI

CALCESTRUZZO -	Classe:	C25/30	
	Resis. compr. di progetto fcd:	14.160	MPa
	Def.unit. max resistenza ec2:	0.0020	
	Def.unit. ultima ecu:	0.0035	
	Diagramma tensione-deformaz.:	Parabola-Rettangolo	
	Modulo Elastico Normale Ec:	31475.0	MPa
	Resis. media a trazione fctm:	2.560	MPa
	Coeff. Omogen. S.L.E.:	15.00	
	Coeff. Omogen. S.L.E.:	15.00	
	Sc limite S.L.E. comb. Frequenti:	150.00	daN/cm ²
	Ap.Fessure limite S.L.E. comb. Freque	nti: 0.200	mm
	Sc limite S.L.E. comb. Q.Permanenti:	0.00	Мра
	Ap.Fess.limite S.L.E. comb. Q.Perm.:	0.200	mm
ACCIAIO -	Tipo:	B450C	
	Resist. caratt. snervam. fyk:	450.00	MPa
	Resist. caratt. rottura ftk:	450.00	MPa
	Resist. snerv. di progetto fyd:	391.30	MPa
	Resist. ultima di progetto ftd:	391.30	MPa
	Deform. ultima di progetto Epu:	0.068	
	Modulo Elastico Ef	2000000	daN/cm²
	Diagramma tanajana dafarmas .	Dilineare finite	

Diagramma tensione-deformaz.:

Coeff. Aderenza differito ß1*ß2: Sf limite S.L.E. Comb. Rare:

Coeff. Aderenza istantaneo ß1*ß2:

CARATTERISTICHE DOMINIO CONGLOMERATO

Forma del Do	Poligonale	
Classe Conglo	C25/30	
N°vertice:	X [cm]	Y [cm]
1	-50.0	0.0
2	-50.0	200.0
3	50.0	200.0
4	50.0	0.0

DATI BARRE ISOLATE

N°Barra	X [cm]	Y [cm]	DiamØ[mm]
1	-40.0	6.4	24



SPALLA A - RELAZIONE DI CALCOLO

 COMMESSA
 LOTTO
 CODIFICA
 DOCUMENTO
 REV.
 FOGLIO

 NN1X
 00
 D78CL
 NW 01 00 001
 A
 59 di 76

2	40.0	6.4	24
3	-40.0	193.6	24
4	40.0	193.6	24

DATI GENERAZIONI LINEARI DI BARRE

N

2

 N°Gen.
 Numero assegnato alla singola generazione lineare di barre

 N°Barra Ini.
 Numero della barra iniziale cui si riferisce la generazione

 N°Barra Fin.
 Numero della barra finale cui si riferisce la generazione

N°Barre Numero di barre generate equidistanti cui si riferisce la generazione

Ø Diametro in mm delle barre della generazione

N°Gen.	N°Barra Ini.	N°Barra Fin.	N°Barre	Ø
1	1	2	3	24
2	3	4	3	24

CALCOLO DI RESISTENZA - SFORZI PER OGNI COMBINAZIONE ASSEGNATA

N Mx My Vy		Sforzo normale [kN] applicato nel Baric. (+ se di compressione) Momento flettente [kNm] intorno all'asse x princ. d'inerzia con verso positivo se tale da comprimere il lembo sup. della sez. Momento flettente [kNm] intorno all'asse y princ. d'inerzia con verso positivo se tale da comprimere il lembo destro della sez. Componente del Taglio [kN] parallela all'asse princ.d'inerzia y				
Vx		Componente dei	ragilo [kiv] paralle	ela all'asse princ.d'ine	ızıa x	
°Comb.	N	Mx	Му	Vy	Vx	
1	0.00	-312 46	0.00	297 05	0.00	

COMB. RARE (S.L.E.) - SFORZI PER OGNI COMBINAZIONE ASSEGNATA

-939.86

0.00

N Sforzo normale [kN] applicato nel Baricentro (+ se di compressione)

Mx Momento flettente [kNm] intorno all'asse x princ. d'inerzia (tra parentesi Mom.Fessurazione)

0.00

con verso positivo se tale da comprimere il lembo superiore della sezione

231.91

0.00

My Momento flettente [kNm] intorno all'asse y princ. d'inerzia (tra parentesi Mom.Fessurazione)

con verso positivo se tale da comprimere il lembo destro della sezione

N°Comb. N Mx My 1 0.00 -113.07 0.00

COMB. FREQUENTI (S.L.E.) - SFORZI PER OGNI COMBINAZIONE ASSEGNATA

N Sforzo normale [kN] applicato nel Baricentro (+ se di compressione)

Mx Momento flettente [kNm] intorno all'asse x princ. d'inerzia (tra parentesi Mom.Fessurazione)

con verso positivo se tale da comprimere il lembo superiore della sezione

My Momento flettente [kNm] intorno all'asse y princ. d'inerzia (tra parentesi Mom.Fessurazione)

con verso positivo se tale da comprimere il lembo destro della sezione

N°Comb. N Mx My
1 0.00 -108.93 (-1858.86) 0.00 (0.00)



SPALLA A - RELAZIONE DI CALCOLO

 COMMESSA
 LOTTO
 CODIFICA
 DOCUMENTO
 REV.
 FOGLIO

 NN1X
 00
 D78CL
 NW 01 00 001
 A
 60 di 76

COMB. QUASI PERMANENTI (S.L.E.) - SFORZI PER OGNI COMBINAZIONE ASSEGNATA

N Sforzo normale [kN] applicato nel Baricentro (+ se di compressione)

Mx Momento flettente [kNm] intorno all'asse x princ. d'inerzia (tra parentesi Mom.Fessurazione)

con verso positivo se tale da comprimere il lembo superiore della sezione

My Momento flettente [kNm] intorno all'asse y princ. d'inerzia (tra parentesi Mom.Fessurazione)

con verso positivo se tale da comprimere il lembo destro della sezione

N°Comb. N Mx My

1 0.00 60.13 (1858.86) 0.00 (0.00)

RISULTATI DEL CALCOLO

Sezione verificata

Copriferro netto minimo barre longitudinali: 5.2 cm Interferro netto minimo barre longitudinali: 17.6 cm

VERIFICHE DI RESISTENZA IN PRESSO-TENSO FLESSIONE ALLO STATO LIMITE ULTIMO

Ver S = combinazione verificata / N = combin. non verificata

N Sforzo normale assegnato [kN] nel baricentro B sezione cls.(positivo se di compressione)

Mx Componente del momento assegnato [kNm] riferito all'asse x princ. d'inerzia
My Componente del momento assegnato [kNm] riferito all'asse y princ. d'inerzia
N Res Sforzo normale resistente [kN] nel baricentro B sezione cls.(positivo se di compress.)

Mx Res Momento flettente resistente [kNm] riferito all'asse x princ. d'inerzia
My Res Momento flettente resistente [kNm] riferito all'asse y princ. d'inerzia
Mis.Sic. Misura sicurezza = rapporto vettoriale tra (N r,Mx Res,My Res) e (N,Mx,My)

Verifica positiva se tale rapporto risulta >=1.000

As Tesa Area armature trave [cm²] in zona tesa. [Tra parentesi l'area minima ex (4.1.15)NTC]

N°Comb	Ver	N	Mx	Му	N Res	Mx Res	My Res	Mis.Sic.	As Tesa	
1	S	0.00	-312.46	0.00	0.00	-1683.92	0.00	5.39	22.6(28.5)	6)
2	S	0.00	-939.86	0.00	0.00	-1683.92	0.00	1.79	22.6(28.5)	6)

METODO AGLI STATI LIMITE ULTIMI - DEFORMAZIONI UNITARIE ALLO STATO ULTIMO

ec max x/d	Deform. unit. massima del conglomerato a compressione Rapporto di duttilità [§ 4.1.2.1.2.1 NTC] deve essere < 0.45
Xc max	Ascissa in cm della fibra corrisp. a ec max (sistema rif. X,Y,O sez.)
Yc max	Ordinata in cm della fibra corrisp. a ec max (sistema rif. X,Y,O sez.)
es min	Deform. unit. minima nell'acciaio (negativa se di trazione)
Xs min	Ascissa in cm della barra corrisp. a es min (sistema rif. X,Y,O sez.)
Ys min	Ordinata in cm della barra corrisp. a es min (sistema rif. X,Y,O sez.)
es max	Deform. unit. massima nell'acciaio (positiva se di compress.)
Xs max	Ascissa in cm della barra corrisp. a es max (sistema rif. X,Y,O sez.)
Ys max	Ordinata in cm della barra corrisp. a es max (sistema rif. X,Y,O sez.)

N°Comb	ec max	x/d	Xc max	Yc max	es min	Xs min	Ys min	es max	Xs max	Ys max
1 2		0.037 0.037	-50.0 -50.0	0.0 0.0	0.00028 0.00028	-40.0 -40.0		-0.06750 -0.06750	-40.0 -40.0	193.6 193.6



LINEA SALERNO – PONTECAGNANO AEROPORTO

COMPLETAMENTO METROPOLITANA DI SALERNO TRATTA ARECHI - PONTECAGNANO AEROPORTO

SPALLA A - RELAZIONE DI CALCOLO

LOTTO COMMESSA NN1X 00

CODIFICA D78CI

DOCUMENTO

REV. **FOGLIO**

NW 01 00 001 61 di 76 Α

Coeff. a, b, c nell'eq. dell'asse neutro aX+bY+c=0 nel rif. X,Y,O gen. a b c Rapp. di duttilità (travi e solette)[§ 4.1.2.1.2.1 NTC]: deve essere < 0.45 x/d

C.Rid. Coeff. di riduz. momenti per sola flessione in travi continue

N°Comb C.Rid. b x/d а С 0.000000000 -0.000362097 0.002601883 0.037 0.700 1 2 0.000000000 -0.000362097 0.002601883 0.037 0.700

METODO SLU - VERIFICHE A TAGLIO SENZA ARMATURE TRASVERSALI (\$ 4.1.2.1.3.1 NTC)

S = comb.verificata a taglio/ N = comb. non verificata

Taglio agente [daN] uguale al taglio Vy di comb. (sollecit. retta) Ved Taglio trazione resistente [kN] in assenza di staffe [formula (4.1.23)NTC] Vwct

Altezza utile sezione [cm] d

Ver

Larghezza minima sezione [cm] bw Rapporto geometrico di armatura longitudinale [<0.02] Ro

Scp Tensione media di compressione nella sezione [Mpa]

N°Comb Ver Ved Vwct Ro S 297.05 513.33 193.0 100.0 0.0012 0.00 S 231.91 513.33 193.0 100.0 0.0012

COMBINAZIONI RARE IN ESERCIZIO - MASSIME TENSIONI NORMALI ED APERTURA FESSURE (NTC/EC2)

S = comb. verificata/ N = comb. non verificata Ver

Massima tensione (positiva se di compressione) nel conglomerato [Mpa] Sc max Xc max, Yc max Ascissa, Ordinata [cm] del punto corrisp. a Sc max (sistema rif. X,Y,O) Minima tensione (negativa se di trazione) nell'acciaio [Mpa] Sf min Ascissa, Ordinata [cm] della barra corrisp. a Sf min (sistema rif. X,Y,O) Xs min, Ys min

Ac eff. Area di calcestruzzo [cm²] in zona tesa considerata aderente alle barre Area barre [cm²] in zona tesa considerate efficaci per l'apertura delle fessure As eff.

N°Comb Ver Sc max Xc max Yc max Sf min Xs min Ys min Ac eff. As eff. 1 S 0.34 -50.0 0.0 -27.2 20.0 193.6 1600 22.6

COMBINAZIONI RARE IN ESERCIZIO - APERTURA FESSURE [§ 7.3.4 EC2]

La sezione viene assunta sempre fessurata anche nel caso in cui la trazione minima del calcestruzzo sia inferiore a fctm

6)

0.00

Ver.

Cf

Massima deformazione unitaria di trazione nel calcestruzzo (trazione -) valutata in sezione fessurata e1 Minima deformazione unitaria di trazione nel calcestruzzo (trazione -) valutata in sezione fessurata e2

k1 = 0.8 per barre ad aderenza migliorata [eq.(7.11)EC2]

= 0.4 per comb. quasi permanenti / = 0.6 per comb.frequenti [cfr. eq.(7.9)EC2] kt = 0.5 per flessione; =(e1 + e2)/(2*e1) per trazione eccentrica [eq.(7.13)EC2] = 3.400 Coeff. in eq.(7.11) come da annessi nazionali k2

k3 k4 = 0.425 Coeff. in eq.(7.11) come da annessi nazionali

Diametro [mm] equivalente delle barre tese comprese nell'area efficace Ac eff [eq.(7.11)EC2] Ø

Copriferro [mm] netto calcolato con riferimento alla barra più tesa

Differenza tra le deformazioni medie di acciaio e calcestruzzo [(7.8)EC2 e (C4.1.7)NTC] e sm - e cm

Tra parentesi: valore minimo = 0.6 Smax / Es [(7.9)EC2 e (C4.1.8)NTC]

Massima distanza tra le fessure [mm] sr max

Apertura fessure in mm calcolata = sr max*(e_sm - e_cm) [(7.8)EC2 e (C4.1.7)NTC]. Valore limite tra parentesi wk

Mx fess. Componente momento di prima fessurazione intorno all'asse X [kNm] My fess. Componente momento di prima fessurazione intorno all'asse Y [kNm]

Comb. Ver e1 e2 k2 α Cf e sm - e cm sr max Mx fess My fess



LINEA SALERNO - PONTECAGNANO AEROPORTO

COMPLETAMENTO METROPOLITANA DI SALERNO TRATTA ARECHI - PONTECAGNANO AEROPORTO

SPALLA A - RELAZIONE DI CALCOLO

0.33

N°Comb Ver

S

COMMESSA LOTTO CODIFICA DOCUMENTO REV. NN1X

D78CL 62 di 76 00 NW 01 00 001 Α

FOGLIO

S -0.00014 0.500 24.0 52 0.00008 (0.00008) 465 0.038 (0.20) -1858.86 0.00

Ac eff.

1600

As eff.

22.6

COMBINAZIONI FREQUENTI IN ESERCIZIO - MASSIME TENSIONI NORMALI ED APERTURA FESSURE (NTC/EC2)

Sf min Xs min Ys min

20.0 193.6

Sc max Xc max Yc max

-26.2

COMBINAZIONI FREQUENTI IN ESERCIZIO - APERTURA FESSURE [§ 7.3.4 EC2]

0.0

-50.0

Comb. Ver e1 e2 k2 Cf e sm - e cm sr max wk Mx fess My fess

-0.00014 0.500 24.0 52 0.00008 (0.00008) 0.037 (0.20) -1858.86 0.00 465

COMBINAZIONI QUASI PERMANENTI IN ESERCIZIO - MASSIME TENSIONI NORMALI ED APERTURA FESSURE (NTC/EC2)

N°Comb Ver Sc max Xc max Yc max Sf min Xs min Ys min Ac eff. As eff.

1 S 0.18 50.0 200.0 -14.5 -40.0 6.4 1600 22.6

COMBINAZIONI QUASI PERMANENTI IN ESERCIZIO - APERTURA FESSURE [§ 7.3.4 EC2]

Comb. Ver Cf e sm - e cm sr max Mx fess My fess -0.00008 0.500 24.0 52 0.00004 (0.00004) 465 1 S 0 0.020 (0.20) 1858.86 0.00



9.4.3 Verifiche muro frontale

Viene verificata la sezione di incastro con la platea di fondazione. Nella determinazione dei momenti flettenti di verifica il muro frontale viene considerato come una mensola incastrata nella platea di fondazione, trascurando a favore di sicurezza gli effetti dovuti alla eventuale presenza dei muri di risvolto. Si verifica la sezione solo per le sollecitazioni più gravose di quelle riportate in Tabella 20 e Tabella 21. La sezione armata con $\phi 20/20$ controterra e $\phi 14/20$ lato esterno.

CARATTERISTICHE DI RESISTENZA DEI MATERIALI IMPIEGATI

CALCESTRUZZO -	Classe:	C32/40	
	Resis. compr. di progetto fcd:	18.130	MPa
	Def.unit. max resistenza ec2:	0.0020	
	Def.unit. ultima ecu:	0.0035	
	Diagramma tensione-deformaz.:	Parabola-Rettangolo	
	Modulo Elastico Normale Ec:	33345.0	MPa
	Resis. media a trazione fctm:	3.020	MPa
	Coeff. Omogen. S.L.E.:	15.00	
	Coeff. Omogen. S.L.E.:	15.00	
	Sc limite S.L.E. comb. Frequenti:	192.00	daN/cm ²
	Ap.Fessure limite S.L.E. comb. Freque	nti: 0.200	mm
	Sc limite S.L.E. comb. Q.Permanenti:	0.00	Мра
	Ap.Fess.limite S.L.E. comb. Q.Perm.:	0.200	mm
ACCIAIO -	Tipo:	B450C	
	Resist. caratt. snervam. fyk:	450.00	MPa
	Resist. caratt. rottura ftk:	450.00	MPa
	Resist. snerv. di progetto fyd:	391.30	MPa
	Resist. ultima di progetto ftd:	391.30	MPa
	Deform. ultima di progetto Epu:	0.068	
	Modulo Elastico Ef	2000000	daN/cm ²
	Diagramma tensione-deformaz.:	Bilineare finito	
	Coeff. Aderenza istantaneo ß1*ß2:	1.00	
	Coeff. Aderenza differito ß1*ß2:	0.50	
	Sf limite S.L.E. Comb. Rare:	360.00	MPa

CARATTERISTICHE DOMINIO CONGLOMERATO

Forma del Do	Poligonale	
Classe Conglo	C32/40	
N°vertice:	X [cm]	Y [cm]
1	-50.0	0.0
2	-50.0	220.0
3	50.0	220.0
4	50.0	0.0

DATI BARRE ISOLATE

N°Barra	X [cm]	Y [cm]	DiamØ[mm]
1	-40.0	6.2	20
2	40.0	6.2	20



LINEA SALERNO – PONTECAGNANO AEROPORTO COMPLETAMENTO METROPOLITANA DI SALERNO

TRATTA ARECHI – PONTECAGNANO AEROPORTO

SPALLA A - RELAZIONE DI CALCOLO

NN1X 00 D78CL NW 01 00 001 A 64 di 76	OMMESSA	LOTTO	CODIFICA	DOCUMENTO	REV.	FOGLIO
	NN1X	00	D78CL	NW 01 00 001	Α	64 di 76

3 -40.0 214.1 14 4 40.0 214.1 14

DATI GENERAZIONI LINEARI DI BARRE

N°Gen.Numero assegnato alla singola generazione lineare di barreN°Barra Ini.Numero della barra iniziale cui si riferisce la generazioneN°Barra Fin.Numero della barra finale cui si riferisce la generazione

N°Barre Numero di barre generate equidistanti cui si riferisce la generazione

Ø Diametro in mm delle barre della generazione

N°Gen.	N°Barra Ini.	N°Barra Fin.	N°Barre	Ø
1	1	2	3	20
2	3	4	3	14

CALCOLO DI RESISTENZA - SFORZI PER OGNI COMBINAZIONE ASSEGNATA

N	Sforzo normale [kN] applicato nel Baric. (+ se di compressione)
Mx	Momento flettente [kNm] intorno all'asse x princ. d'inerzia
	con verso positivo se tale da comprimere il lembo sup. della sez.
My	Momento flettente [kNm] intorno all'asse y princ. d'inerzia
	con verso positivo se tale da comprimere il lembo destro della sez.
Vy	Componente del Taglio [kN] parallela all'asse princ.d'inerzia y
Vx	Componente del Taglio [kN] parallela all'asse princ.d'inerzia x

N°Comb.		Mx	My	Vy	Vx
1	681.00	521.00	0.00	174.00	0.00
2	216.00	471.00	0.00	559.00	0.00
3	175.00	206.00	0.00	-153.00	0.00
4	135.00	157.00	0.00	-108.00	0.00

COMB. RARE (S.L.E.) - SFORZI PER OGNI COMBINAZIONE ASSEGNATA

N Sforzo normale [kN] applicato nel Baricentro (+ se di compressione)

Mx Momento flettente [kNm] intorno all'asse x princ. d'inerzia (tra parentesi Mom.Fessurazione)

con verso positivo se tale da comprimere il lembo superiore della sezione

My Momento flettente [kNm] intorno all'asse y princ. d'inerzia (tra parentesi Mom.Fessurazione)

con verso positivo se tale da comprimere il lembo destro della sezione

N°Comb.	N	Mx	Му
1	499.00	315.00	0.00
2	135.00	156.00	0.00

COMB. FREQUENTI (S.L.E.) - SFORZI PER OGNI COMBINAZIONE ASSEGNATA

N Sforzo normale [kN] applicato nel Baricentro (+ se di compressione)

Mx Momento flettente [kNm] intorno all'asse x princ. d'inerzia (tra parentesi Mom.Fessurazione)

con verso positivo se tale da comprimere il lembo superiore della sezione

My Momento flettente [kNm] intorno all'asse y princ. d'inerzia (tra parentesi Mom.Fessurazione)

con verso positivo se tale da comprimere il lembo destro della sezione

N°Comb. N Mx My



LINEA SALERNO - PONTECAGNANO AEROPORTO COMPLETAMENTO METROPOLITANA DI SALERNO

TRATTA ARECHI – PONTECAGNANO AEROPORTO

SPALLA A - RELAZIONE DI CALCOLO

LOTTO COMMESSA NN1X 00

0.00(0.00)

CODIFICA D78CL NW 01 00 001

DOCUMENTO REV. Α

FOGLIO 65 di 76

1 455.00 269.00 (6905.44)

COMB. QUASI PERMANENTI (S.L.E.) - SFORZI PER OGNI COMBINAZIONE ASSEGNATA

Sforzo normale [kN] applicato nel Baricentro (+ se di compressione)

Momento flettente [kNm] intorno all'asse x princ. d'inerzia (tra parentesi Mom.Fessurazione) con verso positivo se tale da comprimere il lembo superiore della sezione Mx

Momento flettente [kNm] intorno all'asse y princ. d'inerzia (tra parentesi Mom.Fessurazione) Му

con verso positivo se tale da comprimere il lembo destro della sezione

N°Comb. Ν Mx Му

208.00 (8042.67) 381.00 0.00(0.00)

RISULTATI DEL CALCOLO

Sezione verificata

Copriferro netto minimo barre longitudinali: 5.2 cm Interferro netto minimo barre longitudinali: 18.0 cm

VERIFICHE DI RESISTENZA IN PRESSO-TENSO FLESSIONE ALLO STATO LIMITE ULTIMO

Ver S = combinazione verificata / N = combin. non verificata

Ν Sforzo normale assegnato [kN] nel baricentro B sezione cls.(positivo se di compressione)

Mx Componente del momento assegnato [kNm] riferito all'asse x princ. d'inerzia My Componente del momento assegnato [kNm] riferito all'asse y princ. d'inerzia Sforzo normale resistente [kN] nel baricentro B sezione cls. (positivo se di compress.)

Momento flettente resistente [kNm] riferito all'asse x princ. d'inerzia

Momento flettente resistente [kNm] riferito all'asse y princ. d'inerzia N Res

Mx Res My Res Misura sicurezza = rapporto vettoriale tra (N r,Mx Res,My Res) e (N,Mx,My) Mis.Sic.

Verifica positiva se tale rapporto risulta >=1.000

Area armature trave [cm²] in zona tesa. [Tra parentesi l'area minima ex (4.1.15)NTC] As Tesa

N°Comb	Ver	N	Mx	Му	N Res	Mx Res	My Res	Mis.Sic.	As Tesa
1	S	681.00	521.00	0.00	680.95	2016.13	0.00	3.84	15.7(38.4)
2	S	216.00	471.00	0.00	215.75	1530.10	0.00	3.24	15.7(38.4)
3	S	175.00	206.00	0.00	175.04	1487.25	0.00	7.18	15.7(38.4)
4	S	135.00	157.00	0.00	135.02	1445.02	0.00	9.15	15.7(38.4)

METODO AGLI STATI LIMITE ULTIMI - DEFORMAZIONI UNITARIE ALLO STATO ULTIMO

ec max	Deform. unit. massima del conglomerato a compressione
	• • • • • • • • • • • • • • • • • • • •
x/d	Rapporto di duttilità [§ 4.1.2.1.2.1 NTC] deve essere < 0.45
Xc max	Ascissa in cm della fibra corrisp. a ec max (sistema rif. X,Y,O sez.)
Yc max	Ordinata in cm della fibra corrisp. a ec max (sistema rif. X,Y,O sez.)
es min	Deform. unit. minima nell'acciaio (negativa se di trazione)
Xs min	Ascissa in cm della barra corrisp. a es min (sistema rif. X,Y,O sez.)
Ys min	Ordinata in cm della barra corrisp. a es min (sistema rif. X,Y,O sez.)
es max	Deform. unit. massima nell'acciaio (positiva se di compress.)
Xs max	Ascissa in cm della barra corrisp. a es max (sistema rif. X,Y,O sez.)
Ys max	Ordinata in cm della barra corrispi a es max (sistema rif X Y O sez)

N°Comb	ec max	x/d	Xc max	Yc max	es min	Xs min	Ys min	es max	Xs max	Ys max
1	0.00278	0.040	-50.0	220.0	0.00084	-40.0	214.1	-0.06750	-40.0	6.2
2	0.00211	0.030	-50.0	220.0	0.00018	-40.0	214.1	-0.06750	-40.0	6.2



LINEA SALERNO – PONTECAGNANO AEROPORTO

COMPLETAMENTO METROPOLITANA DI SALERNO TRATTA ARECHI – PONTECAGNANO AEROPORTO

SPALLA A – RELAZIONE DI CALCOLO	COMMESSA	LOTTO	CODIFICA	DOCUMENTO	REV.	FOGLIO
OF ALEXAN REEDILIONE BY ONEODED	NN1X	00	D78CL	NW 01 00 001	Α	66 di 76

3	0.00205	0.029	-50.0	220.0	0.00013	-40.0	214.1	-0.06750	-40.0	6.2
4	0.00199	0.029	-50.0	220.0	0.00007	-40.0	214.1	-0.06750	-40.0	6.2

POSIZIONE ASSE NEUTRO PER OGNI COMB. DI RESISTENZA

a, b, c Coeff. a, b, c nell'eq. dell'asse neutro aX+bY+c=0 nel rif. X,Y,O gen. x/d Rapp. di duttilità (travi e solette)[§ 4.1.2.1.2.1 NTC]: deve essere < 0.45

C.Rid. Coeff. di riduz. momenti per sola flessione in travi continue

N°Comb	а	b	С	x/d	C.Rid.
1	0.000000000	0.000328719	-0.069538057	0.040	0.700
2	0.000000000	0.000325565	-0.069518500	0.030	0.700
3	0.000000000	0.000325299	-0.069516851	0.029	0.700
4	0.000000000	0.000325025	-0.069515154	0.029	0.700

METODO SLU - VERIFICHE A TAGLIO SENZA ARMATURE TRASVERSALI (\$ 4.1.2.1.3.1 NTC)

Ver S = comb.verificata a taglio/ N = comb. non verificata

Ved Taglio agente [daN] uguale al taglio Vy di comb. (sollecit. retta)

Vwct Taglio trazione resistente [kN] in assenza di staffe [formula (4.1.23)NTC]

d Altezza utile sezione [cm]

bw Larghezza minima sezione [cm]

Ro Rapporto geometrico di armatura longitudinale [<0.02] Scp Tensione media di compressione nella sezione [Mpa]

N°Comb	Ver	Ved	Vwct	d	bw	Ro	Scp	
1	S	174.00	638.12	212.4	100.0	0.0007	0.31	6)
2	S	559.00	631.39	212.4	100.0	0.0007	0.10	6)
3	S	153.00	630.80	212.4	100.0	0.0007	0.08	6)
4	S	108.00	630.22	212.4	100.0	0.0007	0.06	6)

COMBINAZIONI RARE IN ESERCIZIO - MASSIME TENSIONI NORMALI ED APERTURA FESSURE (NTC/EC2)

Ver S = comb. verificata/ N = comb. non verificata
Sc max Massima tensione (positiva se di compression

Sc max
Massima tensione (positiva se di compressione) nel conglomerato [Mpa]
Xc max, Yc max
Ascissa, Ordinata [cm] del punto corrisp. a Sc max (sistema rif. X,Y,O)
Sf min
Minima tensione (negativa se di trazione) nell'acciaio [Mpa]
Xs min, Ys min
Ascissa, Ordinata [cm] della barra corrisp. a Sf min (sistema rif. X,Y,O)
Ac eff.
Area di calcestruzzo [cm²] in zona tesa considerata aderente alle barre
Area barre [cm²] in zona tesa considerate efficaci per l'apertura delle fessure

N°Comb	Ver	Sc max	Xc max Y	c max	Sf min	Xs min	Ys min	Ac eff.	As eff.
1	S	0.67	-50.0	220.0	-4.3	20.0	6.2	1550	15.7
2	S	0.43	50.0	220.0	-12.9	20.0	6.2	1550	15.7

COMBINAZIONI RARE IN ESERCIZIO - APERTURA FESSURE [§ 7.3.4 EC2]

La sezione viene assunta sempre fessurata anche nel caso in cui la trazione minima del calcestruzzo sia inferiore a fctm

Ver. Esito della verifica

e1 Massima deformazione unitaria di trazione nel calcestruzzo (trazione -) valutata in sezione fessurata e2 Minima deformazione unitaria di trazione nel calcestruzzo (trazione -) valutata in sezione fessurata

k1 = 0.8 per barre ad aderenza migliorata [eq.(7.11)EC2]

kt = 0.4 per comb. quasi permanenti / = 0.6 per comb.frequenti [cfr. eq.(7.9)EC2] k2 = 0.5 per flessione; =(e1 + e2)/(2*e1) per trazione eccentrica [eq.(7.13)EC2]

k3 = 3.400 Coeff. in eq.(7.11) come da annessi nazionali k4 = 0.425 Coeff. in eq.(7.11) come da annessi nazionali

Ø Diametro [mm] equivalente delle barre tese comprese nell'area efficace Ac eff [eq.(7.11)EC2]



LINEA SALERNO - PONTECAGNANO AEROPORTO

COMPLETAMENTO METROPOLITANA DI SALERNO TRATTA ARECHI – PONTECAGNANO AEROPORTO

SPALLA A - RELAZIONE DI CALCOLO

COMMESSA NN1X LOTTO

CODIFICA

DOCUMENTO

REV. FOGLIO

00 D78CL NW 01 00 001 A 67 di 76

Cf Copriferro [mm] netto calcolato con riferimento alla barra più tesa

e sm - e cm Differenza tra le deformazioni medie di acciaio e calcestruzzo [(7.8)EC2 e (C4.1.7)NTC]

Tra parentesi: valore minimo = 0.6 Smax / Es [(7.9)EC2 e (C4.1.8)NTC]

sr max Massima distanza tra le fessure [mm]

wk Apertura fessure in mm calcolata = sr max*(e_sm - e_cm) [(7.8)EC2 e (C4.1.7)NTC]. Valore limite tra parentesi

Mx fess. Componente momento di prima fessurazione intorno all'asse X [kNm]
My fess. Componente momento di prima fessurazione intorno all'asse Y [kNm]

Comb.	Ver	e1	e2	k2	Ø	Cf	e sm - e cm s	sr max	wk	Mx fess	My fess
1	S	-0.00002	0	0.500	20.0	52	0.00001 (0.00001)	512	0.007 (0.20)	6231.35	0.00
2	S	-0.00007	0	0.500	20.0	52	0.00004 (0.00004)	512	0.020 (0.20)	3768.01	0.00

COMBINAZIONI FREQUENTI IN ESERCIZIO - MASSIME TENSIONI NORMALI ED APERTURA FESSURE (NTC/EC2)

N°Comb Ver Sc max Xc max Yc max Sf min Xs min Ys min Ac eff. As eff.

1 S 0.57 -50.0 220.0 -2.9 20.0 6.2 1550 15.7

COMBINAZIONI FREQUENTI IN ESERCIZIO - APERTURA FESSURE [§ 7.3.4 EC2]

Comb.	Ver	e1	e2	k2	Ø	Cf	e sm - e cm s	r max	wk	Mx fess	My fess
1	S	-0.00002	0	0.500	20.0	52	0.00001 (0.00001)	512	0.004 (0.20)	6905.44	0.00

COMBINAZIONI QUASI PERMANENTI IN ESERCIZIO - MASSIME TENSIONI NORMALI ED APERTURA FESSURE (NTC/EC2)

N°Comb Ver Sc max Xc max Yc max Sf min Xs min Ys min Ac eff. As eff.

1 S 0.44 -50.0 220.0 -1.6 20.0 6.2 1550 15.7

COMBINAZIONI QUASI PERMANENTI IN ESERCIZIO - APERTURA FESSURE [§ 7.3.4 EC2]

Comb.	Ver	e1	e2	k2	Ø	Cf	e sm - e cm si	r max	wk	Mx fess	My fess
1	S	-0.00001	0	0.500	20.0	52	0.00000 (0.00000)	512	0.003 (0.20)	8042.67	0.00



9.4.4 Verifiche paraghiaia

Si riporta di seguito la verifica eseguita per il paraghiaia, armato con $\phi 18/10$ controterra e $\phi 14/20$ lato esterno. CARATTERISTICHE DI RESISTENZA DEI MATERIALI IMPIEGATI

CALCESTRUZZO -	Classe:	C32/40	
	Resis. compr. di progetto fcd:	18.130	MPa
	Def.unit. max resistenza ec2:	0.0020	
	Def.unit. ultima ecu:	0.0035	
	Diagramma tensione-deformaz.:	Parabola-Rettangolo	
	Modulo Elastico Normale Ec:	33345.0	MPa
	Resis. media a trazione fctm:	3.020	MPa
	Coeff. Omogen. S.L.E.:	15.00	IVII CI
	J	15.00	
	Coeff. Omogen. S.L.E.:		daNI/ama2
	Sc limite S.L.E. comb. Frequenti:	192.00	daN/cm²
	Ap.Fessure limite S.L.E. comb. Freque	nti: 0.200	mm
4001410	 -	D.4500	
ACCIAIO -	Tipo:	B450C	
	Resist. caratt. snervam. fyk:	450.00	MPa
	Resist. caratt. rottura ftk:	450.00	MPa
	Resist. snerv. di progetto fyd:	391.30	MPa
	Resist. ultima di progetto ftd:	391.30	MPa
	Deform. ultima di progetto Epu:	0.068	
	Modulo Elastico Ef	2000000	daN/cm²
	Diagramma tensione-deformaz.:	Bilineare finito	
	Coeff. Aderenza istantaneo ß1*ß2:	1.00	
	Coeff. Aderenza differito \$1*\$2:	0.50	
	Sf limite S.L.E. Comb. Rare:	360.00	MPa
	of milite o.L.L. comb. Nate.	300.00	IVII CI

CARATTERISTICHE DOMINIO CONGLOMERATO

Forma del Do Classe Conglo		Poligonale C32/40
N°vertice:	X [cm]	Y [cm]
1 2 3 4	-50.0 -50.0 50.0 50.0	0.0 40.0 40.0 0.0

DATI BARRE ISOLATE

N°Barra	X [cm]	Y [cm]	DiamØ[mm]
1	-45.0	6.1	18
2	45.0	6.1	18
3	-40.0	34.1	14
4	40.0	34.1	14

DATI GENERAZIONI LINEARI DI BARRE

N°Gen.

Numero assegnato alla singola generazione lineare di barre



LINEA SALERNO – PONTECAGNANO AEROPORTO

COMPLETAMENTO METROPOLITANA DI SALERNO TRATTA ARECHI – PONTECAGNANO AEROPORTO

SPALLA A - RELAZIONE DI CALCOLO

 COMMESSA
 LOTTO
 CODIFICA
 DOCUMENTO
 REV.
 FOGLIO

 NN1X
 00
 D78CL
 NW 01 00 001
 A
 69 di 76

N°Barra Ini. Numero della barra iniziale cui si riferisce la generazione N°Barra Fin. Numero della barra finale cui si riferisce la generazione

N°Barre Numero di barre generate equidistanti cui si riferisce la generazione

Ø Diametro in mm delle barre della generazione

N°Gen.	N°Barra Ini.	N°Barra Fin.	N°Barre	Ø
1	1	2	8	18
2	3	4	3	14

CALCOLO DI RESISTENZA - SFORZI PER OGNI COMBINAZIONE ASSEGNATA

N		Sforzo normale [k	N] applicato nel Bar	ic. (+ se di compre	ssione)
Mx			e [kNm] intorno all'as	, ,	,
		con verso positivo	se tale da comprim	ere il lembo sup. de	ella sez.
My		Momento flettente	e [kNm] intorno all'as	se y princ. d'inerzia	l
		con verso positivo	se tale da comprim	ere il lembo destro	della sez.
Vy		Componente del	Taglio [kN] parallela	all'asse princ.d'iner	zia y
Vx		Componente del	Taglio [kN] parallela	all'asse princ.d'iner	zia x
100 a mala	NI.	M	N.A	16.	14

N°Comb.	N	Mx	My	Vy	Vx
1	0.00	207.00	0.00	117.00	0.00
2	0.00	17.00	0.00	79.00	0.00

COMB. RARE (S.L.E.) - SFORZI PER OGNI COMBINAZIONE ASSEGNATA

N Sforzo normale [kN] applicato nel Baricentro (+ se di compressione)

Mx Momento flettente [kNm] intorno all'asse x princ. d'inerzia (tra parentesi Mom.Fessurazione)

con verso positivo se tale da comprimere il lembo superiore della sezione

My Momento flettente [kNm] intorno all'asse y princ. d'inerzia (tra parentesi Mom.Fessurazione)

con verso positivo se tale da comprimere il lembo destro della sezione

N°Comb. N Mx My 1 0.00 153.00 0.00

COMB. FREQUENTI (S.L.E.) - SFORZI PER OGNI COMBINAZIONE ASSEGNATA

N Sforzo normale [kN] applicato nel Baricentro (+ se di compressione)

Mx Momento flettente [kNm] intorno all'asse x princ. d'inerzia (tra parentesi Mom.Fessurazione)

con verso positivo se tale da comprimere il lembo superiore della sezione

Momento flettente [kNm] intorno all'asse y princ. d'inerzia (tra parentesi Mom.Fessurazione)

con verso positivo se tale da comprimere il lembo destro della sezione

N°Comb. N Mx My 1 0.00 14.00 (98.72) 0.00 (0.00)

RISULTATI DEL CALCOLO

Му

Sezione verificata per tutte le combinazioni assegnate

Copriferro netto minimo barre longitudinali: 4.1 cm Interferro netto minimo barre longitudinali: 8.2 cm



LINEA SALERNO – PONTECAGNANO AEROPORTO COMPLETAMENTO METROPOLITANA DI SALERNO

TRATTA ARECHI – PONTECAGNANO AEROPORTO

SPALLA A - RELAZIONE DI CALCOLO

COMMESSA LOTTO (

CODIFICA DOCUMENTO
D78CL NW 01 00 001

REV. FOGLIO A 70 di 76

VERIFICHE DI RESISTENZA IN PRESSO-TENSO FLESSIONE ALLO STATO LIMITE SOSTANZIALMENTE ELASTICO

Ver S = combinazione verificata / N = combin. non verificata

N Sforzo normale assegnato [kN] nel baricentro B sezione cls.(positivo se di compressione)

Mx Componente del momento assegnato [kNm] riferito all'asse x princ. d'inerzia
My Componente del momento assegnato [kNm] riferito all'asse y princ. d'inerzia
N Res Sforzo normale resistente [kN] nel baricentro B sezione cls.(positivo se di compress.)

Mx Res Momento flettente resistente [kNm] riferito all'asse x princ. d'inerzia
My Res Momento flettente resistente [kNm] riferito all'asse y princ. d'inerzia
Mis.Sic. Misura sicurezza = rapporto vettoriale tra (N r,Mx Res,My Res) e (N,Mx,My)

Verifica positiva se tale rapporto risulta >=1.000

As Tesa Area armature trave [cm²] in zona tesa. [Tra parentesi l'area minima ex (4.1.15)NTC]

N°Comb	Ver	N	Mx	Му	N Res	Mx Res	My Res	Mis.Sic.	As Tesa
1	S	0.00	207.00	0.00	0.00	295.03	0.00	1.43	25.4(5.8)
2	S	0.00	17.00	0.00	0.00	295.03	0.00	17.35	25.4(5.8)

METODO AGLI STATI LIMITE IN CAMPO SOSTANZIALMENTE ELASTICO - DEFORMAZIONI UNITARIE ALLO STATO LIMITE

ec max	Deform. unit. massima del conglomerato a compressione
x/d	Rapporto di duttilità [§ 4.1.2.1.2.1 NTC] deve essere < 0.45
Xc max	Ascissa in cm della fibra corrisp. a ec max (sistema rif. X,Y,O sez.)
Yc max	Ordinata in cm della fibra corrisp. a ec max (sistema rif. X,Y,O sez.)
es min	Deform. unit. minima nell'acciaio (negativa se di trazione)
Xs min	Ascissa in cm della barra corrisp. a es min (sistema rif. X,Y,O sez.)
Ys min	Ordinata in cm della barra corrisp. a es min (sistema rif. X,Y,O sez.)
es max	Deform. unit. massima nell'acciaio (positiva se di compress.)
Xs max	Ascissa in cm della barra corrisp. a es max (sistema rif. X,Y,O sez.)
Ys max	Ordinata in cm della barra corrisp. a es max (sistema rif. X,Y,O sez.)

N°Comb	ec max	x/d	Xc max	Yc max	es min	Xs min	Ys min	es max	Xs max	Ys max
1	0.00104	0.347	-50.0	40.0	0.00052	-40.0	34.1	-0.00196	-45.0	6.1
2	0.00104	0.347	-50.0	40.0	0.00052	-40.0	34.1	-0.00196	-45.0	6.1

POSIZIONE ASSE NEUTRO PER OGNI COMB. DI RESISTENZA

a, b, c Coeff. a, b, c nell'eq. dell'asse neutro aX+bY+c=0 nel rif. X,Y,O gen. x/d Rapp. di duttilità (travi e solette)[§ 4.1.2.1.2.1 NTC]: deve essere < 0.45

C.Rid. Coeff. di riduz. momenti per sola flessione in travi continue

N°Comb	а	b	С	x/d	C.Rid.
1	0.000000000	0.000088374	-0.002495580	0.347	0.874
2	0.000000000	0.000088374	-0.002495580	0.347	0.874

METODO SLU - VERIFICHE A TAGLIO SENZA ARMATURE TRASVERSALI (\$ 4.1.2.1.3.1 NTC)

Ver S = comb.verificata a taglio/ N = comb. non verificata
Ved Taglio agente [daN] uguale al taglio Vy di comb. (sollecit. retta)

Vwct Taglio trazione resistente [kN] in assenza di staffe [formula (4.1.23)NTC]

d Altezza utile sezione [cm] bw Larghezza minima sezione [cm]

Ro Rapporto geometrico di armatura longitudinale [<0.02] Scp Tensione media di compressione nella sezione [Mpa]

N°Comb Ver Ved Vwct d bw Ro Scp 1 S 117.00 205.01 33.0 100.0 0.0077 0.00



LINEA SALERNO – PONTECAGNANO AEROPORTO COMPLETAMENTO METROPOLITANA DI SALERNO

TRATTA ARECHI – PONTECAGNANO AEROPORTO

SPALLA A - RELAZIONE DI CALCOLO

COMMESSA NN1X LOTTO

00

CODIFICA D78CL DOCUMENTO NW 01 00 001 REV. FOGLIO

Α

71 di 76

79.00

2

S

0.00

33.0

Ver S = comb. verificata/ N = comb. non verificata

205.01

Sc max

Massima tensione (positiva se di compressione) nel conglomerato [Mpa]

Xc max, Yc max

Ascissa, Ordinata [cm] del punto corrisp. a Sc max (sistema rif. X,Y,O)

Sf min

Minima tensione (negativa se di trazione) nell'acciaio [Mpa]

100.0 0.0077

COMBINAZIONI RARE IN ESERCIZIO - MASSIME TENSIONI NORMALI ED APERTURA FESSURE (NTC/EC2)

Xs min, Ys min
Ascissa, Ordinata [cm] della barra corrisp. a Sf min (sistema rif. X,Y,O)
Ac eff.
As eff.
Area di calcestruzzo [cm²] in zona tesa considerata aderente alle barre
Area barre [cm²] in zona tesa considerate efficaci per l'apertura delle fessure

N°Comb Ver Sc max Xc max Yc max Sf min Xs min Ys min Ac eff. As eff.

1 S 7.66 -50.0 40.0 -202.8 35.0 6.1 900 25.4

COMBINAZIONI RARE IN ESERCIZIO - APERTURA FESSURE [§ 7.3.4 EC2]

La sezione viene assunta sempre fessurata anche nel caso in cui la trazione minima del calcestruzzo sia inferiore a fctm

Ver. Esito della verifica

e1 Massima deformazione unitaria di trazione nel calcestruzzo (trazione -) valutata in sezione fessurata e2 Minima deformazione unitaria di trazione nel calcestruzzo (trazione -) valutata in sezione fessurata

k1 = 0.8 per barre ad aderenza migliorata [eq.(7.11)EC2]

kt = 0.4 per comb. quasi permanenti / = 0.6 per comb.frequenti [cfr. eq.(7.9)EC2] k2 = 0.5 per flessione; =(e1 + e2)/(2*e1) per trazione eccentrica [eq.(7.13)EC2]

k3 = 3.400 Coeff. in eq.(7.11) come da annessi nazionali k4 = 0.425 Coeff. in eq.(7.11) come da annessi nazionali

Ø Diametro [mm] equivalente delle barre tese comprese nell'area efficace Ac eff [eq.(7.11)EC2]

Cf Copriferro [mm] netto calcolato con riferimento alla barra più tesa

e sm - e cm Differenza tra le deformazioni medie di acciaio e calcestruzzo [(7.8)EC2 e (C4.1.7)NTC]

Tra parentesi: valore minimo = 0.6 Smax / Es [(7.9)EC2 e (C4.1.8)NTC]

sr max Massima distanza tra le fessure [mm]

wk Apertura fessure in mm calcolata = sr max*(e_sm - e_cm) [(7.8)EC2 e (C4.1.7)NTC]. Valore limite tra parentesi

Mx fess. Componente momento di prima fessurazione intorno all'asse X [kNm]
My fess. Componente momento di prima fessurazione intorno all'asse Y [kNm]

Comb. Ver e1 e2 k2 Ø Cf e sm - e cm sr max Mx fess My fess S -0.00130 0.500 18.0 0.00064 (0.00061) 0.00 1 52 285 0.182 (0.20) 98.72

COMBINAZIONI FREQUENTI IN ESERCIZIO - MASSIME TENSIONI NORMALI ED APERTURA FESSURE (NTC/EC2)

N°Comb Ver Sf min Xs min Ys min Sc max Xc max Yc max Ac eff. As eff. 1 S 0.70 50.0 40.0 -18.6 35.0 6.1 900 25.4

COMBINAZIONI FREQUENTI IN ESERCIZIO - APERTURA FESSURE [§ 7.3.4 EC2]

Comb.	Ver	e1	e2	k2	Ø	Cf	e sm - e cm sr	max	wk	Mx fess	My fess
1	S	-0.00012	0	0.500	18.0	52	0.00006 (0.00006)	285	0.016 (0.20)	98.72	0.00



9.4.5 Verifiche muro di risvolto

Si riporta di seguito la verifica eseguita per il muro di risvolto, armato con una maglia $\phi 16/20$ controterra e $\phi 16/20$ lato esterno.

CARATTERISTICHE DI RESISTENZA DEI MATERIALI IMPIEGATI

CALCESTRUZZO -	Classe: Resis. compr. di progetto fcd: Def.unit. max resistenza ec2: Def.unit. ultima ecu: Diagramma tensione-deformaz.:	C32/40 18.130 0.0020 0.0035 Parabola-Rettangolo	MPa
	Modulo Elastico Normale Ec:	33345.0	MPa
	Resis. media a trazione fctm:	3.020	MPa
	Coeff. Omogen. S.L.E.:	15.00	
	Coeff. Omogen. S.L.E.:	15.00	
ACCIAIO -	Tipo:	B450C	
	Resist. caratt. snervam. fyk:	450.00	MPa
	Resist. caratt. rottura ftk:	450.00	MPa
	Resist. snerv. di progetto fyd:	391.30	MPa
	Resist. ultima di progetto ftd:	391.30	MPa
	Deform. ultima di progetto Epu:	0.068	
	Modulo Elastico Ef	2000000	daN/cm²
	Diagramma tensione-deformaz.:	Bilineare finito	
	Coeff. Aderenza istantaneo ß1*ß2:	1.00	
	Coeff. Aderenza differito ß1*ß2:	0.50	MD
	Sf limite S.L.E. Comb. Rare:	360.00	MPa

CARATTERISTICHE DOMINIO CONGLOMERATO

Forma del Do Classe Conglo	Poligonale C32/40	
N°vertice:	X [cm]	Y [cm]
1	-50.0	0.0
2	-50.0	120.0
3	50.0	120.0
4	50.0	0.0

DATI BARRE ISOLATE

N°Barra	X [cm]	Y [cm]	DiamØ[mm]
1	-40.0	6.0	16
2	40.0	6.0	16
3	-40.0	114.0	16
4	40.0	114.0	16

DATI GENERAZIONI LINEARI DI BARRE

N°Gen.Numero assegnato alla singola generazione lineare di barreN°Barra Ini.Numero della barra iniziale cui si riferisce la generazioneN°Barra Fin.Numero della barra finale cui si riferisce la generazione

N°Barre Numero di barre generate equidistanti cui si riferisce la generazione



LINEA SALERNO - PONTECAGNANO AEROPORTO

COMPLETAMENTO METROPOLITANA DI SALERNO TRATTA ARECHI – PONTECAGNANO AEROPORTO

SPALLA A - RELAZIONE DI CALCOLO

LOTTO COMMESSA CODIFICA DOCUMENTO REV. **FOGLIO** NN1X 00 D78CL NW 01 00 001 Α 73 di 76

Ø		Diametro in mm delle barre della generazione					
N°Gen.	N°Barra Ini.	N°Barra Fin.	N°Barre	Ø			
1	1	2	3	16			
2	3	4	3	16			

CALCOLO DI RESISTENZA - SFORZI PER OGNI COMBINAZIONE ASSEGNATA

N Mx My Vy Vx		Momento flettent con verso positiv Momento flettent con verso positiv Componente del	e [kNm] intorno al o se tale da comp e [kNm] intorno al o se tale da comp Taglio [kN] parall	Baric. (+ se di compre l'asse x princ. d'inerzi, rimere il lembo sup. d l'asse y princ. d'inerzi, rimere il lembo destro ela all'asse princ.d'ine ela all'asse princ.d'ine	a lella sez. a o della sez. ırzia y
N°Comb.	N	Mx	Му	Vy	Vx
1	0.00	110.00	0.00	-169.00	0.00
2	0.00	84.00	0.00	-127.00	0.00
3	175.00	206.00	0.00	-153.00	0.00
4	135.00	157.00	0.00	-108.00	0.00

COMB. RARE (S.L.E.) - SFORZI PER OGNI COMBINAZIONE ASSEGNATA

Sforzo normale [kN] applicato nel Baricentro (+ se di compressione) Momento flettente [kNm] intorno all'asse x princ. d'inerzia (tra parentesi Mom.Fessurazione) Mx

con verso positivo se tale da comprimere il lembo superiore della sezione

Momento flettente [kNm] intorno all'asse y princ. d'inerzia (tra parentesi Mom.Fessurazione) Му

con verso positivo se tale da comprimere il lembo destro della sezione

N°Comb.	N	Mx	Му
1	0.00	83.00	0.00
2	135.00	156.00	0.00

RISULTATI DEL CALCOLO

Sezione verificata

Copriferro netto minimo barre longitudinali: 5.2 cm Interferro netto minimo barre longitudinali: 18.4

VERIFICHE DI RESISTENZA IN PRESSO-TENSO FLESSIONE ALLO STATO LIMITE SOSTANZIALMENTE ELASTICO

Ver S = combinazione verificata / N = combin. non verificata

Sforzo normale assegnato [kN] nel baricentro B sezione cls.(positivo se di compressione) Ν

Componente del momento assegnato [kNm] riferito all'asse x princ. d'inerzia Mx Componente del momento assegnato [kNm] riferito all'asse y princ. d'inerzia Му N Res Sforzo normale resistente [kN] nel baricentro B sezione cls.(positivo se di compress.)

Mx Res Momento flettente resistente [kNm] riferito all'asse x princ. d'inerzia Momento flettente resistente [kNm] riferito all'asse y princ. d'inerzia Misura sicurezza = rapporto vettoriale tra (N r,Mx Res,My Res) e (N,Mx,My) My Res Mis.Sic.

Verifica positiva se tale rapporto risulta >=1.000

As Tesa Area armature trave [cm²] in zona tesa. [Tra parentesi l'area minima ex (4.1.15)NTC]



LINEA SALERNO - PONTECAGNANO AEROPORTO

COMPLETAMENTO METROPOLITANA DI SALERNO TRATTA ARECHI – PONTECAGNANO AEROPORTO

SPALLA A - RELAZIONE DI CALCOLO

COMMESSA	LOTTO	CODIFICA	DOCUMENTO	REV.	FOGLIO
NN1X	00	D78CL	NW 01 00 001	Α	74 di 76

N°Comb	Ver	N	Mx	Му	N Res	Mx Res	My Res	Mis.Sic.	As Tesa
1	S	0.00	110.00	0.00	0.00	428.65	0.00	3.90	10.1(19.7)
2	S	0.00	84.00	0.00	0.00	428.65	0.00	5.10	10.1(19.7)
3	S	175.00	206.00	0.00	175.02	519.95	0.00	2.52	10.1(20.9)
4	S	135.00	157.00	0.00	135.04	499.33	0.00	3.18	10.1(20.9)

METODO AGLI STATI LIMITE IN CAMPO SOSTANZIALMENTE ELASTICO - DEFORMAZIONI UNITARIE ALLO STATO LIMITE

ec max	Deform. unit. massima del conglomerato a compressione
x/d	Rapporto di duttilità [§ 4.1.2.1.2.1 NTC] deve essere < 0.45
Xc max	Ascissa in cm della fibra corrisp. a ec max (sistema rif. X,Y,O sez.)
Yc max	Ordinata in cm della fibra corrisp. a ec max (sistema rif. X,Y,O sez.)
es min	Deform. unit. minima nell'acciaio (negativa se di trazione)
Xs min	Ascissa in cm della barra corrisp. a es min (sistema rif. X,Y,O sez.)
Ys min	Ordinata in cm della barra corrisp. a es min (sistema rif. X,Y,O sez.)
es max	Deform. unit. massima nell'acciaio (positiva se di compress.)
Xs max	Ascissa in cm della barra corrisp. a es max (sistema rif. X,Y,O sez.)
Ys max	Ordinata in cm della barra corrisp. a es max (sistema rif. X,Y,O sez.)

N°Comb	ec max	x/d	Xc max	Yc max	es min	Xs min	Ys min	es max	Xs max	Ys max
		0.400		400.0	0.0004=	40.0	444.0		40.0	
1	0.00029	0.128	-50.0	120.0	0.00017	-40.0	114.0	-0.00196	-40.0	6.0
2	0.00029	0.128	-50.0	120.0	0.00017	-40.0	114.0	-0.00196	-40.0	6.0
3	0.00035	0.152	-50.0	120.0	0.00023	-40.0	114.0	-0.00196	-40.0	6.0
4	0.00034	0.147	-50.0	120.0	0.00022	-40.0	114.0	-0.00196	-40.0	6.0

POSIZIONE ASSE NEUTRO PER OGNI COMB. DI RESISTENZA

Coeff. a, b, c nell'eq. dell'asse neutro aX+bY+c=0 nel rif. X,Y,O gen. Rapp. di duttilità (travi e solette)[§ 4.1.2.1.2.1 NTC]: deve essere < 0.45 a, b, c x/d

C.Rid. Coeff. di riduz. momenti per sola flessione in travi continue

N°Comb	a	b	С	x/d	C.Rid.
1	0.000000000	0.000019673	-0.002074536	0.128	0.700
2	0.000000000	0.000019673	-0.002074536	0.128	0.700
3	0.000000000	0.000020250	-0.002077999	0.152	0.700
4	0.000000000	0.000020125	-0.002077249	0.147	0.700

METODO SLU - VERIFICHE A TAGLIO SENZA ARMATURE TRASVERSALI (\$ 4.1.2.1.3.1 NTC)

S = comb.verificata a taglio/ N = comb. non verificata

Ved Taglio agente [daN] uguale al taglio Vy di comb. (sollecit. retta) Taglio trazione resistente [kN] in assenza di staffe [formula (4.1.23)NTC]

Vwct d Altezza utile sezione [cm]

bw Larghezza minima sezione [cm]

Ver

Rapporto geometrico di armatura longitudinale [<0.02] Ro Tensione media di compressione nella sezione [Mpa] Scp

N°Comb	Ver	Ved	Vwct	d	bw	Ro	Scp	
1	S	169.00	378.86	113.0	100.0	0.0009	0.00	6)
2	S	127.00	378.86	113.0	100.0	0.0009	0.00	6)
3	S	153.00	381.33	113.0	100.0	0.0009	0.15	6)
4	S	108.00	380.76	113.0	100.0	0.0009	0.11	6)

COMBINAZIONI RARE IN ESERCIZIO - MASSIME TENSIONI NORMALI ED APERTURA FESSURE (NTC/EC2)



LINEA SALERNO - PONTECAGNANO AEROPORTO COMPLETAMENTO METROPOLITANA DI SALERNO

TRATTA ARECHI – PONTECAGNANO AEROPORTO

SPALLA A - RELAZIONE DI CALCOLO

LOTTO COMMESSA CODIFICA NN1X 00 D78CL

DOCUMENTO NW 01 00 001

REV. FOGLIO 75 di 76

Α

Sc max Massima tensione (positiva se di compressione) nel conglomerato [Mpa] Xc max, Yc max Ascissa, Ordinata [cm] del punto corrisp. a Sc max (sistema rif. X,Y,O) Minima tensione (negativa se di trazione) nell'acciaio [Mpa] Sf min

Xs min, Ys min Ascissa, Ordinata [cm] della barra corrisp. a Sf min (sistema rif. X,Y,O) Ac eff. Area di calcestruzzo [cm²] in zona tesa considerata aderente alle barre Area barre [cm²] in zona tesa considerate efficaci per l'apertura delle fessure As eff.

N°Comb	Ver	Sc max	Xc max `	Yc max	Sf min	Xs min	Ys min	Ac eff.	As eff.
1	S	0.84	-50.0	120.0	-76.1	20.0	6.0	1443	10.1
2	S	1.56	-50.0	120.0	-81.1	20.0	6.0	1443	10.1

COMBINAZIONI RARE IN ESERCIZIO - APERTURA FESSURE [§ 7.3.4 EC2]

La sezione viene assunta sempre fessurata anche nel caso in cui la trazione minima del calcestruzzo sia inferiore a fctm

Ver. Esito della verifica

e1 Massima deformazione unitaria di trazione nel calcestruzzo (trazione -) valutata in sezione fessurata

e2 Minima deformazione unitaria di trazione nel calcestruzzo (trazione -) valutata in sezione fessurata

= 0.8 per barre ad aderenza migliorata [eq.(7.11)EC2] k1

kt = 0.4 per comb. quasi permanenti / = 0.6 per comb.frequenti [cfr. eq.(7.9)EC2] = 0.5 per flessione; =(e1 + e2)/(2*e1) per trazione eccentrica [eq.(7.13)EC2] k2

= 3.400 Coeff. in eq.(7.11) come da annessi nazionali k3

= 0.425 Coeff. in eq.(7.11) come da annessi nazionali k4

Ø Diametro [mm] equivalenté delle barre tese comprese nell'area efficace Ac eff [eq.(7.11)EC2]

Copriferro [mm] netto calcolato con riferimento alla barra più tesa Cf

Differenza tra le deformazioni medie di acciaio e calcestruzzo [(7.8)EC2 e (C4.1.7)NTC] e sm - e cm

Tra parentesi: valore minimo = 0.6 Smax / Es [(7.9)EC2 e (C4.1.8)NTC]

sr max Massima distanza tra le fessure [mm]

Apertura fessure in mm calcolata = sr max*(e_sm - e_cm) [(7.8)EC2 e (C4.1.7)NTC]. Valore limite tra parentesi wk

Componente momento di prima fessurazione intorno all'asse X [kNm] Mx fess. My fess. Componente momento di prima fessurazione intorno all'asse Y [kNm]

Comb.	Ver	e1	e2	k2	Ø	Cf	e sm - e cm s	er max	wk	Mx fess	My fess
1	S	-0.00040	0	0.500	16.0	52	0.00023 (0.00023)	567	0.129 (0.20)	769.07	0.00
2	S	-0.00043	0	0.500	16.0	52	0.00024 (0.00024)	567	0.138 (0.20)	936.91	0.00



10 INCIDENZE

Sulla base del dimensionamento delle sezioni maggiormente sollecitate di cui ai capitoli precedenti, si riporta il prospetto sintetico relativo al quantitativo di armatura adottata per i singoli elementi strutturali.

Elemento Strutturale		ne sezione n]	Incidenza di progetto [kg/mc]
-	Н	В	
Pali	0.00	1.20	190
Fondazione Spalle	2.00	1.00	100
Elevazione Spalle	var	1.00	100